

528

B-42

НАУКОВО-ДОСЛІДНИЙ ВІДДІЛ ЗЕМЛЕВПОРЯДЖЕННЯ УНДІГІМ

8

М. Г. ВІДУЄВ

# ПРИВ'ЯЗУВАННЯ ТЕОДОЛІТНИХ ХОДІВ ДО ТРИАНГУЛЯЦІЙНОЇ СІТКИ

БІБЛІОТЕКА  
№ 296 277



3087

М. Г. ВІДУЄВ

У  
528  
В-42

# ПРИВ'ЯЗУВАННЯ ТЕОДОЛІТНИХ ХОДІВ ДО ТРИАНГУЛЯЦІЙНОЇ СІТКИ

ПРАКТИЧНИЙ ПОСІБНИК ДЛЯ ЗЕМЛЕВПОРЯДНИКІВ

✓

проверено  
1966 г.

1959  
Державне видавництво  
коопспіно і радгоспної  
літератури УРСР

✓



Друкується на замовлення Управління землевпорядження НКЗС УРСР

Редактор *В. Ф. Глазков*  
Техніч. редактор *Г. Г. Аксьонов*  
Коректор *М. М. Матійко*

## Від науково-дослідного відділу землевпорядження УНДІГІМ

Цей посібник випускається науково-дослідним відділом землевпорядження щоб дати інженерам і технікам землевпорядникам практичні вказівки по прив'язуванню теодолітних ходів до триангуляційної сітки і рівняльних обчисленнях при теодолітних роботах. Він буде конче потрібний при проведенні робіт по внутріколгоспному землевпорядженню. Досвід проведених землевпорядних робіт по закріпленню земель за колгоспами на вічне користування свідчить, що найвужчим місцем в техніці землевпорядження, що значно знижує продуктивність праці, було невміння використати триангуляційну сітку при знімальних роботах.

Вивчення землі, як засобу виробництва, правильна організація території колгоспів, завдання раціонального використання складних сільськогосподарських машин, уже висувають питання сільськогосподарської картографії, докладних великомасштабних знімальних робіт на значних площах, вивчення гіпсометрії і т. д. Розв'язання ж цих питань можливе тільки при поставленні землевпорядних знімальних робіт на триангуляційній сітці. Виконувані на значній площі теодолітні ходи по межах земель колгоспів при землевпорядних роботах по закріпленню земель за колгоспами в безстрокове (вічне) користування, будши прив'язаними до триангуляційної сітки і обчисленими на основі координат триангуляційної сітки, дадуть потрібну геодезичну основу при наступних роботах по середколгоспному землевпорядженню і розв'язанню інших завдань (шляхове будівництво, меліорація, лісовпорядкування і т. д.).

Цей посібник має 4 розділи.

Перший розділ висвітлює підготовчі роботи по прив'язуванню теодолітних ходів до триангуляційної сітки (вивчення триангуляційної сітки, відшукування триангуляційних пунктів на місцевості і складання проекту теодолітних ходів).

Другий розділ викладає техніку безпосереднього прив'язування (спосіб безпосередніх вимірів, „знесення координат“, визначення справжнього азимута).

Третій розділ містить різні випадки посереднього прив'язування, що межують з згущенням триангуляційної сітки пунктами

IV і V класів (пряма, обернена і комбінована засічка, вставлення точок і задача Ганзена), при чому по кожному випадку прив'язування даються різні способи розв'язування.

Четвертий розділ висвітлює можливі випадки рівняльних обчислень теодолітних ходів, різних по своїй будові (розімкнуті ходи, системи ходів, що утворюють полігони і вузлові точки). В цьому розділі також встановлюється зв'язок між методом рівняльних обчислень і проектуванням теодолітних ходів.

Значна кількість питань, охоплених цим посібником, не претендує на вичерпний виклад поставленого завдання і лише широке коло діяльності для раціоналізації як прийомів рівняльних обчислень, так і способів прив'язування до триангуляційної сітки теодолітних ходів.

При складанні посібника використано порівняно багато літературних джерел (зокрема III і IV розділи).

Покликання на відповідних авторів як по тексту, так і в кінці книжки зроблено для забезпечення відшукування матеріалу, що трактує питання з теоретичного боку, або глибше з практичного боку.

Всі зауваження по цьому посібнику надсилати на адресу: Київ, Воровського 5, НКЗС УРСР, Науково-дослідний відділ землевпорядження.

## РОЗДІЛ I

### ПІДГОТІВНІ РОБОТИ ПО ПРИВ'ЯЗУВАННЮ ДО ТРИАНГУЛЯЦІЙНОЇ СІТКИ

Тригонометрична сітка служить основою при проведенні різних видів знімальних робіт. Так при зніманні меж земель колгоспів методом теодолітного знімання, всі теодолітні ходи, при наявності триангуляційної сітки достатньої густоти, починаються і кінчаються коло пунктів тригонометричної сітки, або як кажуть: „Теодолітні ходи по межах земель колгоспів прив'язуються до тригонометричної сітки“. Прив'язати точку теодолітного ходу до тригонометричної сітки не значить знайти її координати відносно координат тригонометричної сітки. Координати пунктів тригонометричної сітки, до яких прив'язуються теодолітні ходи, не підлягають змінам, координати ж всіх проміжних точок теодолітних ходів між даними триангуляційними пунктами обчислюються залежно від координат останніх.

Значення прив'язування теодолітних ходів по межах земель колгоспів до триангуляційної сітки таке:

1. Дати можливість використати теодолітні ходи для наступних знімальних і для картографії.

2. Забезпечити зведення до єдиної системи координат і простоту зрівняння всіх теодолітних ходів, що прокладаються на значних площах.

Остання обставина при проведенні землевпорядних робіт набуває дуже важливого значення, бо система теодолітних ходів прокладена по межах землекористувань колгоспів і радгоспів є водночас геодезичним обґрунтуванням знімальних робіт і геодезичним обґрунтуванням аналітичного методу в землевпорядному проектуванні (при ліквідації недоліків колгоспного землекористування і при проведенні середколгоспного землевпорядкування). Крім того прив'язування теодолітних ходів, прокладених по межах земель колгоспів до густої тригонометричної сітки, дає можливість в наступному легше відновити загублені межові знаки.

Підготовні роботи по прив'язуванню теодолітних ходів до триангуляційної сітки полягають:

1. У вивченні триангуляційної сітки, розміщеної на території, яка покривається теодолітними ходами.

2. В приведенні координат триангуляційної сітки в одну систему, переобчисленні географічних координат у систему координат Гауса-Крюгера, в переході з зони в зону і ін.

3. У відшуканні в природі триангуляційних пунктів.

4. В складанні проекту прив'язування теодолітних ходів до триангуляційної сітки.

## Вивчення триангуляційної сітки

Вивчення триангуляційної сітки, потрібне перед проведенням прив'язувальних робіт, ставить своїм завданням:

1. Визначити обсяг виконаних триангуляційних робіт на даній території (клас, густота і рік виконання робіт) і встановити обсяг потрібних додаткових триангуляційних робіт, що забезпечують можливість прив'язування до триангуляційної сітки теодолітних ходів.

2. Встановити якість триангуляційних робіт, аналізуючи похибки положення пунктів детальної (згущеної) триангуляційної сітки III, IV і V класів.

Щоб докладно відповісти на поставлене вище перше питання треба твердо знати теперішню і ту, що існувала раніше класифікацію триангуляційних сіток. Утворення системи опорних геодезичних пунктів методом триангуляції починається з прокладання державної триангуляції I і II класів і на її основі докладних (відомчих) сіток III, IV і V класів.

Триангуляція I класу СРСР будується у вигляді рядів трикутників, розміщуваних по меридіанах і паралелях на віддалі 250—300 км. З цих рядів трикутників утворюються полігони. Так, на території УРСР розміщені 4, 5, 8 і 9 полігони триангуляції I класу. Триангуляція I класу є дуже точною геодезичною роботою, вимірювання основ робиться з похибкою  $\pm 1:1\,000\,000$ , а вимірювання кутів з похибкою  $\pm 0,6''$ . Сторони трикутників I класу коливаються в межах 25—30 км у рівних місцевостях; в гірських місцевостях досягають до 80—100 км.

В межах полігонів I класу розвивається триангуляція II класу, яка в свою чергу поділяється на: основні ряди другого класу, основні сітки другого класу і заповнюючу сітку II класу. Основні ряди II класу прокладаються у вигляді рядів трикутників з сторонами 20—25 км і ці ряди перетинають першокласні полігони на 4—6 частин. Середня похибка вимірюваного кута в основному ряду II класу  $\pm 1,0''$ . Утворені полігони з рядів I класу і основних рядів II класу знову розбиваються на 4 частини основними сітками II класу з сторонами трикутників 15—25 км при середній похибці вимірювання кутів  $\pm 1,5''$ . Вільні, лишені незаповненими, частини полігона покриваються суцільною сіткою II класу, — трикутниками з довжинами сторін 8—15 км і середньою похибкою вимірювання кута  $\pm 2,5''$ .



Стор.	Рядок	Надруковано	Треба читати	З чиеї вини
7	9 зверху	$\pm 25$	$\pm 2,5$	Друкарні

Державні триангуляційні сітки не можуть бути безпосередньою основою для знімальних робіт, а служать основою для наступного розвитку відомчої (детальної) триангуляції. Так, на підставі заповнюючої сітки II класу розвивається заповнююча сітка III класу<sup>1</sup> з сторонами 5—10 км і середньою похибкою вимірювання кутів  $\pm 5''$ <sup>2</sup>.

В тих випадках, коли заповнююча сітка II класу відсутня, прокладаються основні ряди III класу з сторонами 8—15 км і з середньою похибкою вимірювання кутів  $\pm 25''$ , і на основі їх будується заповнююча сітка III класу. Далше згущення сітки (IV клас) робиться прямими і оберненими засічками з точністю виміру кутів аналогічно точності прийнятій в заповнюючій сітці III класу. Для поставлення знімальних робіт масштабу 1:10 000 триангуляційна сітка III класу згущується V класом (сторони трикутників 1—3 км і середня похибка вимірювання кутів  $8''$ — $12''$ ), яка у свою чергу може бути згущувана додатковими пунктами (прямою засічкою) або побудованою на V класі мікротриангуляцією з сторонами трикутників до 0,5 км.

Розвиток заповнюючих сіток III класу, пунктів IV класу і сіток V класу обумовлюється потрібною кількістю триангуляційних пунктів на знімальну трапецію, яка залежить від масштабу знімання і методу знімання. Так, при контурно-комбінованому аерофотозніманні необхідна кількість пунктів на знімальну трапецію менша, ніж при методі наземного знімання (мензульного або тахеометричного).

До останнього 10-річчя наші триангуляції поділялися тільки на III класи: перший клас—з сторонами від 20 до 50 і більше кілометрів, другий клас—з сторонами від 12 до 20 км і третій клас з сторонами від 5 до 10 км. При чому пункти III класу визначалися засічками і являли собою здебільшого місцеві предмети (труби заводів, церкви і т. д.).

Основним масштабом проведення знімальних робіт при землевпорядженні на території УРСР є масштаб 1:10 000<sup>3</sup> і значить потрібне геодезичне обґрунтування при наземному зніманні здійснюється згущенням сітки до IV або V класів. Проте можливі випадки обґрунтування системи теодолітних ходів на триангуляційній заповнюючій сітці II класу з додатковими пунктами III класу.

Крім описаного вище тригонометричного геодезичного обґрунтування може мати місце і точна полігонометрія, як опорна

<sup>1</sup> Проектом інструкції по триангуляції III класу (1935 р.) встановлюється, що при зніманнях масштабу 1:50 000 нема потреби в поставленні спеціальної триангуляції III класу, а згущення заповнюючої сітки II класу проектується роботи додатковими пунктами III класу, що визначаються засічками з пунктів II класу.

<sup>2</sup> Проектом інструкції по триангуляції III класу передбачається середньо-квадратична похибка вимірювання кутів в заповнюючій сітці III класу  $\pm 4''$ , а на пунктах IV класу  $\pm 6''$ .

<sup>3</sup> „Стандартные масштабы топографических съемок“, Государственный междуведомственный геодезический совет при НКТП, 17 июля 1934 г.

державна сітка і як детальне (відомче) геодезичне обґрунтування. Точна полігонометрія прокладається, звичайно, по дорогах (особливо по залізницях) в різних лісових місцевостях, вздовж великих річок, в заболочених районах з великими лісовими масивами і в порядку детального обґрунтування у степових і лісостепових районах, де застосування посереднього способу вимірювання віддалей (паралактична полігонометрія) робить рівноцінним (по витраті часу і вартості) триангуляційний і полігонометричний метод геодезичного обґрунтування. Класифікація точної полігонометрії ідентична класифікації триангуляційних робіт<sup>1</sup> так:

а) основні ряди III класу замінюються у степових і лісостепових районах паралактичною полігонометрією II класу, а в лісових районах траверсами II класу;

б) заповнююча сітка III класу — також паралактичною полігонометрією або траверсами III класу;

в) сітки V класу замінюються відповідно полігонометрією V класу (в інструкції по топозніманню масштабу 1:10 000 дано технічні вказівки для прокладання полігонометрії V і VI класів).

### Точність триангуляційної сітки

Для практичного використання геодезичної основи при прив'язуванні до неї теодолітних ходів потрібне попереднє визначення її точності. Точність геодезичної основи є одним з вирішальних моментів для використання основи при прив'язуванні. Показник точності — похибка в положенні пункту на місцевості.

У триангуляційній сітці ця похибка залежить від похибок кутів вимірів і похибки вихідної сторони сітки вищого класу. Для орієнтовного (наближеного) визначення похибки положення триангуляційного пункту на місцевості у тригонометричній сітці, прокладеній між двома твердими основами, можна користуватися формулою:

$$d = a \frac{\sqrt{t_1^2 + t_2^2}}{\sqrt{2}}$$

де:  $a$  — довжина боку трикутника триангуляції;

$$t_1 = 0,000\,007 \text{ м} \sqrt{\frac{p(n-p)}{n}};$$

$$t_2 = 0,000\,005 \text{ м} \sqrt{(p_1 + p_2) - \frac{p_1^2 + p_2^2}{n}};$$

в яких прийнято такі позначення:

$d$  — абсолютна похибка положення пункту на місцевості;

<sup>1</sup> Крім точної полігонометрії в порядку детального геодезичного обґрунтування застосовується також звичайна полігонометрія, що згущує триангуляційну сітку для поставлення міських знімальних або інших великомасштабних знімальних. Класифікація звичайної полігонометрії інша (див. інструкцію по зніманню міст).

$m$  — середньоквадратична похибка кута в секундах (визначу-вана за формулою Ферреро:

$$m = \pm \sqrt{\frac{[v^2]}{3n}}$$

де:  $[v^2]$  — сума квадратів нев'язок трикутників,  
 $n$  — число трикутників);

$p_1$  — порядковий номер сторони вихідної триангуляції, від якої починається досліджування сітка;

$p_2$  — порядковий номер сторони вихідної триангуляції, до якої примикає досліджувана сітка<sup>1</sup>.

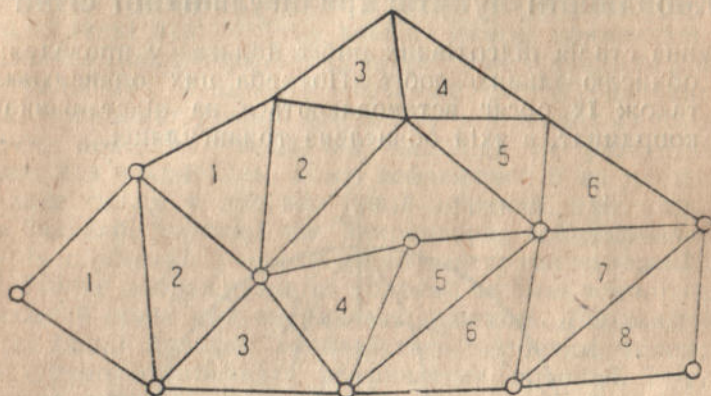


Рис. 1

Наприклад, є заповнююча сітка II класу у вигляді рядів з 8 трикутників між двома твердими боками (рис. 1). Середня квадратична похибка в сітці  $\pm 3''$ . Між другим і сьомим трикутниками цих рядів прокладена заповнююча сітка III класу в числі 6 трикутників при середній довжині сторони на 5 км і середній похибці вимірювання кута  $\pm 5''$ .

Потрібно визначити похибку в положенні на місцевості пункту 3-го трикутника цієї сітки.

$$t_2 = 0,000\,005 \cdot 3 \sqrt{(2+7) - \frac{4+49}{8}} = 0,000\,023;$$

$$t_1 = 0,000\,007 \cdot 5 \sqrt{\frac{3(6-3)}{6}} = 0,000\,042;$$

$$d = \frac{5000 \sqrt{0,000\,023^2 + 0,000\,042^2}}{1,4} \approx 0,18 \text{ м.}$$

<sup>1</sup> Щоб судити про ступінь точності триангуляції в цілому треба користуватися складнішими формулами (Изотов—Оценка точности элементов окончательно уравненной цепи триангуляции, „Геодезист“ № 2, 1935 г.)

Треба мати на увазі, що сучасні методи проведення триангуляційних робіт забезпечують одержання точності найвіддаленіших сторін трикутників від баз (вихідних сторін вищих класів) для заповнюючої сітки III класу не нижче  $1:10\,000^1$ , що дає, прирізно, похибку положення пунктів (при середніх довжинах сторін) заповнюючої сітки III класу  $0,5\text{ м}$  (як граничне значення в найвіддаленішій стороні). Тому наведений вище спосіб дослідження точності триангуляційної сітки треба застосовувати тільки для сіток, що мають сумнівні дані, а здебільшого досить обмежитися ознайомленням з науково-технічним звітом, що складається після закінчення триангуляційних робіт.

### Координати пунктів триангуляційної сітки

Наступна стадія підготовчих робіт полягає у проведенні потрібних обчислювальних робіт. Потреба цих обчислювальних робіт, а також їх обсяг встановлюються на підставі вивчення системи координат, в якій обчислена триангуляція.

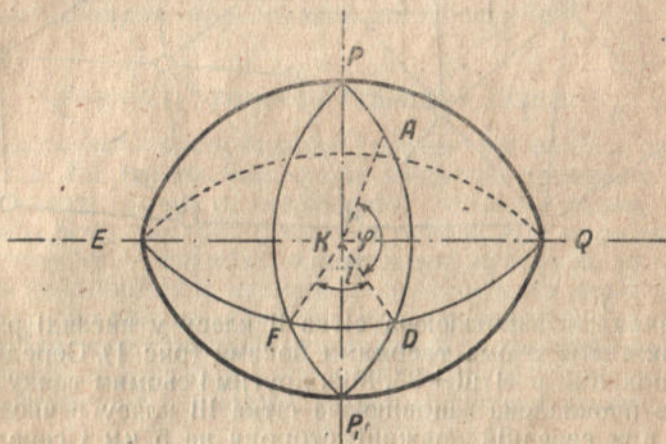


Рис. 2

Положення точки  $A$  на поверхні земного сфероїда визначається такими величинами (рис. 2): кутом  $AKD$ , утвореним нормаллю до сфероїда в точці  $A$  і площиною екватора  $EQ$  і кутом  $l$  утвореним площиною меридіана точки  $A—PAP_1$  з площиною початкового меридіана  $PF P_1$ , за який приймається тепер меридіан, що проходить через центр астрономічної обсерваторії у Грінвічі. Перший кут  $—AKD = \varphi$ , зветься широтою точки  $A$ , другий кут, що дорівнює  $l$ , зветься довготою точки  $A$  (довгота вважається від Грінвіча на схід).

<sup>1</sup> При виникненні в заповнюючій сітці III класу полігональних умов (умов координат) точність визначення найвіддаленішої сторони від вихідних сторін буде не менше  $1:15\,000$ .

Широти й довготи обчислюються для всіх точок державної триангуляції і потрібні для проведення державних знімів і складання карт.

Ця система географічних координат<sup>1</sup> потрібна для розв'язання наукових задач геодезії, для геодезичних робіт на значних площах і для загальнодержавної картографії, але використання географічних координат при землепорядних роботах і при інших інженерних роботах зустрічає значні утруднення; так при землепорядних роботах і при інших видах інженерних робіт, геодезичні знімальні ходи обчислюються у плоских прямокутних координатах і знімані ділянки земної поверхні, звичайно порівняно незначні по величині, приймаються за плоскі. Тому для практичного використання й координати триангуляційних пунктів також повинні бути дані як плоскі прямокутні.

Зазначені вище міркування примусили обчислювати координати триангуляційних пунктів в особливій системі плоских прямокутних координат, званій системою координат Гауса-Крюгера.

Земна поверхня — поверхня еліпсоїда не розвертається на площині без викривлень, тому зображення її на площині може бути дане тільки в тій або іншій проекції, при чому застосування будьякої проекції дає викривлення зображуваних на них контурів порівняно з відповідними контурами на земній поверхні і чим більше зображується на проекції частина земного еліпсоїда тим важчий облік цих викривлень проекції. Доцільність вибору тієї або іншої проекції визначається, головним чином, можливістю зручно враховувати викривлення проекції. Тому в більшості для зображення земного еліпсоїда приймають проекцію конформну, тобто таку, яка зберігає подібність у безконечно малих частинах.

Конформних проекцій для зображення поверхні земного сфероїда на площині існує дуже багато, але в розумінні простоти наступного практичного використання проекції величезні переваги перед всіма іншими має конформна поперечно-циліндрична проекція (проекція Гауса), яка в СРСР прийнята тепер як єдина проекція для відомчих знімів.

При застосуванні проекції Гауса треба земну поверхню розподілити на зони (однакові частини, утворені проведенням меридіанів через рівні інтервали по довготі) і уявити собі для кожної зони (рис. 3) циліндр з еліптичним поперечним розрізом, що дотичний до сфероїда по середньому меридіану зони; вісь циліндра проходить через центр сфероїда, знаходиться у площині його екватора і перпендикулярна до площини середнього меридіана. На такому циліндрі будується конформне зображення частини поверхні сфероїда, що відповідає обраній зоні, після

<sup>1</sup> Географічні координати — широта й довгота, визначені з астрономічних спостережень, звуться астрономічними, а географічні координати, одержані в результаті геодезичних робіт, звуться геодезичними.

чого циліндр розгортається на площині (рис. 4). Зображення середнього (осьового й початкового) меридіана у вигляді прямої

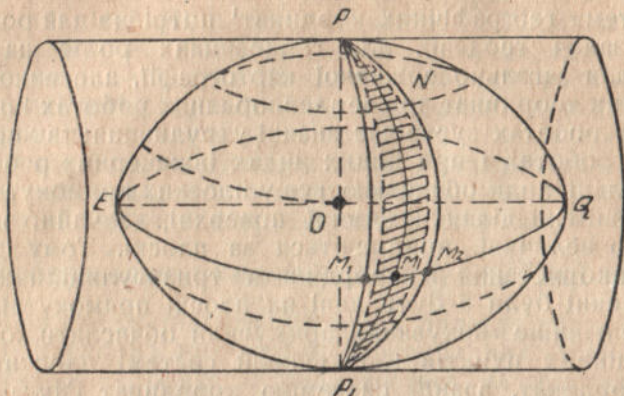


Рис. 3

лінії на цій площині приймається за вісь абсцис, а початок плоских прямокутних координат (спільний для всієї зони) береться в точці, що зображає перетин середнього меридіана з екватором.

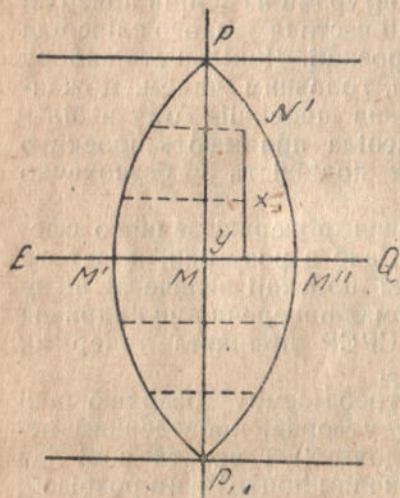


Рис. 4

Таким чином кожній точці  $N$  зони сфероїда, що має географічні координати (широту й довготу) відповідатиме на площині точка  $N'$ , що має прямокутні плоскі координати  $x$  і  $y$ .

Одержані таким чином координати  $x$  і  $y$  зветься координатами Гауса-Крюгера<sup>1</sup>.

З викладеного видно, що хоч для зображення будьякої зони застосовується один і той же закон, але дія проєкції обмежується одною зоною, тому що кожна зона зображується на своєму циліндрі, а тому що інтервали між меридіанами при розподілі на зони прий-

маються порівняно невеликі, звичайно 3 або 6°, то викривлення проєкції бувають також незначні і, що особливо важливо, вони легко враховуються з високим ступенем точності. Так, наприклад, викривлення ліній на краях зони не перевищують:

<sup>1</sup> Назва системи координат—система Гауса-Крюгера, походить від того, що всі потрібні формули проєкції Гауса були розроблені вченим Крюгером в 1912 р.

	В 6-градусній зоні	В 3-градусній зоні
На екваторі . . . . .	$\frac{1}{750}$	$\frac{1}{3\ 200}$
На 45 паралелі . . . . .	$\frac{1}{1\ 500}$	$\frac{1}{6\ 400}$

Тому що геодезичні роботи при землевпорядженні по своєму характеру є великомасштабними, то прийнято 3-градусний зональний поділ, при якому похибки графічної побудови точки у прийнятих при землевпорядженні масштабах відповідають максимальним викривленням за проекцією.

Лічення границь зон іде від Грінвіцького меридіана з заходу на схід, градусні значення яких наведені нижче в таблиці.

Зони	Меридіани		
	Західний	Осьовий	Східний
1	25,5	27	28,5
2	28,5	30	31,5
3	31,5	33	34,5
4	34,5	36	37,5
5	37,5	39	40,5
6	40,5	42	43,5
7	43,5	45	46,5

З введенням системи координат Гауса-Крюгера орієнтування в напрямі всіх ліній треба вести відносно осьового меридіана.

Справжнім або географічним азимутом лінії в даній точці зветься сферичний кут, складений географічним меридіаном і даною лінією; він відлічується по ходу годинникової стрілки від північного кінця меридіана до лінії. Позначається через  $\alpha$  (рис. 5).

Сферичним дирекційним кутом лінії в даній точці зветься сферичний кут, утворений малим колом, що проходить через дану точку паралельно осьовому меридіану зони і даною лінією; відлічується від північного кінця малого кола по ходу годинникової стрілки. Позначається через  $T$  (рис. 5).

Зближення меридіанів в даній точці зветься кут, утворений географічним меридіаном і малим колом, паралельно осьовому меридіану зони, що проходить через дану точку. Позначається через  $\gamma_0$  і має знак мінус, якщо точки лежать до заходу, і знак плюс, якщо точки лежать на схід від осьового меридіана (рис. 5).

Зближення меридіанів обчислюється за формулою (наближеною)

$$\gamma_0 = \lambda \cdot \sin \varphi,$$

де:  $\varphi$ —широта даної точки;

$\lambda$ —різниця довгот між осьовим меридіаном і меридіаном, що проходить через дану точку.



Плоским дирекційним кутом лінії (дирекційним кутом хорди) зветься кут у початковій або кінцевій точці її, яка міститься

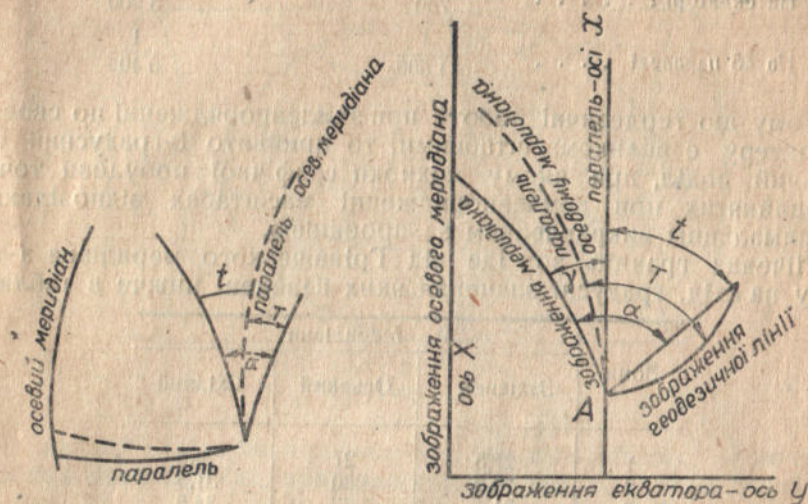


Рис. 5

між прямою, що сполучає кінці зображення геодезичної лінії на площині і прямою паралельною осі  $X$ , позначається через  $t$  і відшукується за формулою:

$$t = T - \delta$$

де:  $T$  — сферичний дирекційний кут;

$\delta$  — поправка на кривизну зображення геодезичної лінії на площині у проекції Гауса-Крюгера (кут утворений зображенням геодезичної лінії на площині і хордою, що сполучає кінці зображення геодезичної лінії).

Тому, що величина  $\delta$  в сітках IV і V класів, а також в теодолітних ходах незначна (порівняно короткі довжини сторін і менша

точність виміру кутів)<sup>1</sup>, то практично плоский дирекційний кут вважають рівним сферичному, тобто  $t = T$  (рис. 6).

<sup>1</sup>  $\delta = 0$  при сторонах теодолітних ходів менше 1 км і  $u < 150$  км.

## Обчислення координат Гауса-Крюгера

Обчислення плоских прямокутних координат Гауса-Крюгера по географічних, провадиться за такою схемою (з настанов по проведеному топографічних робіт УВТ, вип. 1):

	Ф о р м у л и	Сигнал Шимськ	Дзвіниця Коростень
1	$\varphi$ — широта . . . . .	58°13' 32"52	58°11' 18"25
2	$l$ — довгота . . . . .	30 44 59 87	30 59 46 73
3	$l - 33^\circ = \lambda$ різниця довгот осьового меридіана . . . . .	-2 15 0 13	- 2 00 13 27
	$\lambda''$ — в секундах . . . . .	-8 100 13	- 2 13 27
15	$lg \gamma (7+9)$ . . . . .	3,838039 <i>n</i>	3,787491 <i>n</i>
9	$+v (\lambda \cos \varphi)^2$ — з другої таблиці по аргументу $lg \lambda \cos \varphi$ . . . . .	+ 62	+ 49
7	$lg \gamma_0 (4+5)$ . . . . .	3,837977 <i>n</i>	3,787442 <i>n</i>
5	$lg \sin \varphi$ — по таблицях логарифмів . . . . .	9,929485	9,929310
4	$lg \lambda''$ — те ж . . . . .	3,908492 <i>n</i>	3,858132 <i>n</i>
6	$lg \cos \varphi$ — те ж . . . . .	9,721459	9,721906
8	$lg \lambda \cos \varphi (4+6)$ . . . . .	3,629951 <i>n</i>	3,580048 <i>n</i>
10	$lg \frac{N}{\rho}$ — з першої таблиці по аргументу $\varphi$ . . . . .	1,491268	1,491267
11	$lg y_0 (8+10)$ . . . . .	5,121219 <i>n</i>	5,071315 <i>n</i>
12	$+v (\lambda \cos \varphi)^2 - 9$ . . . . .	+ 62	+ 49
13	$-1/2 v \lambda^2$ — з таблиці другої по аргументу $lg \lambda''$ . . . . .	- 112	- 89
14	$lg y (11+12+13)$ . . . . .	5,121169 <i>n</i>	5,071235 <i>n</i>
16	$lg \gamma_0 y_0 (7+11)$ . . . . .	8,959196	8,858757
17	$lg \frac{1}{2} \rho$ — постійна величина . . . . .	4,384545	4,384545
18	$lg \frac{y_0 i}{2 \rho} (16-17)$ . . . . .	3,343741	3,243302
19	$3/2 v (\lambda \cos \varphi)^2$ — з графі 9, помноженням на $3/2$ . . . . .	+ 93	+ 73
20	$-1/4 v \lambda^2$ — з графі 13, помноженням на $1/4$ . . . . .	- 56	- 44
21	$lg (x - B) (18+19+20)$ . . . . .	3,343779	3,243331
22	$lg \Delta l''$ — з таблиці 1, по аргументу $\varphi$ . . . . .	1,490460	1,490457
23	$lg \Delta \varphi$ — різниця $\varphi$ і найближче менше з таблиці 1 . . . . .	2,327400	1,893484
24	$lg \Delta B (22+23)$ . . . . .	3,817860	3,383941
25	$x - B$ по $lg (x - B)$ — знаходимо число . . . . .	2206,9	1751,2
26	$B_0$ — з таблиці 1, відповідно градусам і десяткам минут $\varphi$ . . . . .	6449173,3	6449173,3
27	$\Delta B$ — по логарифму число . . . . .	65°4,4	2420,7
28	$x (25+26+27)$ . . . . .	6457954,6	653345,2
29	$y$ — по логарифму число . . . . .	-132181,5	-117824,3
30	$\lambda$ . . . . .	-1°54'47" $\lambda$	-1°42'10" $\lambda$
31	$lg m (19)$ . . . . .	0,000093	0,000073

У схемі прийнято такі формули:

$$lg y = lg y_0 + v (\lambda'' \cos \varphi)^2 - \frac{1}{2} v \lambda'' . . . . . (1)$$

В цій формулі  $y_0 = \frac{N}{\rho} \lambda'' \cos \varphi$ , де  $N$  є радіус кривизни по

першому вертикалу і величина  $\frac{N}{\rho''}$  береться з таблиці для даної широти;

$\lambda''$  — є різниця довгот, визначена в секундах, вважаючи її від осьового меридіана, який в нашому прикладі дорівнює  $33^\circ$ .

Другий член цієї формули, визначений в одиницях логарифму береться по аргументу  $lg(\lambda \cos \varphi)$  в таблиці 2 (стор. 117).

Третій член, визначений також в одиницях логарифму, береться з тієї ж таблиці по аргументу  $lg\lambda$ .

$$lg(x-B) = lg \frac{\gamma_0 y_0}{2\rho} + \frac{3}{2} v (\lambda \cos \varphi)^2 - \frac{1}{4} v \lambda^2 \dots (2).$$

В цій формулі  $x$  є абсциса даного пункту, а  $B$  — довжина дуги меридіана, вважаючи її від екватора до географічної паралелі даного пункту з широтою  $\varphi$ . За цією формулою спочатку відшукуємо різницю  $x-B$ ; до першого члена даної формули входять: наближена величина зближення меридіанів, визначається за формулою  $\gamma_0 = \lambda \sin \varphi$ , величина  $y_0$  з попередньої формули і сталий множник  $\frac{1}{2} \rho$ ; другий і третій члени визначені в одиницях логарифму і беруться з згаданої вище таблиці 2 по аргументах  $lg(\lambda \cos \varphi)$  і  $lg\lambda$ .

Одержавши різницю  $x-B$ , по таблиці 1 (стор. 115) обчислюємо величину  $B$  так: виписуємо з таблиці величину  $B_0$ , що відповідає градусам і десяткам мінут даної широти (у нашому прикладі  $58^\circ 10'$ ) і визначаємо відрізок дуги меридіана ( $\Delta B$ ) що, відповідає мінутам і секундам даної широти — в нашому прикладі

$$\Delta \varphi = 3'32'',52 = 212'',52.$$

Цей відрізок дуги меридіана ( $\Delta B$ ) визначається за формулою:

$$lg \Delta B = lg (\Delta 1'' \cdot \Delta \varphi) \dots (3),$$

де  $\Delta 1''$  береться з тієї ж таблиці для широти  $\varphi_m = \frac{\varphi_0 + \varphi}{2}$ , де широта  $\varphi_0$  відповідає  $B_0$  (у нашому прикладі  $58^\circ 10'$ ).

Підсумувавши величини  $(x-B) + B_0 + \Delta B$ , очевидно й одержимо шукану абсцису  $x$ .

Значення величин, що сюди входять, пояснено в попередніх формулах.

$$lg m = \frac{3}{2} v (\lambda \cos \varphi)^2 \dots (4).$$

За цією формулою визначається логарифм масштабу зображення геодезичної лінії у проекції Гауса-Крюгера, потрібний для редуціювання довжин на площину. Він береться з таблиці по аргументу:  $lg(\lambda \cos \varphi)$ .

Дані формули є наближені і розраховані для обчислення прямокутних координат 6-значними логарифмами з точністю до 0,1 м.

Тому що наведені формули контролю не мають, то обчислення прямокутних координат треба робити на дві руки<sup>1</sup>.

Можливі випадки розміщення ділянки покриваної теодолітними ходами у двох суміжних зонах, на роздільному меридіані, тоді координати триангуляційної сітки перераховуються в одну зону. Ці перерахунки робляться по таблицях Віровця і Рабінювича (таблиці для перетворення координат Гауса-Крюгера), при відсутності цих таблиць, — шляхом переведення раніше прямокутних координат в географічні, а географічних знову у прямокутні потрібної зони (зона перекриття)<sup>2</sup>.

## Використання старих триангуляційних сіток

Триангуляція I і II класу обчислюється в географічних координатах на сфероїді Бесселя. Проте при використанні старих триангуляційних сіток можливі випадки, коли ці сітки обчислені на сфероїді Вальбека або Кларка, або сітки обчислені на сфероїді Бесселя, але від початку Юр'їв, а не Пулково, як це було прийнято в 1910 р. Перехід з Юр'ївської системи до Пулковської (на сфероїді Бесселя) здійснюється з допомогою таких табличок:

Поправка в широті — ф.

Довгота від Пулково	0°	— 1°	— 2°	— 3°	— 4°
Поправка до широти . . . . .	—4,"06	—4,"07	—4,"07	—4,"07	—4,"07

Поправка в довготі

	55°	54°	53°	52°	51°	50°	49°	48°	47°
—0°00'	+1,"02	+1,"03	+1,"05	+1,"06	+1,"07	+1,"08	+1,"09	+1,"10	+1,"11
20'	05	06	08	09	10	11	12	13	14
40'	09	10	11	12	13	14	14	15	16
—1°00'	12	13	14	15	16	16	17	18	19
20'	16	16	17	18	19	19	20	21	21
40'	19	20	20	21	21	22	23	23	24
—2°00'	22	23	23	24	24	25	25	26	26
20'	26	26	26	27	27	28	28	28	28
40'	29	29	30	30	30	31	31	31	31
—3°00'	32	33	33	33	33	33	33	34	34
20'	36	36	36	35	36	36	36	36	36
40'	39	39	39	39	39	39	39	39	39
—4°00'	42	42	42	42	42	42	42	42	42

<sup>1</sup> Крім наведеного спрощеного способу обчислення координат Гауса-Крюгера по географічних існують і інші нескладні способи (Белікова, Келя, Когана).

<sup>2</sup> Для перерахунку координат Гауса-Крюгера з зони в зону запропоновано багато способів, крім зазначених вище (способи Крюгера, Келя, Нумерова, Ходоровича, Ізотова і ін.).

Порядок користування таблицьками подано на прикладі: дано в юр'ївській системі такі координати триангуляційного пункту  $\varphi = -54^{\circ}19'53,765$ ,  $l = 3^{\circ}57'11,995$  і потрібно їх перевести в пулковську систему. В пулковській системі матимемо:

$$\varphi = -54^{\circ}19'53,765 \quad l = -3^{\circ}57'11,995$$

$$(\text{з I таблиці}) \quad 4,707 \quad (\text{з II таблиці}) + 1,742$$

В пулковській системі  $\varphi = -54^{\circ}19'49,758$ . В пулковській системі  $l = -3^{\circ}57'10,53$

## Схема, каталог, кроки і список трикутників

Після закінчення перших двох стадій камеральних підготовчих робіт складається необхідний матеріал для польових робіт. Складається схематичний рисунок триангуляційної сітки на карті найбільшого масштабу (1:100 000, 1:50 000). При складанні рисунка застосовуються такі умовні знаки (рис. 7 і 8):

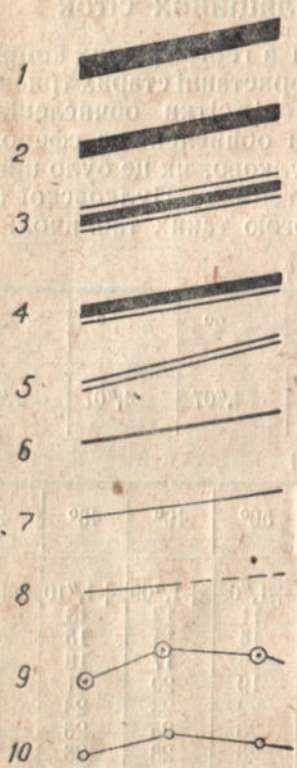


Рис. 7

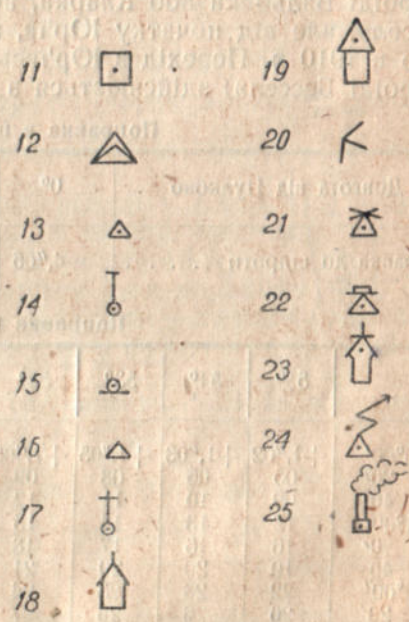


Рис. 8

1. Сторона триангуляції I класу.
2. Сторона основного ряду II класу.
3. Сторона заповнюючої сітки II класу.
4. Сторона основного ряду III класу.
5. Сторона заповнюючої сітки III класу.
6. Сторона триангуляції IV класу.
7. Сторона триангуляції V класу.

8. Сторона додаткових пунктів.
  9. Основні теодолітні ходи (полігонометрія V класу).
  10. Теодолітні ходи (полігонометрія VI класу).
  11. Складний сигнал.
  12. Простий сигнал.
  13. Піраміда.
  14. Віха.
  15. Азимутальний стовп.
  16. Закладна точка полігонометрії.
  17. Дзвіниця.
  18. Надбудова на будинку.
  19. Силосна башта.
  20. Верстовий стовп.
  21. Вітряк.
  22. Водонапірна будівля.
  23. Пожежна каланча.
  24. Радіощогла.
  25. Труба заводу.
- Потім складається каталог пунктів за поданою нижче формою.

Осьовий меридіан 27° (6-градусна зона)

№№ п/п	Назва пунктів	Клас	Координати		Дирекційні кути		Зближен- ня мери- діан в
			x	y	0°00'00"	На предмет	
1	Огуречна (піраміда)	IV	5264714,6	5684301,2	23°61'03,"3	Манілово (піраміда) Іллінка (дзвіниця) Захарівка (завод)	+1'48,"3
					23°0'04,"8		
					34°42'05,"6		
							і т. д.

Для кожного пункту в каталозі повинно бути дано три дирекційних кути, при чому один дирекційний кут дається на один з суміжних триангуляційних пунктів видимих з землі і два дирекційних кути на місцеві предмети або азимутні пункти<sup>1</sup>.

Щоб забезпечити надалі простоту обчислювальних операцій, виготовляється на район роботи список трикутників за формою:

Назва вершин трикутників	Вимірні кути	Зрівняні кути	Логарифми сторін (у метрах)
Трикутники III класу (заповнююча сітка)			
Яконово (дв. піраміда) . . . . .	4° 06' 42"	41"	4,019549
Пурово (церква) . . . . .	70 32 18	18	4,115521
Дерново (піраміда) . . . . .	60 41 02	01	4,080130
+ 2" . . . . .	180 00 02	60	—
			і т. д.

<sup>1</sup> По роботам НКО на кожну трапецію масштаба 1:50000 складається карточний каталог.

Щоб забезпечити відшукування триангуляційних пунктів на місцевості при проведенні триангуляційних робіт, склалися кроки. Кроки складаються на всі пункти вміщені в каталозі, не виключаючи місцевих предметів.

Кроки виготовляються на картках стандартного зразка і мають: 1) план розташування триангуляційного пункту в масштабі 1:25 000 (2 см × 2 см); 2) опис розташування триангуляційного пункту і закладеного центра з зазначенням віддалей до визначених (характерних) місцевих предметів або контурних точок (орієнтирів), а також назви пунктів видимих з землі; 3) рисунок зовнішнього знака; 4) подовжній розріз центра з зазначенням розмірів усіх елементів.

В тому разі, коли кроки не склалися, то для відшукування триангуляційних пунктів використовуються журнали рекогносціювання.

### Відшукування триангуляційних пунктів

Польова підготівна робота полягає в відшуванні наявних на території, що покривається теодолітними ходами, триангуляційних пунктів.

Триангуляційні пункти позначаються (закріплюються) на місцевості тимчасовими (штучними), дерев'яними наземними спорудженнями (сигнали, піраміди, віхи), системою центрів (надземний і підземний) і канавою завглибшки 0,5 м, крім того місця розташування триангуляційних пунктів завжди підвищені.

При зберіганні зовнішнього знаку триангуляційні пункти потрібні для прив'язування, легко відшукуються на місцевості; якщо ж зовнішні знаки не збереглися, то користуючись описом знаку (кроками або схемами підходу), картою і розпитуванням місцевих жителів, визначають місце знаку і потім починають відшукувати і розкривати центр. Для цього на початку залізним щупом визначають площадку кладки, потім знімають верхній шар землі лопатою і розбирають кладку руками, щоб не пошкодити і не зрушити центра. Якщо ж верхній центр відсутній, або зрушений, то відшукують внутрішній центр, вживаючи тих же заходів обережності. Відшукавши внутрішній центр, проєктують його на поверхню землі з допомогою трьох встановлень теодоліта (через 120°).

В разі неможливості відшукувати триангуляційний пункт зазначеним вище способом, можна застосовувати кілька прийомів: 1) спосіб Марека; 2) спосіб інверсійного трикутника; 3) задача Потенота і в крайньому разі 4) спосіб Кулаковського.

**Спосіб Марека.** Спосіб Марека (рис. 9) полягає в тому, що в районі передбачуваного місця центру  $P$  вибирають базу  $MN$  завдовжки близько 40 м і з кінців її вимірюють кути між напрямками на ті місцеві предмети, або триангуляційні пункти, на які

провадилося спостереження при закладанні центра і обраним напрямом бази  $MN$ . Місцеві предмети або триангуляційні пункти, на які провадилося спостереження, звичайно зазначаються в описі центра.

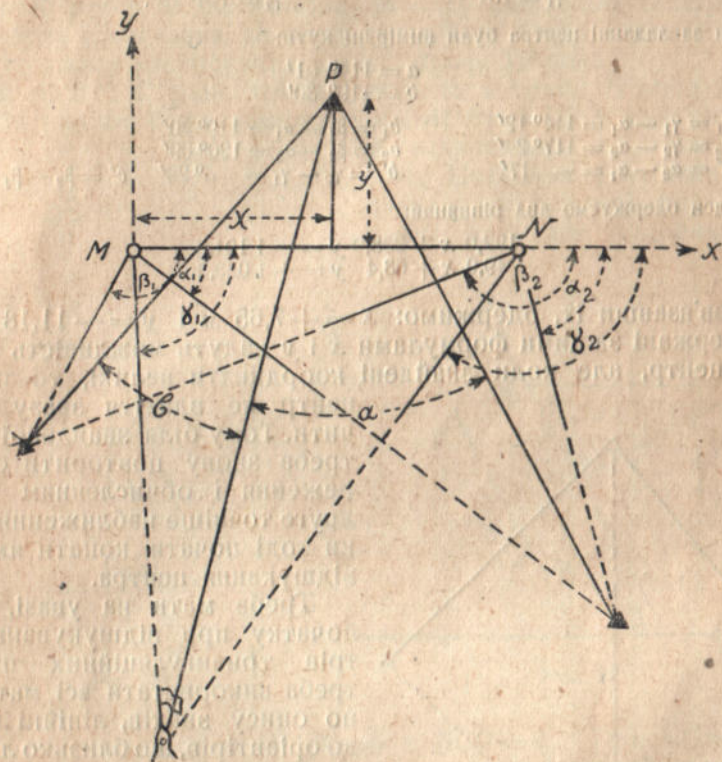


Рис. 9

Взявши точку  $M$  за початок координат, напрям  $MN$  за вісь  $x$ -ів, а перпендикулярне йому за вісь  $y$ -ів, обчислюємо координати відшукуваного тригонометричного пункту відносно цих осей. Координати пункту  $P$  визначаються з розв'язання двох рівнянь:

$$(a - a_1) B = (a_2 - a_1) x + (b' \operatorname{ctg} \beta_1 - a' \operatorname{ctg} \alpha_1) y$$

$$(b - b_1) B = (b_2 - b_1) x + (c' \operatorname{ctg} \gamma_1 - b' \operatorname{ctg} \beta_1) y$$

де:  $\alpha_1, \alpha_2, \beta_1, \beta_2, \gamma_1$  і  $\gamma_2$  кути між напрямом бази і напрямом на місцеві предмети;

$B = MN$  — довжина бази;

$a$  і  $b$  — кути відшукуваного тригонометричного пункту на місцеві предмети (беруться з опису знаку):  $a_1 = \gamma_1 - \alpha_1$ ;  $b_1 = \beta_1 - \gamma_1$ ;  $a' = \alpha_2 - \alpha_1$ ;  $a_2 = \gamma_2 - \alpha_2$ ;  $b_2 = \beta_2 - \gamma_2$ ;  $b' = \gamma_2 - \gamma_1$ ;  $c' = \beta_2 - \beta_1$ .



Приклад на спосіб Марека. При відшуванні центра були вибрані дві допоміжні точки  $MN$  на віддалі  $B = 108,33$  м і виміряні такі кути:

$$\begin{aligned} \alpha_1 &= 16^\circ 48' & \alpha_2 &= 17^\circ 05' \\ \beta_1 &= 257^\circ 28' & \beta_2 &= 246^\circ 55' \\ \gamma_1 &= 131^\circ 00' & \gamma_2 &= 134^\circ 29' \end{aligned}$$

При закладанні центра були виміряні кути:

$$\begin{aligned} a &= 114^\circ 01' & b_1 &= \beta_1 - \alpha_1 = 119^\circ 20' \\ b &= 119^\circ 30' & b_2 &= \beta_2 - \alpha_2 = 120^\circ 09' \\ a_1 &= \gamma_1 - \alpha_1 = 114^\circ 12' & b' &= \gamma_2 - \gamma_1 = 3^\circ 29' \\ a_2 &= \gamma_2 - \alpha_2 = 117^\circ 24' & c' &= \beta_2 - \beta_1 = +32' \\ a' &= \alpha_2 - \alpha_1 = -17' \end{aligned}$$

Звідси одержуємо два рівняння:

$$\begin{aligned} 192,0 x + 238,0 y &= -1191,6 \\ 49,0 x + 63,4 y &= +1083,3 \end{aligned}$$

Розв'язавши їх, одержимо:  $x = +7,65$  м і  $y = -11,18$  м.

Одержавні за цими формулами  $x$  і  $y$  дадуть можливість відшукати центр, але коли знайдені координати великі, то по них центр не вдається зразу визначити. Тому біля знайденої точки треба знову повторити спостереження і обчисленням знайти друге точніше наближення і тільки тоді почати копати ями для відшування центра.

Треба мати на увазі, що на початку при відшуванні центрів триангуляційних пунктів, треба використати всі матеріали по опису знаків, лінійні виміри до орієнтирів, що близько лежать, а також щодо триангуляції останніх років, наявність на місцевості курганів і каналів, близьких по розміру до вимог інструкції і тільки потім застосовувати спосіб Марека. Можна на початку і не робити всіх обчислень по способу Марека, а застосовувати

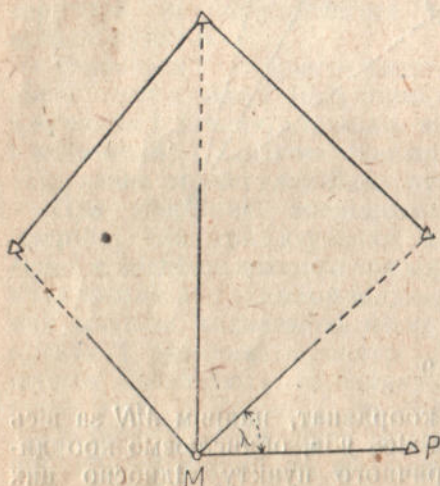


Рис. 10

природні послідовні наближення, вимірюючи кути на послідовному ряді точок до того часу, коли виміряні кути будуть аналогічні виміряним раніше на відшукованому триангуляційному пункті в межах до півградуса і тоді тільки застосовувати спосіб Марека.

Для відшукування місця триангуляційного пункту можна застосовувати задачу Потенота і задачу Ганзена.

Для цього поблизу передбачуваного місця відшукованого триангуляційного пункту обирають якусь точку  $M$  (рис. 10)

і визначають її координати по задачі Потенота. Потім за координатами точки  $M$  і шуканої точки  $P$  визначають довжину й напрям лінії  $MP$ , а звідси і кут  $\lambda$ . Цих даних досить, щоб одержати положення точки  $P$  на місцевості.

**Спосіб проф. В. В. Попова.** В тому разі, коли відшукувана точка була прив'язана до триангуляційної сітки за задачею Потенота, то краще застосувати спосіб проф. Попова<sup>1</sup>.

Хай  $A, B$  і  $C$  дані точки (рис. 11), а точка  $D$  відшукувана, і на ній раніше були виміряні кути  $ADB = \alpha$  і  $BDC = \beta$ . Оскільки по відношенню до точки  $D$  задача Потенота розв'язана, значить у формулярі розв'язання є всі дані для чотирикутника

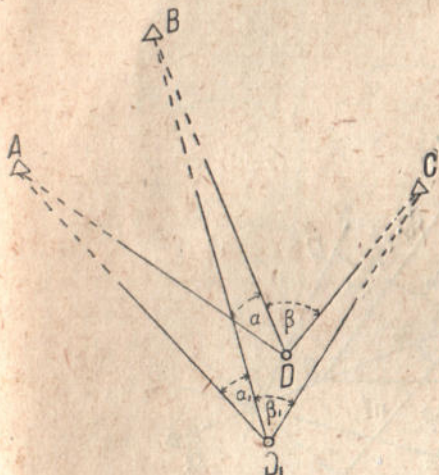


Рис. 11

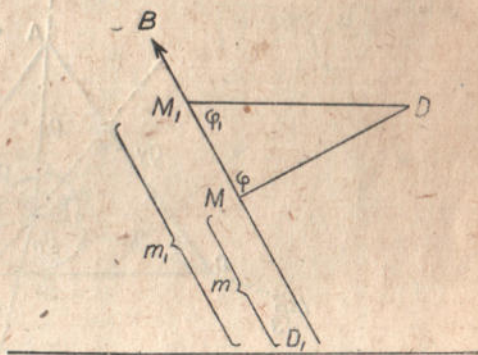


Рис. 12

$ABCD$ , зокрема і кути  $BAD = \varphi$  і  $BCD = \varphi_1$ . При відшуканні ставимо теодоліт у точці  $D_1$  по можливості близькій до точки  $D$  і вимірюємо кути  $AD_1B = \alpha_1$ , і  $BD_1C = \beta_1$ . Обчислюємо потрібні нам відрізки  $m$  і  $m_1$  за формулами:

$$m = M(\alpha - \alpha_1) \text{ і } m_1 = M_1(\beta - \beta_1),$$

де коефіцієнти  $M$  і  $M_1$  підраховуються завчасно дома за формулами:

$$M = \frac{AD \sin 1'}{\sin \alpha} \text{ і } M_1 = \frac{CD \sin 1'}{\sin \beta}.$$

Потім з допомогою стрічки відкладаємо  $m$  і  $m_1$  від точки  $D_1$  в напрямі на середню точку  $B$  або у протилежному напрямі, залежно від їх знаків і одержуємо точки  $M$  і  $M_1$  (рис. 12).

З допомогою теодоліта в точці  $M$  будуємо кут  $\varphi$ , а в точці  $M_1$  кут  $\varphi_1$  і в перетині збудованих двох прямих знаходимо приблизне положення точки  $D$ .

<sup>1</sup> Спосіб проф. В. В. Попова викладено в журналі „Геодезист“, № 10, 1927 р.

**Спосіб інверсійного трикутника.** Для застосування способу інверсійного трикутника при відшуканні триангуляційних знаків треба також мати видимість з землі не менше, ніж на три точки, що раніше спостерігалися з шуканого триангуляційного пункту і віддалі від шуканого пункту до видимих точок. На місцевості вибираємо якусь точку  $P_n$ , якнайближче до шуканої і з неї вимірюємо теодолітом кути між напрямками на дані точки, одержимо  $\alpha_n, \beta_n, \gamma_n$  і порівняємо ці кути з вимірними з шуканої точки, склавши різницю (у мінутах):

$$\alpha - \alpha_n = \Delta\alpha, \quad \beta - \beta_n = \Delta\beta \quad \text{і} \quad \gamma - \gamma_n = \Delta\gamma.$$

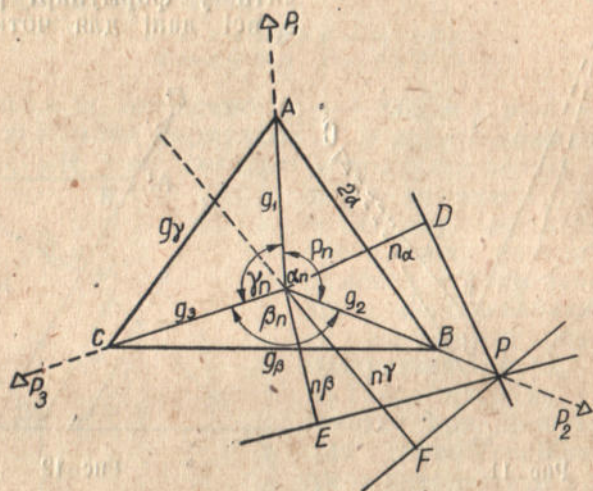


Рис. 13

Потім на місцевості побудуємо інверсійний трикутник (рис. 13); для цього виставляємо в напрямі на дані точки  $P_1, P_2, P_3$  віхи і відкладаємо рулеткою градієнти, обчислені за формулою:

$$g_1 = \frac{3438}{S_1}, \quad g_2 = \frac{3438}{S_2}, \quad g_3 = \frac{3438}{S_3}$$

де:  $S_1, S_2, S_3$  — відповідно віддалі від шуканої точки до даної (в кілометрах),  $g$  — відкладається в дециметрах.

Вимірюємо в дециметрах безпосередньо на місцевості сторони одержаного інверсійного трикутника  $ABC$ :  $g_\alpha, g_\beta, g_\gamma$ , потім обчислюємо коефіцієнти поступного переміщення (в метрах):

$$n_\alpha = \frac{1000 \Delta\alpha}{g_\alpha}, \quad n_\beta = \frac{1000 \Delta\beta}{g_\beta}, \quad n_\gamma = \frac{1000 \Delta\gamma}{g_\gamma}.$$

Потім з точки  $P_n$  проведемо перпендикуляри до сторін  $AB$ ,  $BC$ ,  $CA$  і на них відкладемо (відповідно знакам  $\Delta\alpha$ ,  $\Delta\beta$ ,  $\Delta\gamma$ ) відрізки  $n_\alpha$ ,  $n_\beta$  і  $n_\gamma$  і через кінці цих відрізків  $D$ ,  $E$  і  $F$  проведемо прямі паралельні сторонам інверсійного трикутника, прямі в перетинах дадуть шукану точку  $P$ , в разі великого трикутника похибок, зазначені вище дії повторити з нової точки в середині трикутника похибок.

**Спосіб П. Кулаковського.** В тих випадках, коли треба відшукати загублений підземний центр триангуляційного пункту і з примірного місця розташування його видно тільки один суміж-

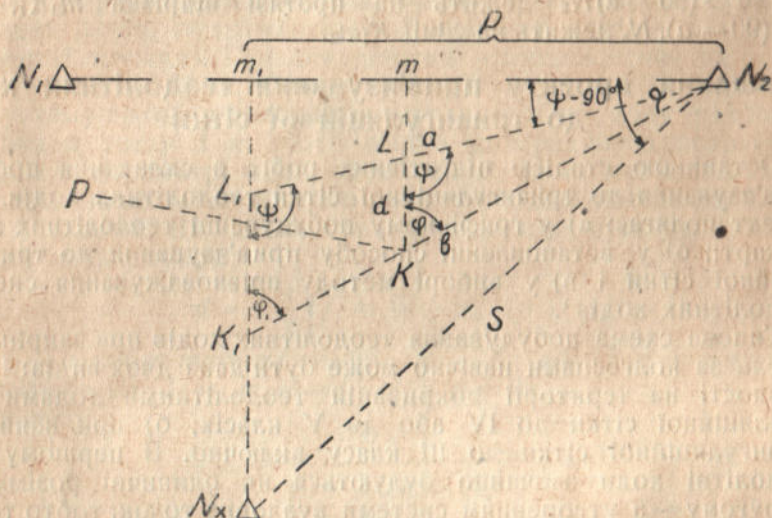


Рис. 14

ний триангуляційний пункт, то застосовують спосіб П. Кулаковського. Для цього поблизу загубленого знака  $N_x$  вибираємо точку  $K$ , з якої видно один триангуляційний пункт  $N_2$  (рис. 14). Попередньо обчислюємо азимут лінії  $N_x m_1$ , де  $m_1$  —прямокутна проекція пункту  $N_x$  на сторону  $N_1N_2$  і обчислюємо довжину  $m_1N_2 = p$ . Потім в точці  $K$  визначають по сонцю справжній азимут якогось напрямку (наприклад  $KP$ ) і будують кут  $PKL$  для позначення на місцевості напрямку  $KL$ , паралельного лінії  $N_x m_1$ .

Виміряємо віддаль  $KL = d$  і кути  $LKN_2 = \varphi$  і  $KLN_2 = \psi$ , обчислюємо інші сторони трикутника  $KLN_2$  і довжину  $Km$  за формулами:

$$LN_2 = a = \frac{d \sin \varphi}{\sin (\varphi + \psi)}; \quad KN_2 = b = \frac{d \sin \psi}{\sin (\varphi + \psi)} = \frac{a \sin \varphi}{\sin \psi}$$

$$Km = b \cos \varphi = a \cos \psi + d.$$

Для позначення на місцевості напрямку  $N_x m_1$  обчислюємо з трикутника  $N_2 K_1 m_1$  величину  $KK_1$  і  $LL_1$ :  $KK_1 = \frac{P}{\sin \varphi} - b$ ,  $LL_1 = \frac{P}{\sin \psi} - a$  і відкладаємо їх на місцевості.

Для перевірки напрямку  $K_1 L_1$  вимірюємо в точці  $K_1$  кут  $\varphi_1$ . Віддаль  $K_1 N_x$  обчислюємо за формулою:

$$K_1 N_x = S \sin \alpha - p \operatorname{ctg} \varphi$$

або

$$L_1 N_x = S' \sin \alpha + p \operatorname{ctg} \psi.$$

При  $\varphi > (90 - \alpha) N_x$  лежить на протязі відрізка  $m_1 K_1$ , при  $\varphi < (90 - \alpha)$ ,  $N_x$  лежить на лінії  $K_1 m_1$ .

### Складання проекту прив'язування теодолітних ходів до триангуляційної сітки

Останньою стадією підготовчих робіт є складання проекту прив'язування до триангуляційної сітки теодолітних ходів. Цей проект полягає: а) у графічному побудуванні теодолітних ходів на карті; б) у встановленні способу прив'язування до триангуляційної сітки і в) у виборі методу врівноважування системи теодолітних ходів<sup>1</sup>.

Типова схема побудування теодолітних ходів при закріпленні земель за колгоспами навечно може бути дана двох видів: 1) при наявності на території покриваній теодолітними ходами триангуляційної сітки до IV або до V класів; б) при наявності триангуляційної сітки до III класу включно. В першому разі теодолітні ходи звичайно будуються як одиничні розмікнуті, у другому — з утворенням системи вузлових точок, тобто точок, в яких перетинаються два і більше теодолітних ходів.

Передбачаючи, що точки теодолітних ходів служитимуть геодезичним обґрунтуванням знімання масштабу 1:10 000, треба прокласти теодолітні ходи з такою точністю, яка б забезпечила похибку в положенні окремих точок теодолітних ходів не більше 2 м.

Звідси можна визначити граничну довжину теодолітного ходу між триангуляційними пунктами. Враховуючи, що прийоми вимірювання довжин ліній і кутів по межах земель колгоспів дають граничну відносну нев'язку в периметрі 1:1 500<sup>2</sup> і тому, що при пов'язуванні ходу одержана нев'язка розверстується пропорційно довжинам ліній на весь хід, то можна вважати, що при відсутності грубих обчислень похибка в абсолютному положенні

<sup>1</sup> В ширшому тлумаченні до складу проекту входять також встановлення обсягу робіт, часу і строку виконання робіт, кількості потрібного технічного персоналу, робочої сили, транспортних витрат, добір інструментарію, розрахунок устаткування, матеріалів, а також визначення вартості робіт (кошторис).

<sup>2</sup> Інструкція НКЗ СРСР по складанню і видачі державних актів на закріплення земель за колгоспами в безстрокове (вічне) користування.

точок ходу після пов'язання буде зменшена вдвоє, тобто можна вважати граничну нев'язку в периметрі ходу 4 м. Значить позначаючи через  $L$  припустиму граничну довжину ходу, одержимо:

$$\frac{L}{1500} \leq 4 \text{ м}, \quad L = 6 \text{ км.}$$

В разі розрідженої тригонометричної сітки буває потреба у прокладанні основних теодолітних ходів з точністю, що перевищує точність зазначених вище знімальних теодолітних ходів, бо знімальні ходи базуватимуться на основних. Так, при наявності триангуляції II класу (заповнююча сітка) з середньою довжиною сторони 10 км можна розрахувати потрібну точність основних ходів, інструментарій і методику вимірів для досягнення цієї точності. Середня довжина сторони основних теодолітних ходів — 500 м. Кількість сторін ходу  $n = 20$ . Прийmemo припустиму похибку положення середньої точки ходу (найбільша похибка в ході)<sup>1</sup> 1 м, тобто згідно попереднього розрахунку нев'язка в периметрі може бути 2 м і відносна нев'язка 1:5000. Гранична похибка середнього пункту теодолітного ходу  $d$  (хід пов'язується за між двома триангуляційними пунктами), визначається за формулою:

$$d = \pm \frac{1}{2} \sqrt{m_0^2 n + m_0'^2 (n+1)}$$

де:  $m_0$  — похибка лінійних вимірів,  $m_0'$  — похибка кутових вимірів. Приймаючи  $d = 1$  м,  $m_0 = m_0' = m$  і  $n = 20$  одержимо:

$$m = \pm \frac{2d}{\sqrt{n^2 + (n+1)}} \cong \pm 0,10$$

Значить, відносна похибка лінійних вимірів повинна бути не нижче 1:5000, що можна досягти тільки в разі проведення лінійних вимірів 20-метровою штриховою сталлю стрічкою по сприятливій місцевості. Граничну похибку кутових вимірів одержимо за формулою:

$$m_0' = \pm \frac{m}{500 \cdot \sin 1''} = \pm \frac{0,10 \cdot 206265}{500} = \pm 40''.$$

Для досягнення цієї точності треба застосувати або 30'' або 1' теодоліт, вимірюючи кути кількістю прийомів визначуваних за формулою:

$$m_0' = \frac{t}{\sqrt{2n}},$$

де:  $t$  — точність верньєра,  $n$  — число прийомів.

<sup>1</sup> Це положення, що є найслабкішим, в розумінні точності, місцем теодолітного ходу є його середина, треба враховувати і при проектуванні теодолітних ходів, а саме: потрібно паралельні, близько розміщені теодолітні ходи перетинати поперечними ходами, що особливо важливо при ходах граничної довжини.

При 1' теодоліті  $n=2$  і при  $30''=1$ , звичайно достатньо застосування одномінутного теодоліта з вимірюванням кутів одним повним прийомом при двох повтореннях в кожному напівприйомі (цей наближений розрахунок можна було б зробити і на випадок використання теодолітних ходів при топозніманні для цілей землевпорядження, де теодолітні ходи по межах землекористування замінюють собою і геометричну сітку)<sup>1</sup>.



Рис. 15

Так інструкцією по топозніманню масштабу 1:10 000 встановлюється різна точність вимірювання кутів і довжин ліній залежно від довжини теодолітного ходу.

При проектуванні теодолітних ходів треба мати на увазі, що нев'язки в полігонах є не тільки результатом вимірювальних дій, але й похибок в опорних пунктах. Тому розміщення теодолітних ходів відносно даних опорних пунктів має велике

значення і впливає на величину нев'язки в теодолітному ході.

Найвигідніше розміщувати полігон у вигляді витягнутого теодолітного ходу між двома триангуляційними пунктами, причому треба намагатися, щоб ці два триангуляційні пункти відносилися до одного і того ж трикутника сітки, тобто щоб лінія, яка з'єднує початковий і кінцевий пункти теодолітного ходу була б лінією двобічного або хоч би одnobічного візування (пряма або зворотна засічка). Особливо незадовільні результати бувають в разі прокладання теодолітного ходу між двома триангуляційними пунктами, визначеними оберненою засічкою кожний, та ще й по різних системах триангуляційних пунктів. Таких випадків треба уникати, бо нев'язка в полігоні тут може вийти за припустимі границі тільки в результаті похибок опорних даних.

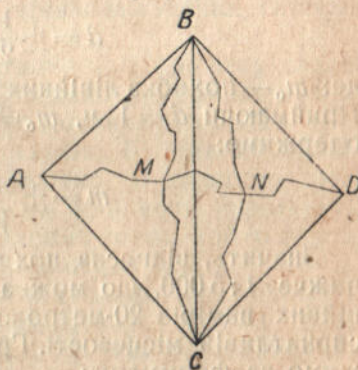


Рис. 16

При складанні проекту теодолітних ходів нема потреби прагнути до утворення обов'язково одиничних ходів, бо при надмірно довгому ході буде недосить надійна середня частина, а при короткому ході матимуть вплив дані опорних пунктів. Створювати велику кількість вузлових точок також недоцільно (максимально 4—5 вузлових точок). Найзручніше утворити одну вузлову точку (рис. 15), або дві (рис. 16).

<sup>1</sup> И. Е. Шагунов, — К вопросу о специальном методе крупно-масштабных съемочных работ для целей землеустройства, „Социалистическое землеустройство“, № 14, 1935 г.

Останнє особливо потрібно, коли вузлові точки  $M$  і  $N$  в силу місцевих умов взято порівняно близько до спільної сторони триангуляції  $BC$ .

Ще раз відмічаємо, що треба прагнути до утворення прямолінійних теодолітних ходів між триангуляційними пунктами, або

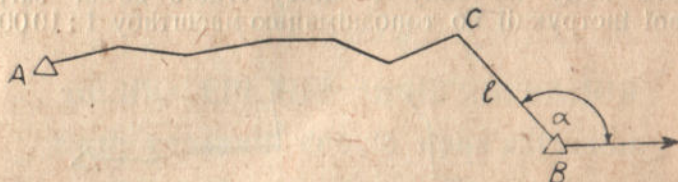


Рис. 17

вузловими точками, аж до того, що коли в теодолітному ході  $AB$  (рис. 17) в точці  $C$  значний вигин, то треба точно виміряти кут  $\alpha$  і довжину  $l$  та обчислити координати точки  $C$

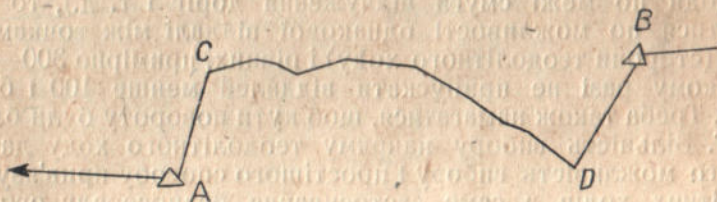


Рис. 18

і пов'язувати хід між точками  $A$  і  $C$ , як витягнутий. Аналогічно треба розв'язувати задачу і в разі двох вигинів (рис. 18).

Випадок розміщення теодолітного ходу, зображений на рисунку 19, на якому показано плавну зміну напрямів ліній полі-



Рис. 19

гона цілком припустимий. Випадок же даний на рисунку 20, де в полігоні лінії проходять під прямим кутом, є найнесприятливим.

Величина нев'язки в периметрі в теодолітному ході визначеної довжини, прокладеному між двома твердими точками, буде тим менша, чим ближче буде полігон укладатися по обидві сторони лінії, яка сполучає тверді точки незалежно від того, чи буде



полігон плавно закруглений, чи буде складатися з прямолінійних ділянок<sup>1</sup>.

В тому разі, якщо зараз же після закріплення земель за колгоспами на вічне користування повинно бути проведено топографічне мензульне знімання масштабу 1:10 000, то при рекогносціюванні треба встановити місця закріплення певних точок теодолітного ходу по типу V класу згідно вимог загальнообов'язкової інструкції по топозніманню масштабу 1:10 000.



Рис. 20

Якщо є можливість вибрати місце розташування точок повороту теодолітних ходів (видаєк магістральних ходів, теодолітні ходи по межі смуги відчуження доріг і т. д.), то треба добиватися по можливості однакової віддалі між точками повороту (сторони теодолітного ходу) і рівних, примірно 300—500 м і в усякому разі не припускати віддаєй менше 100 і більше 1000 м. Треба також намагатися, щоб кути повороту були близькі до 180°. Вільність вибору напрямку теодолітного ходу дає здебільшого можливість вибору і простішого способу прив'язування теодолітних ходів, а саме, застосування безпосереднього прив'язування.

При складанні проекту теодолітних ходів в порядку геодезичного обґрунтування топографічного знімання, завдання полягає не тільки в визначенні найвигіднішого положення та форми ходу, а й в найкращому забезпеченні цим ходом наступних знімальних робіт. Зміст проектування та рекогносцировки таких теодолітних ходів (полігонометрія V та VI класу) викладено в інструкції по геодезичному обґрунтуванню та проведенню топографічного знімання в масштабі 1:10 000.

<sup>1</sup> Проф. Чеботарев, — Зависимость точности полигона от его формы, „Геодезист“, № 11, 1935 г.

Стор.	Рядок	Надруковано	Треба читати	З чиеї вини
31	8 зверху	А і Б	α і β	Автора

РОЗДІЛ II

БЕЗПОСЕРЕДНЄ ПРИВ'ЯЗУВАННЯ

Безпосередній спосіб прив'язування

Безпосередній спосіб прив'язування полягає у включенні будь-якого триангуляційного пункту безпосередньо в теодолітний хід (рис. 21).

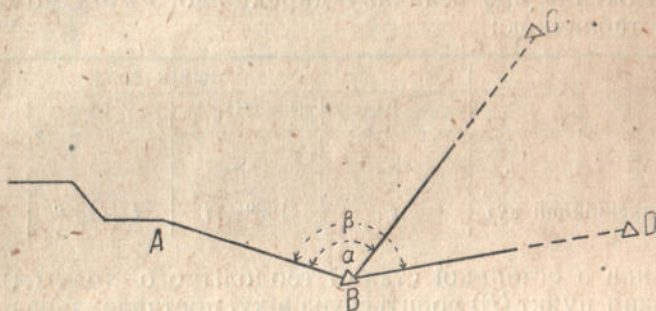


Рис. 21

В цьому разі на триангуляційному пункті вимірюється два прилеглих кути  $A$  і  $B$  або у крайньому разі один прилеглий кут, але з вимірюванням додаткового до нього кута до  $360^\circ$ .

Обчислення по вихідних координатах дирекційного кута і довжини лінії робиться за такими формулами і схемами<sup>1</sup>:

$$\operatorname{tg} t = \frac{y_b - y_a}{x_b - x_a} \quad \text{і} \quad S = \frac{y_b - y_a}{\sin t} = \frac{x_b - x_a}{\cos t}$$

№№ п/п	Назва пунктів	Віха № 1 і № 17	№№ п/п	Назва пунктів	Віха № 1 і № 17
1	$y_b$	- 1047,30	8	$x_b - x_a$	+ 201,43
3	$y_a$	- 916,10	4	$x_b$	- 615,94
5	$y_b - y_a$	- 131,20	2	$x_a$	- 817,37
6	$- \operatorname{lg} (y_b - y_a)$	2,11793 $n$	7	$\operatorname{lg} (y_b - y_a)$	2,11793 $n$
13	$\operatorname{lg} \sin f$	9,73700	10	$- \operatorname{lg} (x_b - x_a)$	7,69587
15	$\operatorname{lg} S$	2,38093	11	$\operatorname{lg} \operatorname{tg} t$	9,81380 $n$
14	$\operatorname{lg} \cos f$	3,92321 $n$	12	$t$	326°55',4
9	$- \operatorname{lg} (x_b - x_a)$	2,30413			

<sup>1</sup> Приклад з „Справочника техника землеустроителя“.

Ці обчислення контролюються за формулою:

$$\operatorname{tg}(45^\circ + t) = \frac{\Delta x + \Delta y}{\Delta x - \Delta y}$$

Проведені обчислення можна зробити на арифмометрі, розмістивши їх в таку схему<sup>1</sup>.

№№ точок	$y_b$ $x_b$ $S^2 = \Delta y^2 + \Delta x^2$	$y_a$ $x_a$ $S$	$\Delta y$ $\Delta x$ $\operatorname{tg} t$	$\Delta x + \Delta y$ $\Delta x - \Delta y$ $\operatorname{tg}(45^\circ + t)$	$t$ $45^\circ + t$
Віха № 27 :	— 455,10	— 414,39	— 40,71	+ 16,96	324°47'
Віха № 1 .	+ 1813,94	+ 1756,27	+ 57,67	+ 98,38	
	4983,1330	70,59	— 0,70591	+ 0,17239	9°47'

Для судження про величину дирекційного кута можна користуватися табличкою:

	Чверть кола			
	I	II	III	IV
$y_b - y_a$ . . . . .	+	+	—	—
$x_b - x_a$ . . . . .	+	—	—	+
Шуканий дирекційний кут	$t$	$180^\circ - t$	$t + 180^\circ$	$360^\circ - t$

Візування з останньої станції теодолітного ходу (A) на триангуляційний пункт (B) робиться на віху, поставлену над центром триангуляційного пункту, а не на візирний циліндр триангуляційного знаку. Теодоліт при прив'язуванні ставиться над центром триангуляційного пункту (B) і візування на сусідні триангуляційні пункти (C і D) виконується на візирні циліндри.

### Прив'язування до складної віхи

При прив'язуванні до складної віхи, на розбирання і складання якої потрібно багато часу, інструмент встановлюється поблизу віхи (на віддалі не більше 0,5 м) і вимірюються елементи центрування, а потім виправляється вимірний кут за позацентрове положення. Елементи центрування:  $r$  — віддаль між центром інструменту і центром віхи (вимірюється з точністю до 0,01 м),  $\theta_1$  і  $\theta_2$  — кути між напрямками з центру інструменту на центр віхи і з центру інструменту на пункт візування (рис. 22).

Кут  $\theta_1$ , відлічується від напрямку на віху до напрямку на межовий стовп (по ходу годинникової стрілки). Кут  $\theta_2$  відлічується від напрямку на віху до напрямку на триангуляційний пункт.

<sup>1</sup> Приклад з роботи Загорученка, — Землевпорядке проектування з допомогою арифмометра.

Вимірюємо кут  $A$  між напрямками на межовий стовп і триангуляційний пункт. Обчислюємо кути  $a$  і  $b$ , зазначені на рисунку за формулами:

$$a = 3438 \frac{r}{d} \sin \theta_1, \quad b = 3438 \frac{r}{D} \sin \theta_2;$$

де:  $d$  — віддаль між віхою і межовим стовпом (у метрах),  $D$  — віддаль між віхою і суміжним триангуляційним пунктом (обчислюється за координатами). Величини  $a$  і  $b$  одержуються у мінутах.

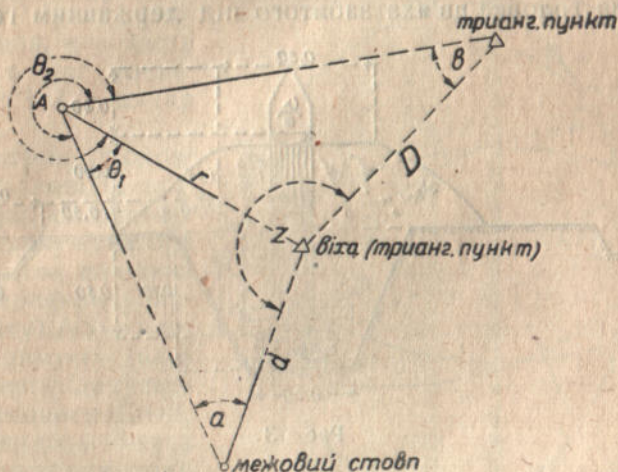


Рис. 22

Потім обчислюється кут при центрі віхи (кут  $z$ ) за формулою:

$$z = A + (b - a)^1.$$

### Азимутні пункти

При безпосередньому прив'язуванні до триангуляційного пункту (не нижче IV класу), з якого немає видимості на інші триангуляційні пункти, треба по наявному опису триангуляційного пункту (кроках) знайти ті місцеві предмети, або азимутні пункти, на які були взяті напрямки. Такими місцевими предметами могли бути: заводські труби, силосні башти, шпили високих будівель, млини і т. д., якщо ж таких предметів немає, то при спостереженнях у триангуляції повинні бути взяті і напрямки на легко відшукувані на місцевості особливі азимутні пункти, що знаходяться на віддалі 300—500 м від триангуляційного

<sup>1</sup> Контроль обчислення кута при центрі віхи може бути зроблений по спеціальній пропорційній номограмі (Горский — Применение номографии в маркшейдерском деле).

пункту. Правда, треба мати на увазі, що вимога брати напрями на місцеві предмети, або азимутні пункти у процесі проведення спостережень у триангуляції не нижче IV класу, виконувалася повністю тільки з 1933 р., а в раніше виконаних триангуляціях цієї вимоги не додержували.

По зовнішньому вигляду (рис. 23) азимутний пункт являє собою дерев'яний стовп завдовжки 1,5 м, верхня частина стовпа обтесана, при чому площина затесання повернена в бік пункту, з якого дається дирекційний кут. Під стовпом закладається центр по типу V класу. Точкою наведення при визначенні напрямку була головка цв'яха забитого під державним гербом, що

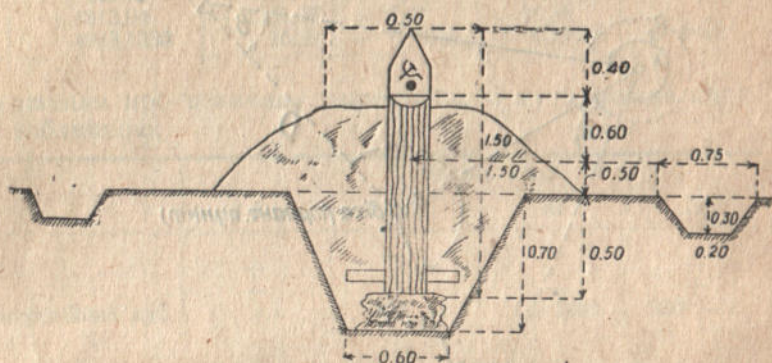


Рис. 23

випікається на обтесаному місці, при чому ця головка цв'яха знаходиться в одній вертикальній площині під центром. Азимутні стовпи обкопуються кільцевою (коловою) канавою, кінець у формі зрізаного конуса повинен бути укріплений дерном, камінням, або іншим підручним матеріалом.

## Визначення справжнього азимута

При прив'язуванні теодолітних ходів до одного тригонометричного пункту, з якого немає видимості на інші тригонометричні пункти, визначають справжній азимут одної з сторін теодолітного ходу або напрямку на будь-який місцевий предмет, видимий з триангуляційного пункту. Це визначення азимута провадиться з вимірювання зенітних віддалей сонця коло першого вертикала<sup>1</sup>.

<sup>1</sup> Наведений спосіб визначення справжнього азимута не єдиний. Можуть бути також застосовані способи проф. Красовського (проф. Горячов, — Таблицы азимутів полярної), його ж, але з полегшеними обчислювальними операціями запропонованими Виноградовим („Геодезист“, № 7, 1927 р.), спосіб Уарда (Маркшейдерские известия, вип. 1926 р.), спосіб Савіна („Геодезист“, № 7, 1931 р.) і ряд інших, при чому найвичерпніший опис азимутальних визначень дано

Вимірювання виконуються двома повними прийомами теодолітом з горизонтальним і вертикальним колами, що дають відліки до 1 хвилини.

Щоб уявити спосіб визначення справжнього азимута по сонцю припустимо, що центр небесної сфери збігається з пунктом спостереження і радіус небесної сфери безконечно великий порівняно з радіусом землі. Продовжимо вісь землі до перетину з небесною сферою, одержимо полюси світу:  $P$ —північний,  $P_1$ —південний, також продовжимо прямовисну лінію пункту спостереження, яка дасть на сфері дві точки:  $Z$ —зеніт і  $Z_1$ —надир (рис. 24).

Аналогічно продовжуючи відповідні площини землі одержимо:  $QQ_1$  площину екватора (велике коло, площина якого перпендикулярна осі світу),  $NS$ —площину горизонту (площина, перпендикулярна до прямовисної лінії, що проходить через точку спостереження),  $PZSP_1QN$ —площину меридіана (збігається з площиною рисунка).

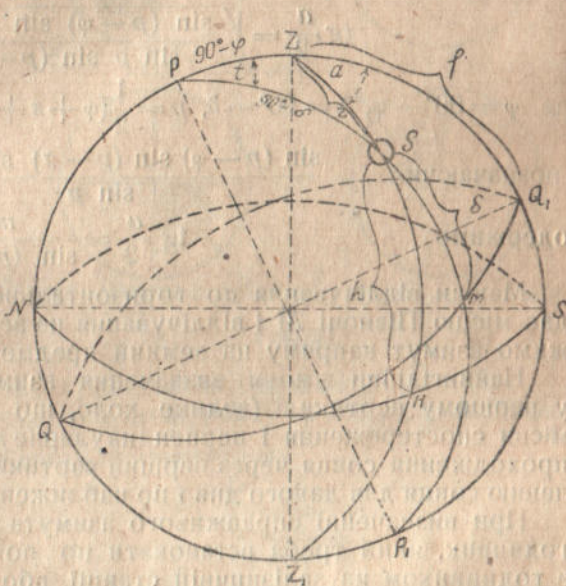


Рис. 24

Велике коло  $PSMP_1$  зветься колом схилення або годинним колом (велике коло, що проходить через вісь світу) дуга  $MS$ , що відлічується від екватора до світила зветься схиленням світила  $S$ , а дуга  $PS$  від полюса до світила зветься полярною віддаллю  $\Delta = 90^\circ - \delta$ .

Велике коло  $ZSHZ_1$  зветься колом висот, або вертикалом (велике коло, що проходить через прямовисну лінію). Дуга  $SH$  від площини горизонту до світила зветься висотою світила ( $h$ ), а дуга  $ZS$  від зеніту до світила ( $z$ ) зветься зенітною віддаллю (додаток висоти до  $90^\circ$ ).

Двогранний кут  $Q_1ZS$  (між площиною меридіана і кола висот)— $a$  зветься азимуту світила. Двогранний кут  $ZPS$ — $t$

у книзі Цветкова, — Курс практической астрономии, 1934 р., а потрібне попереднє ознайомлення з астрономічною термінологією і застосовуваними в астрономії системами координат у книзі Цветкова, — Курс сферической астрономии, 1931 р. Можна також користуватися для вивчення азимутальних визначень посібником Покровського, — Курс практической астрономии, 1932 р. і Зімовнова, — Определение истинного азимута, 1930 р.

зветься годинним кутом світила. Азимут світила вважається від південної частини меридіана до кола висот від 0 до 360°, а годинний кут світила від меридіана до кола схилення даного світила. Сферичний трикутник *PZS* зветься паралактичним. Визначення азимута земного предмета з спостережень небесних світил зводиться до знаходження азимута цих світил.

По вимірній зенітній віддалі сонця, азимут з паралактичного трикутника визначиться за формулою:

$$\operatorname{tg} \frac{a}{2} = \sqrt{\frac{\sin(p - \varphi) \sin(p - z)}{\sin p \sin(p - \Delta)}}$$

де  $\varphi = 90^\circ - \varphi$ ,  $\Delta = 90^\circ - \delta$ ,  $p = \frac{1}{2}(\varphi + z + \Delta)$ ;

позначаючи 
$$\frac{\sin(p - \varphi) \sin(p - z) \sin(p - \Delta)}{\sin p} = m^2$$

одержимо 
$$\operatorname{tg} \frac{a}{2} = \frac{m}{\sin(p - \Delta)}$$

Маючи відлічування по горизонтальному колу, що відповідає місцю Півночі *M* і відлічування на земний предмет *N*, одержимо азимут напрямку на земний предмет:  $A = N - M$ .

Найвигідніші умови визначення азимута по сонцю будуть у першому вертикалі (велике коло, що проходить через зеніт місця спостереження і перпендикулярне меридіану). Цей момент проходження сонця через перший вертикал обчислюється по схиленню сонця для даного дня і по наближеній широті взятій з карти.

При визначенні справжнього азимута по сонцю, треба мати годинник, який треба встановити по поясному часу, звівшись з годинником на залізничній станції, або в місцевому поштово-телеграфному відділку. Якщо, наприклад, годинник спостережувача встановлений по московському часу (другий пояс світового часу) і географічні координати пункту спостереження (взяті з 3-верстової карти з точністю не менше  $\frac{1'}{2}$  будуть:  $\varphi = 58^\circ 12' 4$ ,

$l = 30^\circ 43' 3 = 2^h 02^m 50^s$ , то за таблицею 3 наближено визначаємо схилення сонця для даного дня — 23 липня, одержимо  $+20^\circ 12'$  і потім за таблицею 1 знаходимо годинний кут сонця  $t_0 = 5^h 06^m$ , значить наближено моменти проходження будуть о 7<sup>h</sup> ранку і 17<sup>h</sup> вечора. Місцевий час залежно від довготи пункту спостереження може відрізнятись на  $\pm 30^m$ , але для даного способу ця похибка шкоди не становить.

Порядок спостереження азимута такий:

1. При колі ліво візують на земний предмет і беруть відлічування по горизонтальному колу.

2. Візують на сонце, беруть відлічування по годиннику, горизонтальному і вертикальному колу.

3. При колі право візують на сонце, беруть відлічування по годиннику, по горизонтальному й вертикальному колу.



4. Візують на земний предмет і беруть відлічування по горизонтальному колу.

5. Такий же повний прийом (К. П. і К. Л.) повторюють вдруге.

Перед спостереженням старанно перевіряється інструмент, особливо горизонтальність осі обертання труби і зводиться до мінімуму колимаційна похибка.

Наведення ниток на сонце робиться так, як показано на рисунку 25, тоді середнє з відлікувань горизонтального й вертикального кол відповідатиме положенню сонця в середній момент по годиннику спостерігача.

Рівень вертикального кола при спостереженні сонця треба точно привести на середину.

Спостереження записуються до журналу за поданою формою:

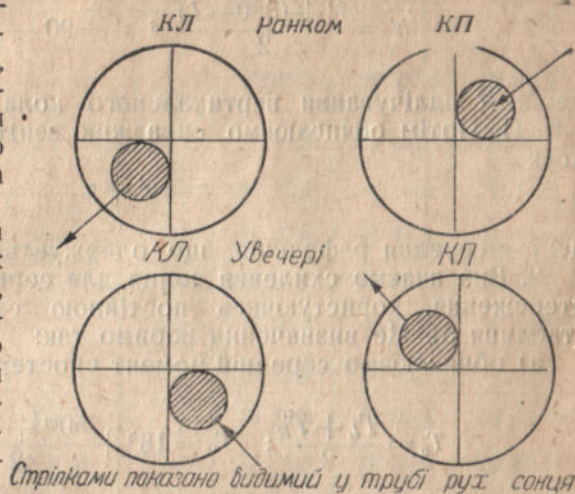


Рис. 25

### Журнал спостереження

Інструмент .....

Дата спостереження:

23 липня 1931 р.

Точка спостереження:

Триангуляційний пункт — Шимськ .....

Стан погоди:

Ясно, тихо,

Спостерігач .....

Назва спостережуваних предметів	Положення вертикального кола	Моменти спостереження сонця по годиннику	Відлічування горизонтального кола	Відлічування вертикального кола	Примітка
№ 25	К. Л.	18 <sup>h</sup> 50 <sup>m</sup>	0°04'00" 00" 06"	341°37'30" 30"	Годинник поставлено по московському часу, що йде на 3 години вперед від гринвічського часу
№ 25		54 <sup>m</sup>	236°46'30" 15" 00"	18°27'30" 30"	
	К. П.		56°52'30" 30" 30"	18°27'30" 30" 30"	
			15°04'30" 30" 30"		
		$T_0 = 18^h 52^m$ $P = 3^h 00^m$	$M = 236^{\circ}49' 22''$ $N = 0^{\circ}04' 15''$	$h' = 18^{\circ}25' 00''$ $z' = 71^{\circ}35' 00''$ $p = +2' 00''$ $z = 71^{\circ}57' 53''$	
		$T_{гр} = 15^h 52^m$			

Порядок обчислення азимута такий:

1. Визначаємо видиму зенітну віддаль сонця за формулою:

$$h' = \frac{R + (360 - L)}{2} \quad \text{і} \quad z' = 90 - h'$$

де:  $L$  і  $R$  відлічування вертикального кола, відповідно до К. Л. і К. П. Потім обчислюємо справжню зенітну віддаль за формулою:

$$z = z' + \rho$$

де:  $\rho$  — середня рефракція, що одержується з таблиці 2.

2. Визначаємо схилення сонця для середнього моменту спостереження, користуючись постійною сонячною ефемеридою (таблиця 3). Це визначення робимо так:

а) обчислюємо середній момент спостереження за формулою:

$$T_0 = \frac{T_L + T_R}{2}; \quad T_0 = 18^h + \frac{50^m + 54^m}{2} = 18^h 52^m;$$

б) обчислюємо цей момент спостереження в середньому гринвічському часі  $T_{гр.} = T_0 - P$ , де  $P$  — номер пояса міжнародного числення часу (в нашому випадку  $P = 3$  годинам, бо московський час переведено на одну годину вперед), тобто

$$T_{гр.} = 18^h 52^m - 3^h 00^m = 15^h 52^m;$$

в) обчислюємо цей момент спостереження від середнього гринвічського півдня, для якого складено постійні ефемериди (таблиця 3)  $T_{гр.} = T_{гр.} - 12^h 00^m$ ,

$$\text{тобто } T_{гр.} = 15^h 52^m - 12^h 00^m = 3^h,87 = 0,161 \text{ дня};$$

г) виписуємо величини схилень з ефемерид для даного і наступного дня:

$$23 \text{ липня } \delta_0 = 20^{\circ}12',0 \quad \text{для гринвічського}$$

$$24 \text{ липня } \delta^0 = 19^{\circ}59',8 \quad \text{півдня}$$

$$\text{різниця } \Delta\delta_0 = -12',2;$$

д) обчислюємо коефіцієнт інтерполяції на даний момент:

$Y = T_{гр.} + K$ , де  $K$  поправка за початок року (береться з таблиці 3),  $Y = 0,161 + (-0,149) = +0,012$ ;

е) простою інтерполяцією знаходимо схилення для даного моменту:  $\delta_0 = \delta_{23} + \Delta\delta_v$  або підставляючи числові значення матимемо:  $\delta_0 = 20^{\circ}12',0 - 12',0 \cdot 0,012 = 20^{\circ}11',86'' = 20^{\circ}11',52''$ .

3. Обчислюємо середні відліки горизонтального кола при спостереженні Сонця ( $M$ ) і земного предмета  $N$ .

4. Дальші обчислення вміщуємо у схемі, в якій зазначено порядок дій.

№№ п/п.	№№ прийомів Формула	I	II	III
5	$p = \frac{\Delta + z + \psi}{2}$ . . . . .	85°17',4	85°57',0	85°30',8
3	$\Delta = 90 - \delta$ . . . . .	69 48,0	69 48,1	69 48,2
1	$z$ . . . . .	68 59,2	70 18,3	71 37,9
2	$\psi = 90 - \varphi$ . . . . .	31 47,6	31 47,6	31 47,6
4	$2p = \Delta + z + \psi$ . . . . .	170 34,8	171 54,0	173 13,7
6	$p - \Delta$ . . . . .	15 29,4	16 08,9	16 48,6
7	$p - z$ . . . . .	16 18,2	15 38,7	14 58,9
8	$p - \psi$ . . . . .	53 29,8	54 09,4	54 49,2
9	$P = (p - \Delta) + (p - z) + (p - \psi)$ . . . . .	85 17,4	85 57,0	86 36,7
15	$lg m = \frac{10 + 11 + 12 + 13}{2}$ . . . . .	9,39077	9,39271	9,39342
10	$lg \sin (p - \Delta)$ . . . . .	9,42662	9,44467	9,46120
11	$lg \sin (p - z)$ . . . . .	9,44228	9,43084	9,41247
12	$lg \sin (p - \psi)$ . . . . .	9,90517	9,90882	9,91241
13	$lg \csc p$ . . . . .	0,00147	0,00109	0,00076
14	$2 lg m = 10 + 11 + 12 + 13$ . . . . .	8,78154	8,78542	8,78684
16	$lg \operatorname{tg} \frac{a}{2} = lg m - lg \sin (p - \Delta)$ . . . . .	9,96415	9,94804	9,93222
17	$\frac{a}{2}$ . . . . .	42°38',3	41°34',8	40°32',8
18	$M$ . . . . .	292 37,5	354 44,2	236 49,4
19	$a$ . . . . .	85 16,6	83 09,6	81 05,6
20	$M_0 = M + a$ . . . . .	17 54,1	77 53,8	317 55,0
21	$N$ . . . . .	60 03,5	120 04,5	0 04,2
22	$A = N - M_0$ . . . . .	42 09,4	42 10,7	42 09,2

Середнє . . . . . 42°09',8

Допоміжні таблиці для визначення справжнього азимута по Сонцю  
Годинні кути в першому вертикалі

$\delta \backslash \varphi$	+ 50°	+ 52°	+ 54°	+ 56°	+ 58°
0°	6 <sup>h</sup> 00 <sup>m</sup>	6 <sup>h</sup> 00 <sup>m</sup>	6 <sup>h</sup> 00 <sup>m</sup>	6 <sup>h</sup> 00 <sup>m</sup>	6 <sup>h</sup> 00 <sup>m</sup>
1°	5 55	5 57	5 57	5 57	5 57
2°	53	54	54	55	55
3°	50	51	51	52	52
4°	47	47	48	49	50
5°	43	44	45	46	47
6°	40	41	42	44	45
7°	36	38	40	41	42
8°	33	35	37	38	40
9°	29	32	34	35	37
10°	26	28	31	33	35
11°	22	25	28	30	32
12°	19	22	24	27	29
13°	15	18	21	24	27
14°	12	15	18	21	24
15°	8	12	15	18	21
16°	4	8	12	15	19
17°	1	5	9	12	16
18°	4 57	1	5	9	13
19°	53	4 58	2	6	10
20°	49	54	4 59	3	7
21°	45	50	55	4 00	4
22°	41	46	52	5 57	2
23°	37	43	48	53	4 58
24°	32	39	45	50	55
25°	28	35	41	47	52
26°	23	30	37	43	49
27°	19	26	33	40	46
28°	14	22	29	36	42
29°	9	18	25	32	39
30°	4	13	21	28	35
31°	3 59	8	17	24	32
32°	54	3	12	20	28
33°	48	3 58	8	16	24
34°	42	53	3	12	20
35°	36	48	3 58	8	16
36°	30	42	53	3	12
37°	23	36	48	3 58	8
38°	16	30	42	53	3
39°	9	23	36	48	3 59
40°	1	16	30	42	54

Середня астрономічна рефракція для нормального тиску 760 мм  
і температури +10°C

Видима зенітна віддаль z'	Середня рефракція r'	Зміна на 10'	z'	r'	Зміна на 10'
10°	0'16"	0,2	57°00	30	9",6
11°	11	0,2	30	31	0",6
12°	12	0,2	58°00	33	0",6
13°	14	0,2	30	35	0",6
14°	15	0,2	59°00	37	0",6
15°	16	0,2	30	39	0",7
16°	17	0,2	60°00	41	0",7
17°	18	0,2	30	43	0",7
18°	19	0,2	61°00	45	0",7
19°	20	0,2	30	47	0",8
20°	21	0,2	62°00	49	0",8
21°	22	0,2	30	51	0",8
22°	24	0,2	63°00	54	0",9
23°	25	0,2	30	56	0",9
24°	26	0,2	64°00	59	0",9
25°	27	0,2	30	2'02"	0",9
26°	29	0,2	65°00	05	0",9
27°	30	0,2	30	07	1",0
28°	31	0,2	66°00	10	1",0
29°	32	0,2	30	13	1",0
30°	34	0,2	67°00	17	1",1
31°	35	0,2	30	20	1",1
32°	36	0",3	68°00	24	1",2
33°	38	0",3	30	27	1",2
34°	39	0",3	69°00	31	1",3
35°	41	0",3	30	35	1",4
36°	42	0",3	70°00	39	1",4
37°	44	0",3	30	44	1",5
38°	46	0",3	71°00	48	1",6
39°	47	0",3	30	53	1",8
40°	49	0",3	72°00	58	1",9
41°	51	0",3	30	3'03	1",9
42°	53	0",3	73°00	09"	2",0
43°	54	0",3	30	3'15	2",1
44°	56	0",3	74°00	21	2",1
45°	58	0",3	30	28	2",2
46°	1'00	0",4	75°00	35	2",3
47°	03	0",4	30	42	2",5
48°	05	0",4	76°00	3'50"	2",7
49°	07	0",4	30	59	3",0
50°00'	09	0",4	77°00	4'08	3",0
50°30'	11	0",4	30	18	4",0
51°00'	12	0",4	78°00	28	4",0
30	13	0",5	30	40	4",0
52°00'	15	0",5	79°00	52	5",0
30	16	0",5	30	5'06"	5",0
53°00'	17	0",5	80°00	20	5",0
30	19	0",5	30	35	6",0
54°00'	20	0",5	81°00	54	6",0
30	22	0",5	30	6'13"	7",0
55°00'	23	0",5	82°00	34	8",0
30	25	0",5	30	59	9",0
56°00'	26	0",5	83°00'	7'25"	10",0
30	28	0",6	30	56	11",0

Постійна сонячна ефемериди

Таблиця 3

День		Видиме схилення $\delta \odot$	День	Видиме схилення $\delta \odot$	День	Видиме схилення $\delta \odot$
Січень			12	13	Квітень	
Про- стий рік	Висо- косний рік		13	14	1	+4°20',0
			14	15	2	43,2
0	1	-23°07',6	15	16	3	+5°06',2
1	2	03,1	16	17	4	29,2
2	3	-22°58',1	17	18	5	52,1
3	4	57,7	18	19	6	+6°14',9
4	5	46,9	19	20	7	37,5
5	6	40,6	20	21	8	+7°00',1
6	7	33,8	21	22	9	22,5
7	8	26,6	22	23	10	44,9
8	9	18,9	23	24	11	+8°07',1
9	10	10,8	24	25	12	29,1
10	11	2,3	25	26	13	51,0
11	12	-21°53',3	26	27	14	+9°12',8
12	13	43,9	27	28	15	34,4
13	14	34,1	28	29	16	55,8
14	15	23,9	Березень		17	+10°17',1
15	16	13,3	1		18	38,2
16	17	2,2	2		19	59,2
17	18	-20°50',8	3		20	+11°19',9
18	19	38,9	4		21	40,5
19	20	26,7	5		22	+12°00',9
20	21	14,1	6		23	21,0
21	22	1,1	7		24	41,0
22	23	-19°47',7	8		25	+13°00',8
23	24	34,0	9		26	20,3
24	25	19,9	10		27	39,7
25	26	5,4	11		28	58,8
26	27	-18°50',6	12		29	+14°17',7
27	28	35,5	13		30	36,3
28	29	20,0	14		Травень	
29	30	4,2	15		1	+14°54',7
30	31	-17°48',1	16		2	+15°12',9
31	0	31,6	17		3	30,8
Лютий			18		4	48,4
0	1	31,6	19		5	+16°05',8
1	2	14,8	20		6	23,0
2	3	-16°57',8	21		7	39,8
3	4	40,4	22		8	56,4
4	5	22,7	23		9	+17°12',7
5	6	4,8	24		10	28,7
6	7	-15°46',6	25		11	44,5
7	8	28,1	26		12	59,9
8	9	9,3	27		13	+18°15',0
9	10	-14°50',3	28		14	29,8
10	11	31,0	29		15	44,3
11	12	11,5	30		16	58,5
			31		17	+19°12',4
					18	25,9

(продовження)

День	Видиме схилення $\delta_{\odot}$	День	Видиме схилення $\delta_{\odot}$	День	Видиме схилення $\delta_{\odot}$
19	39,1	7	39,3	26	36,9
20	52,0	8	32,9	27	16,0
21	+20°01',5	9	26,2	28	+9°55',1
22	16,7	10	11,0	29	33,8
23	28,6	11	11,4	30	12,4
24	40,1	12	3,5	31	+8°50',9
25	51,2	13	+21°55',2		
26	+21°02',0	14	46,5		Вересень
27	12,4	15	37,4	1	+8°29',3
28	22,5	16	28,0	2	07,5
29	32,2	17	18,2	3	+7°45',6
30	41,5	18	8,0	4	23,6
31	50,4	19	+20°57',5	5	01,4
		20	46,7	6	+6°39',2
Червень		21	35,5	7	16,8
1	+21°59',0	22	23,9	8	+5°54',3
2	+22°07',2	23	12,0	9	31,7
3	15,0	24	+19°59',8	10	09,1
4	22,4	25	47,2	11	+4°46',3
5	29,4	26	34,3	12	23,5
6	36,0	27	21,1	13	00,6
7	42,2	28	7,5	14	+3°37',6
8	48,1	29	+18°53',6	15	14,5
9	53,5	30	39,4	16	+2°51',4
10	58,5	31	25,0	17	28,3
11	+23°03',1			18	05,1
12	7,3	Серпень		19	+1°41',8
13	11,2	1	+18°10',2	20	18,6
14	14,6	2	+17°55',1	21	+0°55',2
15	17,5	3	39,7	22	31,9
16	20,1	4	24,0	23	08,5
17	22,3	5	8,1	24	-0°14',8
18	24,0	6	+16°51',8	25	38,2
19	25,4	7	35,3	26	-1°01',6
20	26,3	8	18,5	27	25,0
21	26,8	9	1,5	28	48,4
22	26,9	10	+15°44',2	29	-2°11',8
23	26,6	11	26,7	30	35,2
24	25,9	12	08,9		
25	24,8	13	+14°50',9		Жовтень
26	23,2	14	32,6	1	-2°58',5
27	21,3	15	14,1	2	-3°21',8
28	18,9	16	+13°55',4	3	45,1
29	16,1	17	36,4	4	-4°08',3
30	13,0	18	17,3	5	31,5
		19	+12°57',0	6	54,6
Липень		20	38,3	7	-5°17',7
1	+23°09',4	21	18,6	8	40,7
2	05,4	22	+11°58',6	9	-6°03',6
3	01,0	23	38,1	10	26,4
4	+22°56',1	24	18,1	11	49,2
5	50,9	25	+10°57',6	12	-7°11',8
6	45,3				

День	Видиме схилення $\delta_{\odot}$	День	Видиме схилення $\delta_{\odot}$	День	Видиме схилення $\delta_{\odot}$
13	34,4	8	25,5	4	10,6
14	56,9	9	42,4	5	18,6
15	-8°19',2	10	-17°00',1	6	26,3
16	41,4	11	17,0	7	33,5
17	-9°03',5	12	33,6	8	40,2
18	25,5	13	49,8	9	46,5
19	47,3	14	-18°05',8	10	52,4
20	-10°09',0	15	21,5	11	57,8
21	30,6	16	36,8	12	-23°02',8
22	52,0	17	51,8	13	07,3
23	-11°13',2	18	-19°06',4	14	11,3
24	34,2	19	20,8	15	14,9
25	55,1	20	34,7	16	18,0
26	-12°15',8	21	48,4	17	20,7
27	36,4	22	-20°01',6	18	22,9
28	56,7	23	14,5	19	24,6
29	-13°06',8	24	27,0	20	25,9
30	36,7	25	39,2	21	26,6
31	56,4	26	50,9	22	26,9
Листопад		27	-21°02',3	23	26,8
1	-14°15',9	28	13,3	24	26,1
2	35,2	29	23,9	25	25,0
3	54,2	30	34,0	26	23,5
4	-15°12',9	Грудень		27	20,4
5	31,5	1	-21°43',8	28	18,9
6	49,7	2	53,1	29	15,9
7	-16°07',7	3	-22°02',1	30	12,5
				31	08,5

Поправка  $K$  за початок року

Рік	$K$	Рік	$K$
1931	-0,149	1941	+0,429
32	+0,609	42	+0,187
33	+0,367	43	-0,055
34	+0,125	44	+0,703
35	-0,117	45	+0,461
36	+0,640	46	+0,218
37	+0,398	47	-0,024
38	+0,156	48	+0,734
39	-0,086	49	+0,492
40	+0,672	50	+0,250



## Зближення меридіанів

Якщо на триангуляційних пунктах, до яких прив'язані теодолітні ходи визначені і обчислені азимуту з астрономічних спостережень або дано географічні азимуту, то для одержання дирекційного кута треба обчислити зближення меридіанів за формулою (наближено):

$$\gamma = l \sin \varphi,$$

де:  $l$  — значення довготи точки, що відраховується від осьового меридіана,  $\varphi$  — широта точки. Довготу й широту точки (якщо вони не дані) можна брати безпосередньо з карти масштабу не менше 1:100 000. При наявності координат Гауса-Крюгера триангуляційного пункту, зближення меридіанів можна обчислити за доданою таблицею, попередньо визначивши ординату ( $y$ ) з точністю до 0,1 км.

$\frac{\varphi}{x}$	46°	47°	48°	49°	50°	51°	52°	53°
	у	у	у	у	у	у	у	у
у кілометрах	5 096	5 207	5 318	5 429	5 540	5 652	5 763	5 874
1	0,6	0,6	0,6	0,6	0,6	0,7	0,7	0,7
2	1,1	1,2	1,2	1,2	1,3	1,3	1,4	1,4
3	1,7	1,7	1,8	1,9	1,9	2,0	2,1	2,1
4	2,2	2,3	2,4	2,5	2,6	2,7	2,8	2,9
5	2,8	2,9	3,0	3,1	3,2	3,3	3,4	3,6
6	3,3	3,5	3,6	3,7	3,8	4,0	4,1	4,3
7	3,9	4,0	4,2	4,3	4,5	4,6	4,8	5,0
8	4,5	4,6	4,8	5,0	5,1	5,3	5,5	5,7
9	5,0	5,2	5,4	5,6	5,8	6,0	6,2	6,4
10	5,6	5,8	6,0	6,2	6,4	6,6	6,9	7,1
20	11,1	11,5	11,9	12,4	12,8	13,3	13,8	14,3
30	16,7	17,3	17,9	18,6	19,2	19,9	20,7	21,4
40	22,3	23,1	23,9	24,8	25,6	26,6	27,5	28,6
50	27,8	28,8	29,9	31,0	32,1	33,2	34,4	35,7
60	33,4	34,6	35,8	37,2	38,5	39,9	41,3	42,8
70	39,0	40,4	41,8	43,4	44,9	46,5	48,2	50,0
80	44,6	46,2	47,8	49,6	51,3	53,1	55,1	57,1
90	50,1	51,9	53,7	55,8	57,7	59,8	62,0	64,2
100	55,7	57,7	59,7	62,0	64,1	66,4	68,9	71,4

Для одержання дирекційного кута для всіх точок, що лежать на схід від осьового меридіана, зближення меридіанів віднімається від справжнього азимута і для всіх точок, що лежать на захід від осьового меридіана, зближення додається до справжнього азимута.

Наприклад, треба найти  $\gamma$  — зближення меридіанів для пункту, координати якого  $y = +198$  км і  $x = 5602$  км. Тоді визначаємо  $\gamma$  для найближчого меншого і більшого  $x$ .

$$x = 5\,540$$

$$100 \quad 64',1$$

$$90 \quad 57',7$$

$$8 \quad 5',1$$

$$\hline 198 \quad 128',9$$

$$x = 5\,652$$

$$66',4$$

$$59',8$$

$$5',3$$

$$\hline 131',5 \text{ (різниця} = + 4',6)$$

Для  $x = 5\,602$  визначаємо  $\gamma$  так:

$$\gamma = 128',9 + 4',6 \cdot \left( \frac{5\,602 - 5\,540}{5\,652 - 5\,540} \right) = 126',9 + 2,5 = 2^{\circ}09',4.$$

## Знесення координат

Безпосереднє прив'язування неможливе, або в усякому разі дуже важке, коли триангуляційним пунктом є місцевий предмет. В цьому разі попередньо робиться „знесення координат“ якщо воно не було зроблено у процесі триангуляційних робіт.

При виборі місця для знесення координат керуються такими міркуваннями:

- 1) зручністю прокладання до нього спеціального прив'язувального ходу;
- 2) можливістю видимості з нього на один з суміжних тригонометричних пунктів.

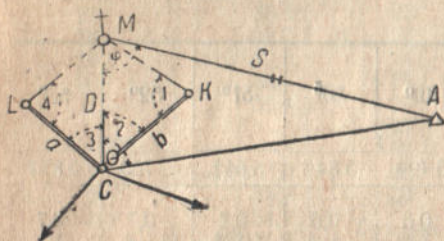


Рис. 26

Завдання знесення координат полягає у визначенні віддалі  $D$  і дирекційного кута  $CM$  між триангуляційним пунктом  $M$  і центром  $C$ , що зноситься для одержання даних і обчислення координат знесеного центра (рис. 26). Тому що безпосереднє вимірювання віддалі від знесеного центра до триангуляційного пункту звичайно неможливе, то ця віддаль визначається тригонометрично з двох баз  $a$  і  $b$ , що прокладаються так, щоб вони по можливості примикали безпосередньо до знесеного центра. Величина й розміщення баз повинні забезпечувати досить надійне визначення потрібної віддалі. Для цього кути засічок не повинні бути менші  $30^{\circ}$ , а значить, довжина бази повинна бути не менше половини визначуваної віддалі.

Вимірювання баз провадиться 20-метровою сталюю стрічкою або сталюю рулеткою двічі. Всі кути вимірюються однимінутним теодолітом повним прийомом при чотирьох повтореннях. Якщо об'єкт спостереження біля місцевого предмета великий, наприклад, шар під хрестом, труба заводу і т. д., то наведення робиться на край і обчислюється бісектриса кута. Віддаль від знесеного центра до місцевого предмета одержуємо два рази з розв'язання двох трикутників  $MKC$  і  $CLM$ , в яких відомі бази  $a$  і  $b$  і виміряні кути 1, 2, 3, 4. Розходження окремих результатів у довжині  $D$  не повинно перевищувати  $\pm 10$  см, за остаточний

результат приймається середнє. Потім з знесеного центра візуємо на якийсь тригонометричний пункт і вимірюємо кут  $\Theta$ , а маючи дирекційний кут  $(MA)$  можна обчислити дирекційний кут  $(CM)$  за формулою:

$$(CM) = \left[ (MA) \pm \frac{D \sin \Theta}{S \sin 1''} \right] - \Theta,$$

де:  $D$  — віддаль між знесеним центром і місцевим предметом;  
 $S$  — віддаль між місцевим предметом і видимим триангуляційним пунктом;

$\Theta$  — кут між напрямом на місцевий предмет і на тригонометричний пункт, вважаючи по ходу годинникової стрілки;

знак  $+$  при  $\Theta$  від  $0$  до  $180^\circ$  і знак  $-$  при  $\Theta$  від  $180^\circ$  до  $360^\circ$ .

Маючи дирекційний кут  $(CM)$ , визначаємо:  $(MC) = (CM) - 180^\circ$  і координати знесеного центра:

$$x_c = x_m + D \cos (MC) \text{ і } y_c = y_m + D \sin (MC)$$

Якщо ж з знесеного центра інших тригонометричних пунктів не видно, то визначають астрономічний азимут по сонцю якогось напрямом, а потім обчислюють дирекційний кут  $(CM)$ .

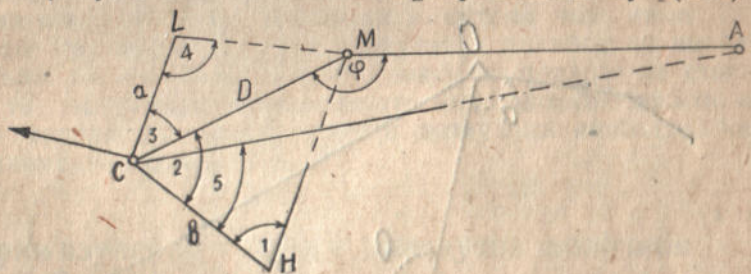


Рис. 27

Для того, щоб спростити і уточнити застосування способу „знесення координат“ дуже бажано, коли можливо, виміряти безпосередньо кут  $\varphi$  при точці  $M$ . Порядок обчислень  $y_c$  даному разі видно з рисунка 27.

Приклад на „знесення координат“.

Координати:

Точка  $M$  з координатами:  $x = +1925,412$ ,  $y = -2230,637$ ;

Точка  $A$  з координатами:  $x = 0$ ,  $y = 0$ ;

$\alpha = 131^\circ 11' 02''$ ;  $\lg S = 3,4814917$

$a = 43,403 \text{ м}$ ;  $b = 44,493 \text{ м}$ .

Виміряні кути:

1.  $50^\circ 20' 30''$
2.  $68^\circ 33' 55''$
3.  $56^\circ 22' 31''$
4.  $56^\circ 8' 56''$
5.  $4^\circ 51' 16''$

$lg a$  1,63752  
 $lg \sin 4$  9,92018  
*Cmpl*  $lg \sin (3+4)$  0,03499  
 $lg D$  1,59269  
 $D$  39,146

$lg b$  1,64829  
 $lg \sin 1$  9,88641  
*Cmpl*  $lg \sin (1+2)$  0,05779  
 $lg D$  1,59249  
 $D$  39,129

$D$  середнє = 39,138

$lg D$  середнє 1,59259  
 $lg \sin (2-5)$  9,95258  
*Cmpl*  $lg S$  6,51851  
 $lg \sin M$  8,06368  
 $M$  0°39'48"  
 $\varphi$  115°37'33"  
 $\alpha$  246°48'35"

$x_K + 1909,995$

$\Delta x$  -15,417  
 $lg \Delta x$  1,18735  $n$   
 $lg \cos \alpha$  9,59526  $n$   
 $lg D$  1,592 9  
 $lg \sin \alpha$  9,96341  $n$   
 $lg \Delta y$  1,55600  
 $\Delta y$  -35,975

$y_K - 2266,612$

### Допоміжні побудування

В тому разі, коли з якогось тригонометричного пункту, до якого прив'язується теодолітний хід не має видимості на інші тригонометричні пункти, то при наявності місцевих можливостей можна визначити таку допоміжну точку  $A$ , з якої видно даний пункт і якийсь суміжний триангуляційний пункт (рис. 28).

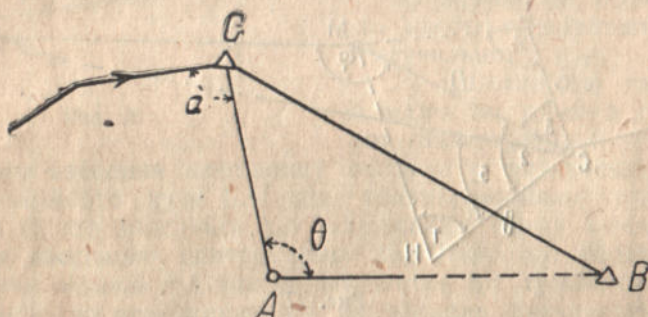


Рис. 28

Дана допоміжна точка замінить собою в такому разі тригонометричний пункт.

При віддалі допоміжної точки  $A$  від тригонометричного пункту на 300—500 м, треба для передавання дирекційного кута виміряти віддаль  $AC$  безпосередньо стрічкою і виміряти кути  $\theta$  і  $\alpha$ . Коли розв'язуючи трикутник  $ACD$  по двох сторонах (безпосередньо виміряної  $AC$  і одержаної з триангуляції  $CB$ ) і виміряному куту  $\theta$ , одержимо кут  $BCA$ , з допомогою якого дирекційний кут ( $CB$ ) з триангуляції передається до сторони, що прилягає до триангуляційного пункту.

Якщо ж допоміжна точка віддалена на велику віддаль (1—2 км), то передавання дирекційного кута провадять або визначенням астрономічного азимута, або розвитком невеликої сітки з базою, як показано на рисунку 29.

В тому разі, коли триангуляційний пункт, до якого прив'язується теодолітний хід має зовнішній знак у вигляді сигналу (простого або складного), піраміди з підмостям, подвійної піраміди і т. д., і якщо з землі немає видимості на триангуляційні пункти, то при прив'язуванні застосовують або зазначені вище способи, або встановивши інструмент на столику, попередньо встановлюють на віддалі 500 м простий дерев'яний стовп між двома триангуляційними пунктами так, щоб його було видно з центра триангуляційного пункту, або безпосередньо з столика передають дирекційний кут на прилеглу сторону теодолітного ходу.

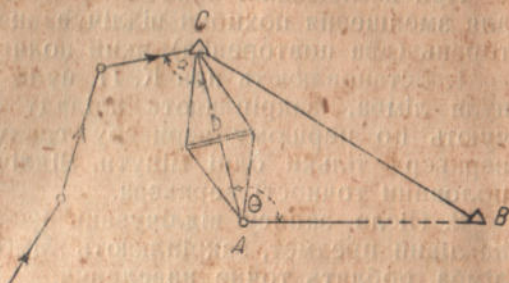


Рис. 29

При спостереженнях з сигналу центр знаку з допомогою теодоліта вивозиться на столик для інструменту, проектуючи напрям на центр у трьох площинах з кутами між ними  $120^\circ$ ; одержувані при цьому сторони трикутника похибок не повинні бути більше 10 мм. Якщо ж центр знаку не попадає на столик сигналу, то інструмент встановлюють над головою цв'яха забитого в середину столика, проте в цьому разі необхідно визначити елементи приведення.

При спостереженнях з сигналу центр знаку з допомогою теодоліта вивозиться на столик для інструменту, проектуючи напрям на центр у трьох площинах з кутами між ними  $120^\circ$ ; одержувані при цьому сторони трикутника похибок не повинні бути більше 10 мм. Якщо ж центр знаку не попадає на столик сигналу, то інструмент встановлюють над головою цв'яха забитого в середину столика, проте в цьому разі необхідно визначити елементи приведення.

## Прив'язування системи замкнутих полігонів

Система замкнутих полігонів може бути прив'язана до триангуляційної сітки через прокладання спеціальних прив'язних ходів (рис. 30) завдовжки

1—1,5 км. Цей прив'язний хід робиться два рази, припускаючи кутова нев'язка  $0,75\sqrt{n}$ , де  $n$  число кутів обох ходів, припускаючи відносна нев'язка в периметрі 1:2500 (від суми периметрів обох ходів), координати кінцевої точки прив'язного ходу обчислюються з висячого ходу і приймаються за тверді при пов'язуванні всієї системи полігонів.

Рис. 30

## Спосіб повторень

При вимірюванні прив'язних кутів одномінутним теодолітом для зменшення похибки відлічування, застосовують спосіб повторень (два повторення), який полягає в такому:

1. Встановлюють при К. П. нуль першого верньєра поблизу нуля лімба, закріплюють алідаду і відкріпивши лімб, відлічують по першому верньєру градуси і мінути, а по другому верньєру тільки одні мінути. Відлічування мінут, беруться до половини точності верньєра.

2. Після запису відлічувань наводять грубо лімбом трубу на лівий предмет, закріплюють лімб і мікрометровим гвинтом лімба, роблять точне наведення.

3. Відкріпивши алідаду, грубим рухом її по ходу годинникової стрілки, наводять трубу на правий предмет, закріплюють алідаду і мікрометровим гвинтом алідади роблять точне наведення. Проводять контрольне відлічування градусів і мінут по першому верньєру.

4. Після запису контрольного відлічування (у дужках) відкріплюють лімб і обертаючи його разом з алідадою проти ходу годинникової стрілки, наводять трубу грубо на лівий предмет, закріплюють лімб і мікрометровим гвинтом лімба роблять точне наведення.

5. Відкріплюють алідаду і обертають її вправо по ходу годинникової стрілки і наводять трубу на перший предмет, закріплюють алідаду і мікрометровим гвинтом алідади роблять точне наведення.

6. Проводять відлічування по першому верньєру — градуси і мінути, а по другому верньєру — тільки мінути. Відлічування беруть до половини точності верньєра. Обчислюють різницю між останнім і першим відлічуванням і ділять її на 2 (число повторень). Порівнюють одержаний кут з контрольним відлічуванням.

7. Повторюють вимірювання цього ж кута при другому положенні вертикального кола (К. Л.) в порядку аналогічному зазначеному, змінюючи тільки рух частин інструменту: алідади — вліво лімба вправо, контрольне відлічування при цьому не провадиться.

8. Результати вимірювань одного і того ж кута ( $n$ -кратного) при К. П. і К. Л. повинні розходитися не більше 1', у противному разі треба вимірювання кута повторити.

Вимірювання кута способом повторення записується в журнал (див. таблицю на стор. 51).

## Точність вимірювання кутів

При вимірюванні кутів одномінутним і 30-секундним теодолітом спосіб повторень має великі переваги перед способом прийомів, що звичайно застосовується в землевпорядчій практиці, в наслідок більшої точності вимірювання кутів і швидкості

Точка стояння	Точка спостереження	Відлічування			Середнє відлічуван- ня		Різниця		Кут		Середній кут	
		I верньєр		II вер- ньєр	0	/	0	/	0	/	0	/
		0	/	/								
	№ 214	0 61	02,0 34	02,5 (контрольне відлічуван- ня)	0	02,2			123	07,0	61	33,5
	№ 212	123	09,0	09,5	123	09,2						
	№ 214	196	49,0	49,0	196	49,0			123	07,8	61	33,9
	№ 212	73	41,0	41,5	73	41,2						

самого процесу вимірювань (при даному інструменті і обумовленій похибці вимірювання кута).

Так, середньоквадратична похибка вимірювання кутів способом прийомів визначається за такою формулою:

$$m_{\beta} = \pm \sqrt{\frac{1}{K} \left( m_v^2 + \frac{m_0^2}{2} \right)},$$

де:  $m_{\beta}$  — середньоквадратична похибка вимірювання кута;

$K$  — кількість повних прийомів;

$m_v$  — середньоквадратична похибка візування зоровою трубою теодоліта;

$m_0$  — середньоквадратична похибка відлічування по одному верньєру.

При вимірюванні кутів способом повторень середньоквадратична похибка вимірювання кута визначається за формулою:

$$m_{\beta} = \pm \sqrt{\frac{1}{n \cdot K} \left( m_v^2 + \frac{m_0^2}{2n} \right)},$$

де позначення лишені попередні і  $n$  — кількість повторень у кожному півприйомі.

Для розрахунку кількості потрібних прийомів і повторень приймають:

а) одномінутний теодоліт  $m_v = \pm 3''$ ,  $m_0 = \pm 30''$

б) тридцятисекундний теодоліт  $m_v = \pm 2''$ ,  $m_0 = \pm 15''$ ,

тобто  $m_v$  — визначається за формулою:  $m_v = \frac{60''}{V}$ <sup>1</sup>

де:  $V$  — збільшення зорової труби теодоліта, а  $m_0$  за формулою:

$m_0 = \frac{t}{2}$ , де  $t$  точність верньєра.

<sup>1</sup> 60'' похибка візування простим оком, справді вона, коливається в межах 0''—6''. Збільшення зорової труби приймається для одномінутних теодолітів — тахеометрів фабрики „Геодезія“ 19 X, для 30 секундних теодолітів заводу „Геофізика“ 23—25 X (див. Смирнов, — Исследование геодезических инструментов, 1932 р. стор. 10; Чеботарев, — Современная тахеометрия, Стаття в журналі „Геодезист“, 1926 р., № 3—4, стор. 46).

## Редукування довжин ліній

При обробці безпосередньо прив'язаного до двох триангуляційних пунктів теодолітного ходу, треба в довжини ліній теодолітного ходу вводити поправки за перехід на проекцію Гауса-Крюгера (редукування довжин ліній). Поправка вводится за формулою:

$$d = S + S \frac{y_m^2}{2R^2}$$

де:  $d$  — довжина лінії у проекції Гауса-Крюгера;

$S$  — виміряна довжина лінії;

$S \frac{y_m^2}{2R^2}$  поправка, що вибирається з таблиці, яка знаходиться нижче по аргументах  $S$  і  $y_m$  — ординати середньої точки сторони полігона, при чому  $y_m$  — визначається по рисунку ходу. Ця поправка вводиться тільки в тому разі, коли  $y_m > 120$  км, в разі короткого ходу досить як  $y_m$  брати величину середньоарифметичну з ординат кінцевих точок ходу.

Таблиця величин  $S \frac{y_m^2}{2R^2}$

$S$ (в м)	$y$ (в км)	120	140	160	180	200	220	240	260	280	300	320
50		0,01	0,01	0,02	0,02	0,02	0,03	0,04	0,04	0,05	0,06	0,06
100		0,02	0,02	0,03	0,04	0,05	0,06	0,07	0,08	0,10	0,11	0,13
200		0,04	0,05	0,06	0,08	0,10	0,12	0,14	0,17	0,19	0,22	0,25
300		0,05	0,07	0,09	0,12	0,15	0,18	0,21	0,25	0,29	0,34	0,38
400		0,07	0,10	0,13	0,16	0,20	0,24	0,28	0,33	0,39	0,44	0,50
500		0,09	0,12	0,16	0,20	0,25	0,30	0,35	0,42	0,48	0,55	0,63
600		0,11	0,14	0,19	0,24	0,29	0,36	0,43	0,50	0,58	0,67	0,76
700		0,12	0,17	0,22	0,28	0,34	0,42	0,50	0,58	0,68	0,78	0,88
800		0,14	0,19	0,25	0,32	0,39	0,48	0,57	0,67	0,77	0,89	1,01
900		0,16	0,22	0,28	0,36	0,44	0,54	0,64	0,75	0,87	1,00	1,14
1000		0,18	0,24	0,31	0,40	0,49	0,60	0,71	0,83	0,96	1,11	1,26



### РОЗДІЛ III

## ПОСЕРЕДНЄ ПРИВ'ЯЗУВАННЯ

Посереднє прив'язування до триангуляційної сітки застосовується або в разі дуже рідкої триангуляційної сітки, або у випадках, що полегшують прив'язування порівняно з безпосереднім способом прив'язування. Посереднє прив'язування теодолітних ходів до триангуляційної сітки полягає у включенні у триангуляційну сітку методом оберненої або прямої засічки окремих точок теодолітних ходів.

Включені таким чином точки теодолітних ходів у триангуляційну сітку вже і самі є триангуляційними пунктами. Це звичайно пункти IV або V класів. Віддаль пунктів IV класу від вихідних пунктів встановлюється 3—5 км, а пунктів V класу 2—3 км. Потреба згущення існуючої триангуляційної сітки пунктами IV або V класу диктується, як міркуваннями зручності прив'язування теодолітних ходів так і загальнообов'язковими інструктивними вимогами (трапеція масштабу 1:25 000 повинна бути забезпечена триангуляційними пунктами вище IV класу у кількості не менше 4).

Вимірювання кутів на нововстановлених пунктах повинно відповідати класу визначеного пункту. Так на пунктах IV класу середньоквадратична похибка вимірювання кутів повинна бути  $\pm 5''$  і значить вимірювання кутів треба робити  $30''$  теодолітом повним прийомом з чотирма повтореннями в кожному півприйомі. Коливання значень кутів в окремих півприйомах не повинні перевищувати  $12''$ , а при виникненні умов горизонту, відхилення суми середніх значень кутів не повинно перевищувати величини  $10'' \sqrt{n}$ , де  $n$  — число кутів.

Як пункти IV класу, бажано використання постійних предметів на місцевості з наступним виконанням „знесення координат на землю“ для забезпечення безпосереднього прив'язування. При відсутності постійних предметів місцевості, вибираються для пунктів IV класу місця на твердому ґрунті, поза дорогами, що забезпечують закріплення триангуляційного пункту на тривалий час.

При визначенні пунктів IV класу методом прямої засічки обов'язкове визначення не менше ніж з 3 пунктів вищих класів, при чому кут між двома напрямками повинен бути не менше  $30^\circ$  і кут між третім напрямком і одним з перших двох повинен бути не менше  $45^\circ$  і не більше  $135^\circ$ . Визначення пунктів IV класу методом оберненої засічки повинно бути проведено не менше, ніж з 4 пунктів, при чому кути між трьома напрямками також повинні задовольняти умовам, зазначеним вище для прямої засічки.

При розв'язанні оберненої засічки співвідношення віддалей від найвіддаленішого пункту до найближчого опорного пункту повинно бути не більше 5:2. Так само можливе визначення пунктів IV класу методом сполучених прямих і обернених засічок — комбінована засічка — або побудуванням замкнутого трикутника з кутом при пункті IV класу не менше як  $30^\circ$  і не більше  $120^\circ$ .

Після складання проекту теодолітних ходів виконуються рекогносціювання пунктів IV класу.

При рекогносціюванні ведеться рекогносціювальний журнал, стандартної форми (див. Інструкцію по триангуляції III класу).

Порядок закріплення пунктів IV і V класів на місцевість встановлено загальнообов'язковою інструкцією Держплану СРСР — „Інструкція про охорону геодезичних знаків“, виданою на розв'язок постанови РНК СРСР від 14 травня 1932 р. № 717.

Вимірювання кутів на пунктах V класу робиться або  $30''$  теодолітом повним прийомом при трьох повтореннях у кожному півприйомі, або одномінутним теодолітом двома повними прийомами при чотирьох повтореннях у кожному прийомі (середньоквадратична похибка вимірювання кута  $0',15$ ).

## Задача Потенота

Замість того, щоб прокладати спеціальний прив'язний хід до триангуляційного пункту від системи замкнутих теодолітних ходів застосовують прив'язування за задачею Потенота. Прив'язування за задачею Потенота можливе при наявності видимості з пункту прив'язуваного теодолітного ходу не менше 4 пунктів триангуляції (три потрібних для розв'язування і четвертий для контролю).

Для розв'язання задачі Потенота запропоновано кілька способів. Особливості цієї задачі є неможливість її розв'язання в разі розміщення визначуваного пункту по колу, що проходить через три дані пункти (розв'язання стає неозначеним). Такий випадок у практиці зустрінеться рідко, проте, коли визначувана точка буде розміщена не на самому колі, а близько до нього, розв'язання може бути таким неточним, що практично буде непридатним. Випадком, що добре забезпечує визначення буде взаємне розміщення вихідних і визначуваних точок, що

подані на рисунках 31 і 32, тобто коли визначуваний пункт лежить у середині трикутника, що має вихідні пункти, або поза ним, але проти одної з його вершин і між продовженими сторонами.

**Спосіб Ансермета.** Розв'язання задачі Потенота найшвидше робиться за поданими нижче формулами.

Дано точки  $A, B$  і  $C$  (рис. 33), потрібно визначити координати

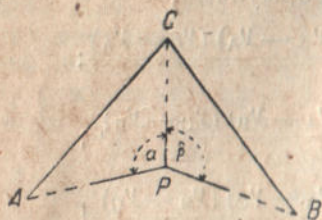


Рис. 31

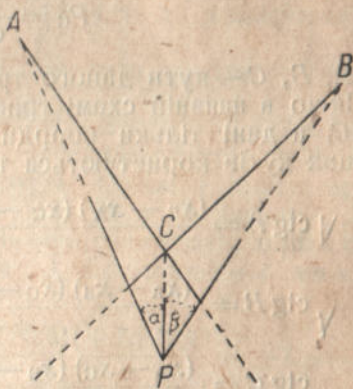


Рис. 32

шуканої точки  $D$  (точка теодолітного ходу). Кути навколо точки  $D$  —  $\alpha, \beta, \gamma$  вимірюються теодолітом.

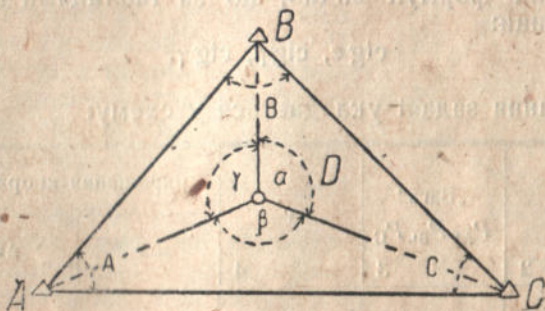


Рис. 33

Розв'язання робиться за формулами:

$$x_D = \frac{x_A P_A + x_B P_B + x_C P_C}{P_A + P_B + P_C};$$

$$y_D = \frac{y_A P_A + y_B P_B + y_C P_C}{P_A + P_B + P_C};$$

де:  $x_D$  і  $y_D$  — координати шуканої точки;

$x_A, y_A, x_B, y_B, x_C, y_C$  — координати даних пунктів.

Величини  $P$  визначаються за такими формулами:

$$P_A = \frac{1}{\operatorname{ctg} A - \operatorname{ctg} \alpha}; \quad P_B = \frac{1}{\operatorname{ctg} B - \operatorname{ctg} \beta};$$

$$P_C = \frac{1}{\operatorname{ctg} C - \operatorname{ctg} \gamma},$$

де:  $A, B, C$  — кути даного трикутника.

Якщо в наявній схемі триангуляції немає значення кутів  $A, B$  і  $C$ , а дані тільки координати пунктів, то для обчислення  $\operatorname{ctg}$  цих кутів користуються такими формулами:

$$\sqrt{\operatorname{ctg} A} = \frac{(x_B - x_A)(x_C - x_A) + (y_B - y_A)(y_C - y_A)}{\Delta};$$

$$\sqrt{\operatorname{ctg} B} = \frac{(x_A - x_B)(x_C - x_B) + (y_A - y_B)(y_C - y_B)}{\Delta};$$

$$\operatorname{ctg} C = \frac{(x_A - x_C)(x_B - x_C) + (y_A - y_C)(y_B - y_C)}{\Delta};$$

де  $\Delta$  — площа трикутника визначається за формулою:

$$\Delta = (y_C - y_A)(x_B - x_A) - (y_B - y_A)(x_C - x_A).$$

З наведених формул видно, що за таблицями вибираються тільки величини:

$$\operatorname{ctg} \alpha, \operatorname{ctg} \beta, \operatorname{ctg} \gamma.$$

Розв'язування задачі укладається у схему:

Назва вершин	$x$	„Вага“ $P_A, P_B, P_C$	$y$	Прирошення координат		Кути $\alpha, \beta, \gamma$	
				$\Delta x$	$\Delta y$	$^{\circ}$	'
1	2	3	4	5	6	7	8
A	6 167530,2	+ 0,773153	+ 30738,4	+ 7294,8	- 3780,5	130	20
B	6 168070,2	+ 0,902938	+ 39715,5	+ 540,0	+ 8977,1	109	30
C	6 160235,4	+ 0,879719	+ 34518,9	- 7834,8	- 5196,6	120	10
		+ 2,555810				360	00
D	6 165210,1		+ 35211,2		$\Delta = 6 7527619$		

Кути	$\operatorname{ctg}$	$\operatorname{ctg} A, \operatorname{ctg} \alpha$	$\operatorname{ctg} B, \operatorname{ctg} \beta$	$\operatorname{ctg} C, \operatorname{ctg} \gamma$
A, B, C . . . . .		+ 0,444 242	+ 0,753 487	+ 0,555 440
$\alpha, \beta, \gamma$ . . . . .		- 0,849,163	- 0,354 009	- 0,581 287
Різниці $\operatorname{ctg}$ . . . . .		+ 1,293 405	+ 1,107 496	+ 1,136 727

Порядок заповнення зазначеної схеми такий:

1. Заповнюють графі 1, 2, 4 і 7.  
 2. Обчислюють прирощення координат, утворюючи різницю координат по ходу годинникової стрілки:  $x_B - x_A = +540,0$ ,  $x_C - x_B = -7834,8$ ,  $x_A - x_C = +7294,8$  і т. д., записуючи їх у графі 5 і 6.

3. Обчислюють площу  $\Delta$  перемноженням навхрест лежачих прирощень, наприклад:

$$\Delta = (7294,8)(+8977,1) - (-3780,5) + 540,0) = 67\,527\,619,0.$$

4. Обчислюють безпосередньо на арифмометрі  $\text{ctg } A$ ,  $\text{ctg } B$  і  $\text{ctg } C$ . Для цього, наприклад, беруть перше і друге прирощення координат ( $\Delta x$ ) і перемножують їх з їх знаками, потім також перемножують ( $\Delta y$ ) і результати складають, ділять одержану суму на площу  $\Delta$  і результат з оберненим знаком записують у графі  $\text{ctg } A$ , тобто:

$$\text{ctg } A = \frac{(+7294,8)(+540,0) + (-3780,5)(+8977,1)}{67\,527\,619} = +0,444\,242.$$

Всі обчислення провадяться на арифмометрі без запису проміжних результатів, а списується з арифмометра тільки остаточний результат, при чому коли результат одержано у вигляді чорних цифр, то  $\text{ctg}$  позитивний, а якщо у вигляді червоних цифр, то негативний. Аналогічно по 2 і 3 прирощенню обчислюється  $\text{ctg } B$  і по 3 і 1  $\text{ctg } C$ .

5. Вписують з таблиць натуральних значень тригонометричних функцій значення  $\text{ctg } \alpha$ ,  $\text{ctg } \beta$  і  $\text{ctg } \gamma$ , утворюють різниці  $\text{ctg}$  і по них обчислюють на арифмометрі „ваги“, які записують у графі 3.

6. Утворивши суми „вагів“, обчислюють безпосередньо на арифмометрі координати шуканої точки.

**Спосіб Максимова.** Для безпосереднього обчислення задачі Потенота за координатами вихідних пунктів  $M$ ,  $A$ ,  $B$  і вимірних двох кутах  $\alpha$  і  $\beta$  не вводячи довжини сторін і їх напрямів, можна застосовувати таку систему формул (рис. 34).

1. Обчислення допоміжних величин:

$$v_1 = (x_a - x_m) \text{ctg } \alpha - (y_a - y_m)$$

$$v_2 = (x_b - x_m) \text{ctg } \beta + (y_b - y_m)$$

$$V_1 = (y_a - y_m) \text{ctg } \alpha + (x_a - x_m)$$

$$V_2 = (y_b - y_m) \text{ctg } \beta - (x_b - x_m)$$

$$\rho = \frac{V_1 v_2 - v_1 V_2}{(v_1 + v_2)^2 + (V_1 + V_2)^2}$$

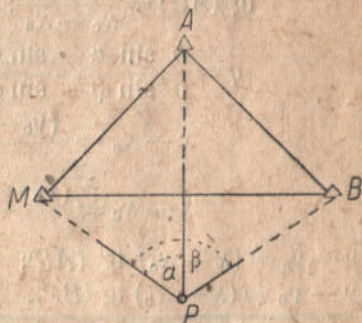


Рис. 34

2. Обчислення шуканих координат:

$$x_p = x_m + \rho (v_1 + v_2)$$

$$y_p = y + \rho (V_1 + V_2)$$

3. Контроль обчислень:

$$\operatorname{ctg} \alpha = \frac{(x - x_a)(x_p - x_m) + (y_p - y_a)(y_p - y_m)}{(x_p - x_a)(y_p - y_m) - (y_p - y_a)(x_p - x_m)}$$

$$\operatorname{ctg} \beta = \frac{(x_p - x_m)(x_p - x_b) + (y_p - y_m)(y_p - y_b)}{(x_p - x_m)(y_p - y_b) - (y_p - y_m)(x_p - x)}$$

**Спосіб Купчинова.** Для розв'язання задачі Потенота з допомогою арифмометра, можна застосувати ще й такі формули, (спосіб І. Купчинова<sup>1)</sup>, які зручні в наслідок: а) частого контролю обчислень, б) одержання у процесі розв'язання дирекційних кутів на вихідні триангуляційні пункти, що особливо вигідно для безпосереднього прив'язування.

Формули:

$$\operatorname{tg}(BC) = \frac{y_c - y_b}{x_c - x_b}; \quad a = \frac{y_c - y_b}{\sin(BC)} = \frac{x_c - x_b}{\cos(BC)}$$

$$\operatorname{tg}(AC) = \frac{y_c - y_a}{x_c - x_a}; \quad b = \frac{y_c - y_a}{\sin(AC)} = \frac{x_c - x_a}{\cos(AC)}$$

$$q = \frac{b \sin \alpha}{a \sin \beta} = \frac{\sin \varphi}{\sin \varphi}; \quad \operatorname{tg} \varphi = \frac{\sin(\varphi - \psi)}{q + \cos(\varphi + \psi)}$$

$$x - x_a = \frac{(y_b - y_a) - (x_b - x_a) \operatorname{tg}(BP)}{\operatorname{tg}(AP) - \operatorname{tg}(BP)} = \frac{A}{K}$$

$$x - x_b = \frac{(y_b - y_a) - (x_b - x_a) \operatorname{tg}(AP)}{\operatorname{tg}(AP) - \operatorname{tg}(BP)} = \frac{B}{K}$$

$$y - y_a = (x - x_a) \operatorname{tg}(AP);$$

$$x = x_a + (x - x_a) = x_b + (x - x_b);$$

$$y - y_b = (x - x_b) \operatorname{tg}(BP);$$

$$y = y_a + (y - y_a) = y_b + (y - y_b).$$

13	tg (BC)	- 12,4447	14	tg (AC)	+ 1,454163	1	$y_c$	: 0
16	sin (BC)	- 0,996787	19	sin (AC)	- 0,823972	3	$y_b$	+ 1536,65
17	cos (BC)	+ 0,080097	20	cos (AC)	- 0,566630	5	$y_a$	+ 1647,69
21	$a$	1541,60	22	$b$	1999,69	7	$y_c - y_b$	- 1536,65
15	(BC)	274°35'39"	-	-	-	8	$y_c - y_a$	- 1647,69
18	(AC)	235°29'04"	-	-	-	9	$y_b - y_a$	- 111,04

2	$x_c$	0
4	$x_b$	- 123,48
6	$x_a$	+ 1133,08
10	$x_c - x_b$	+ 123,48
11	$x_c - x_a$	- 1133,08
12	$x_b - x_a$	- 1256,00

23	$C$	39936'35"	28	$\sin \alpha$	0,974957	50	$A$ (різниця)	-	463,46
24	$\alpha$	77 09,01	29	$\sin \beta$	0,382137	48	$(x_b - x_a) \operatorname{tg} (BP)$	+	352,42
25	$\beta$	157 32 02	31	$m = b \sin \alpha$	1949,61	47	$(y_b - y_a)$	-	111,04
26	$\Sigma$	273 47 38	30	$n = a \sin \beta$	589,10	49	$(x_b - x_a) \operatorname{tg} (AP)$	-	1018,17
27	$360^\circ - \Sigma = \varphi + \psi$	86 12 22	33	$\sin (\varphi + \psi)$	0,997809	51	$B$ (різниця)	+	907,13
37	$\psi$	16 28 02	32	$q = \frac{m}{n}$	3,309473	52	$x - x_a$	-	424,90
39	$\varphi$	69 44 20	34	$\cos (\varphi + \psi)$	0,066163	54	$x_a$	+	1133,08
41	$(AP) = (AC) - \psi$	219 01 02	35	$q + \cos (\varphi + \psi)$	3,375635	56	$x$	+	708,18
42	$(BP) = (BC) + \varphi$	344°19'59"	36	$\operatorname{tg} \varphi = \frac{\sin (\varphi + \psi)}{q + \cos (\varphi + \psi)}$	0,295592	55	$x_b$	-	123,48
43	$\operatorname{tg} (AP)$	0,810284	38	$\sin \psi$	0,283466	53	$x - x_b$	+	831,66
44	$\operatorname{tg} (BP)$	-0,280465	40	$\sin \varphi$	0,938124	59	$(x - x_a) \operatorname{tg} (AP)$	-	344,29
45	$K = \operatorname{tg} (AP) - \operatorname{tg} (BP)$	1,090749	-	-	-	57	$y_a$	+	1647,69
46	1 : K	0,916801	-	-	-	61	$y$	+	1303,40
						58	$y_b$	+	1536,65
						60	$(x - x_b) \operatorname{tg} (BP)$	-	233,25

При умові обчислення кількох пунктів на одній і тій же обчислювальній базі, дані по перших 22 графах бувають готові, що скорочує роботу.

**Спосіб М. Васильченка.** Дуже зручний також спосіб М. Васильченка (спосіб кол) для розв'язання задачі Потенота при наявності попередньо даних довжин сторін трикутників тригонометричної сітки. Розв'язання за способом Васильченка робиться так:

Дано:  $a = 1\,122,89$ ;  $\alpha = 37^{\circ}35'$ ;  $c = 615,46$ ;  $\beta = 40^{\circ}08'$ ;  
 $(BA) = 271^{\circ}24'$ ;  $x_B = +221,85$ ;  $(BC) = 78^{\circ}22'$ ;  $y^B = -796,88$ .

$$\text{Розв'язання: } d_1 = \frac{c}{\sin \alpha} = \frac{615,46}{0,60991} = 1\,009,10;$$

$$d_2 = \frac{a}{\sin \beta} = \frac{1\,122,89}{0,64457} = 1\,742,08;$$

$$(BA_1) = (BA) + \alpha - 90^{\circ} = 218^{\circ}59';$$

$$(BC_1) = (BC) + \beta + 90^{\circ} = 128^{\circ}14';$$

$$\frac{d_2 \sin (BC_1) - d_1 \sin (BA_1)}{d_2 \cos (BC_1) - d_1 \sin (BA_1)} = \frac{+1\,368,40 - (-634,59)}{-1\,078,13 - (-784,59)} =$$

$$= 6,8236 = \text{tg } 81^{\circ}40';$$

$$(A_1 C_1) = 98^{\circ}20'; A = (A_1 C_1) - (A_1 B) = 59^{\circ}22'; l = d_1 \sin A_1 = 868,28;$$

$$(B_D) = (A_1 C_1) + 90^{\circ} = 188^{\circ}20';$$

$$x_D = x_B + l \cos (B_D) = -637,27;$$

$$y_D = y_B + l \sin (B_D) = -922,73.$$

$$\text{Перевірка: } C = (C_1 B) - (C_1 A_1) = 29^{\circ}54'; l = d_2 \sin C_1 = 868,41.$$

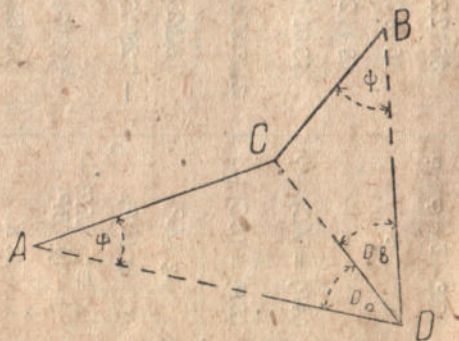


Рис. 35



## Спосіб розв'язання задачі Потенота по таблицях логарифмів (рис. 35)

К о о р д и н а т и				Обчислення довжин твердих сторін	
Формули	x	Формули	y	Формули	lg сторін
A	68 016 54	A	+ 21 262 82	$y_c - y_a$	3,865002
$\overline{AD} \cos (AD)$	+ 4 407 16	$AD \sin (AD)$	+ 865 84	$\sin (AC)$	9,835190
D	72 423 70	D	+ 22 128 66	$\cos (AC)$	9,862896
B	78 827 03	B	+ 24 688 75	$x_c - x_a$	3,8 2707
$\overline{BD} \cos (BD)$	- 6 403 36	$\overline{BD} \sin (BD)$	- 2 560 09	$\operatorname{tg} (AC)$	9,972295
D	72 423 67	D	+ 22 128 66	AC	4,029812
C	75 827 54	C	+ 13 934 53	$\sin D_a$	9,991280
$x_c - x_a$	+ 7 811 00	$y_c - y_a$	- 7 328 29	AC : $\sin D_a$	4,038532
$x_c - x_b$	- 2 999 49	$y_c - y_b$	- 10 754 22	$y_c - y_b$	4,031579
Контроль	+ 10 810 49	Контроль	+ 3 425 93	$\sin (BC)$	9,983733
$AD \cos (AD)$	3,644159	AD	3,652382	$\cos (BC)$	9,429201
$\cos (AD)$	9,991777	$\sin (\varphi + D_a)$	9,613850	$x_c - x_b$	3,477048
AD	3,652382	AC : $\sin D_a$	4,038532	$\operatorname{tg} (BC)$	0,554531
$\sin (AD)$	9,285054	$\sin \varphi$	9,909538	BC	4,047846
$AD \sin (AD)$	2,937 13	CD	3,948070	$\sin D_b$	9,999961
	3,806408	CD	3,948070	DC : $\sin D_b$	4,047885
BD $\cos (BD)$	9,967801	$\sin \psi$	9,900185	$\operatorname{tg} \lambda$	9,990647
$\cos (BD)$	3,836607	BC $\sin D_b$	4,047885	$\operatorname{ctg} (45^\circ + \lambda)$	8,032140
$\sin (BD)$	9,569648	$\sin (\psi + D_b)$	9,790722	$\operatorname{tg} \frac{1}{2} (\varphi + \psi)$	0,130096
$\overline{BD} \sin (BD)$	3,408255	BD	3,838607	$\operatorname{tg} \frac{1}{2} (\varphi - \psi)$	8,162236

(AC)	316°49'34",8	(AC)	316°49'34",8
(BC)	254 24 55 ,9	+ $\varphi$	54 17 18 ,7
c	62 24 38 ,9	(AD)	11 06 53 ,5
$D_a$	101 26 35 ,9	+ $D_a$	101 26 35 ,9
$D_b$	89 14 81 ,0	(CD)	112 33 29 ,4
$\Sigma$	253 05 15 ,8	- $D_b$	89 14 01 ,0
$\varphi + \psi$	106° 54 44 ,2	(BD)	201 47 30 ,4
$\lambda$	44 22 59 ,0	- $\psi$	52 37 25 ,5
$45 + \lambda$	89 22 59 ,0	(BC)	254 24 55 ,9
$\frac{1}{2} (\varphi + \psi)$	53 27 22 ,1		
$\frac{1}{2} (\varphi - \psi)$	0 49 56 ,6		
$\varphi$	54 17 18 ,7		
$\psi$	52 37 25 ,5		
$\varphi + D_a$	155 43 54 ,6		
$\psi + D_b$	141 51 26 ,5		
Контроль	360 00 00 ,0		

Формули:

$$\operatorname{tg} (AC) = \frac{y_c - y_a}{x_c - x_a} \quad \left| \quad c = (AC) - (BC) \right.$$

$$\operatorname{tg} (BC) = \frac{y_c - y_b}{x_c - x_b}$$

$$AC = \frac{y_c - y_a}{\sin(AC)} = \frac{x_c - x_a}{\cos(AC)}$$

$$\overline{BC} = \frac{y_c - y_b}{\sin(BC)} = \frac{x_c - x_b}{\cos(BC)}$$

$$\operatorname{tg} \lambda = \frac{\overline{AC} : \sin D_a}{\overline{BC} : \sin D_b}$$

$$\varphi + \psi = 360^\circ - (D_a + D_b + C);$$

$$\operatorname{tg} \frac{\varphi + \psi}{2} = \operatorname{tg} \frac{\varphi + \psi}{2} \operatorname{ctg}(45 + \lambda);$$

$$\overline{AD} = \frac{\overline{AC}}{\sin D_a} \sin(\varphi + D_a);$$

$$\overline{BD} = \frac{\overline{CB}}{\sin D_b} \sin(\psi + D_b);$$

$$(AD) = (AC) + \varphi (CD) = (AD) + D_a;$$

$$(BD) = (BC) - \psi (CD) = (BD) - D_b.$$

**Спосіб Pellion'a.** Цікавий і простий при обчисленні задачі Потенота спосіб Pellion'a. Характерним в цьому способі наближень є те, що попередньо або по карті, або бусоллю визначається наближено дирекційний кут одного з напрямів з шуканої точки на дану (вихідну).

Наприклад дано координати  $A, B, C$ :

$$\begin{array}{ll} x_a = 20\ 167,60, & y_a = 153\ 050,18, \\ x_b = 18\ 891,17, & y_b = 160\ 685,70, \\ x_c = 23\ 854,41, & y_c = 159\ 727,17. \end{array}$$

Виміряні кути на точці  $P$ :

$$\alpha = 167^\circ 39' 58'', \quad \beta = 103^\circ 41' 01''.$$

Наближений дирекційний кут  $PC$ , взятий з карти  $= (PC) = 358^\circ$ .

Визначаємо наближені дирекційні кути  $(PB)$  і  $(PA)$ :  
 $(PB) = 165^\circ 39' 58''$  і  $(PA) = 254^\circ 18' 59''$ .

Обчислення елементів трикутника  $ABC$ :

$\sec(AC)$ . . . . .	2,06451	$\csc(AC)$ . . . . .	1,143041
$x_c - x_a$ . . . . .	+ 3 696,81	$y_c - y_a$ . . . . .	+ 6 677,00
$x_c - x_b$ . . . . .	+ 4 968,24	$y_c - y_b$ . . . . .	- 958,53
$\sec(BC)$ . . . . .	1,018478	$\csc(BC)$ . . . . .	5,27360
$\operatorname{tg}(AC)$ . . . . .	0,874860	$\operatorname{tg}(BC)$ . . . . .	0,193128
$(AC)$ . . . . .	$61^\circ 01' 42''$	$(BC)$ . . . . .	$349^\circ 04' 9''$
$b$ . . . . .	7 632,10	$a$ . . . . .	5 054,90

Наведене розв'язання трикутника по суті не входить в задачу Потенота, в ряді випадків розв'язання трикутників не матиме місця, бо обчислювані елементи можуть бути взяті з остаточного розв'язання трикутників у тригонометричній сітці.

Дальше обчислення полягає у визначенні поправки  $\Delta\alpha$  в орієнтуванні і обчисленні координат  $x^p$  і  $y^p$ .

$AC$ . . . . .	$61^{\circ}01'42''$	$(BC)$ . . . . .	$349^{\circ}04'09''$	$(PC)$ . . . . .	$358^{\circ}00'00''$
$(AP_2)$ . . . . .	$74\ 18\ 59$	$(BP_1)$ . . . . .	$345\ 39\ 58$	$\delta\alpha$ . . . . .	$44\ 04$
$\varphi_1$ . . . . .	$+13\ 17\ 17$	$\psi_1$ . . . . .	$+3\ 24\ 11$	$(PC)_0$ . . . . .	$357\ 15\ 56$
$\delta\alpha$ . . . . .	$-44\ 04$	$\delta\alpha$ . . . . .	$+44\ 04$	$(CP)_0$ . . . . .	$77\ 15\ 56$
$\varphi_2$ . . . . .	$12\ 33\ 13$	$\psi$ . . . . .	$4\ 08\ 15$	$y_c$ . . . . .	$159727,17$
$\text{csc } \beta$ . . . . .	$1,029212$	$\text{csc } \alpha$ . . . . .	$4,68471$	$p \sin (CP)^0$	$+81,45$
$b \text{ csc } \beta$ . . . . .	$7855,05$	$a \text{ csc } \alpha$ . . . . .	$23664,36$	$\sin (CP)_0$ . . . . .	$0,047707$
$\sin \varphi_1$ . . . . .	$0,229847$	$\sin \psi_1$ . . . . .	$0,059360$	$P$ . . . . .	$1707,35$
$\sin \varphi_2$ . . . . .	$0,212827$	$\sin \psi_2$ . . . . .	$0,076772$	$\cos (CP)_0$ . . . . .	$09,98861$
$\sin \varphi$ . . . . .	$0,217353$	$\sin \psi$ . . . . .	$0,072150$	$p \cos (CP)^0$	$1705,41$
$P_2$ . . . . .	$1805,46$	$P_1$ . . . . .	$1404,72$	$x_c$ . . . . .	$23854,41$
$P'_2$ . . . . .	$1671,77$	$P'_1$ . . . . .	$1816,76$	$x_p$ . . . . .	$22149,00$
$P$ . . . . .	$1707,32$	$P$ . . . . .	$1707,39$	$y_p$ . . . . .	$159808,62$
$\Delta P_1$ . . . . .	$+400,74$	$\Delta P_2$ . . . . .	$-145,00$		

$$\Delta P_1 - \Delta P_2 = +545,74 \text{ м}$$

$$\delta\alpha = 60 \cdot \frac{400,74}{545,44} = 44'04''$$

Спосіб Н. Estignard'a. При прив'язуванні точок теодолітного ходу за задачею Потенота, як вище зазначалося, треба мати на увазі, що для контролю треба брати крім потрібних для розв'язання трьох, напрямів на тригонометричні пункти, ще один четвертий напрям, при чому кут між двома з необхідних трьох напрямів повинен бути не менше  $30^{\circ}$  і кут між третім напрямом і якимсь з перших двох не менше  $45^{\circ}$ .

Віддаль триангуляційних пунктів від прив'язуваної точки теодолітного ходу повинен бути не більше 10 км і співвідношення віддалів до найдальшого і до найближчого опорних пунктів не більше 5:2.

В тому разі, якщо одна з вихідних точок потрібних для розв'язання задачі Потенота значно віддалена, то в цьому разі є підстава застосувати спосіб інженера-гідрографа Н. Estignard'a. На рисунку 36 показано таке розміщення пунктів, при якому на точку  $B$  дано тільки напрям.

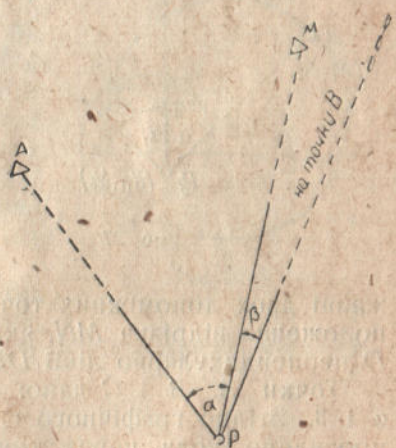


Рис. 36

Виклад способу Н. Estignard'a подано в книзі Максимова — Гідрографія.

**Спосіб проф. Нел'я.** Порівняно швидко розв'язується задача Потенота за такими формулами (рис. 37):

$$\operatorname{tg}(P_0P_1) = \frac{(y_2 - y_1) \operatorname{ctg} \alpha - (y_3 - y_1) \operatorname{ctg} \alpha_1 - (x_2 - x_3)}{(x_2 - x_1) \operatorname{ctg} \alpha - (x_3 - x_1) \operatorname{ctg} \alpha_1 + (y_2 - y_3)}$$

$$x_0 = \frac{y_2 - y_1 + x_1 \operatorname{tg}(P_0P_1) - x_2 \operatorname{tg}(P_0P_2)}{\operatorname{tg}(P_0P_1) - \operatorname{tg}(P_0P_2)}$$

$$y_0 = y_1 - (x_1 - x_0) \operatorname{tg}(P_0P_1)$$

Для контролю користуються такими формулами:

$$x_0 = \frac{y_3 - y_2 + x_2 \operatorname{tg}(P_0P_2) - x_3 \operatorname{tg}(P_0P_3)}{\operatorname{tg}(P_0P_2) + \operatorname{tg}(P_0P_3)}$$

$$y_0 = y_2 - (x_2 - x_0) \operatorname{tg}(P_0P_2)$$

**Спосіб Чумакова.** Оригінальне розв'язання задачі Потенота запропоновано І. Чумаковим<sup>1</sup>. Розв'язання ґрунтується на одер-

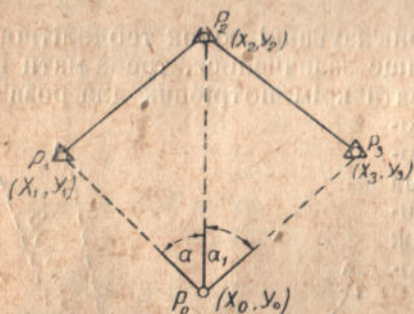


Рис. 37

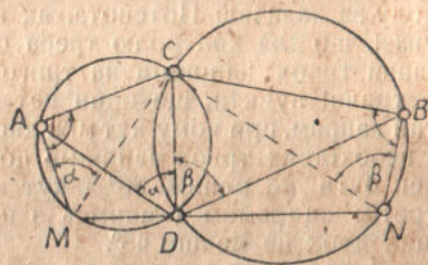


Рис. 37-а

жанні двох допоміжних точок  $M$  і  $N$  (рис. 37-а), що визначають положення відрізка  $MN$ , який проходить через шукану точку  $D$ , перпендикулярно лінії  $DC$ .

Точки  $A$ ,  $B$  і  $C$  дано:  $D$  — шукана, на якій виміряні кути  $\alpha$  і  $\beta$ . Згідно графічного способу розв'язання задачі Потенота, проведемо кола через точки  $ACD$  і  $CBD$  і через точку  $D$  пряму перпендикулярну  $DC$ , яка перетне обидва кола в точках  $M$  і  $N$ . Утворені трикутники  $MAC$  і  $NCB$  прямокутні і кути їх при вершинах  $M$  і  $N$  відповідно  $\alpha$  і  $\beta$ . Таким чином процес графічного розв'язання полягає в побудованні двох прямокутних трикутників  $MAC$  і  $NCB$ , звідси визначаються точки  $M$  і  $N$ .

<sup>1</sup> „Артилерійський журнал“, № 1, 1936 р.

Точка перетину перпендикуляра з вершини  $C$  на пряму  $MN$  і буде шуканою точкою  $D$ .

Значить аналітично спосіб розв'язання може бути побудований так:

1) визначення координат точок  $M$  і  $N$  і дирекційного кута  $MN$ ;

2) визначення координат шуканої точки  $D$ .

Робочі формули:

$$x_m - x_a = \text{ctg } \alpha (y_c - y_a);$$

$$\Delta x = (y_c - y_m) \sin(MN) \cos(MN) - (x_c - x_m) \sin^2(MN);$$

$$y_m - y_a = \text{ctg } \alpha (x_c - x_a);$$

$$\Delta y = (x_c - x_m) \sin(MN) \cos(MN) + (y_c - y_m) \sin^2(MN);$$

$$\text{tg}(NM) = \frac{y_n - y_m}{x_n - x_m}; \quad x_n - x_b = (y_c - y_b) \text{ctg } \beta;$$

$$y_d = y_m + \Delta y;$$

$$y_n - y_b = (y_c - y_b) \text{ctg } \beta;$$

$$x_d = x_c + \Delta x.$$

Шукана точка  $D$  може лежати як на самому відрізку  $MN$ , так і на його продовженні (рис. 37-б). Робочі формули в усіх випадках можуть бути застосовані. Крім того формули придатні і при заміні точки  $M$  точкою  $N$  з одночасною зміною дирекційного кута на  $180^\circ$ , що дозволяє вибрати точку  $M$  або  $N$  так, щоб різниці  $x_c - x_m$  були б менші (тобто вибрана точка повинна бути ближче до точки  $C$ ).

Розв'язання задачі можна зробити, як за логарифмами, так і на арифмометрі. Перевірка завдання полягатиме в обчисленні дирекційних кутів  $(DA)$  і  $(DB)$ :

$$\text{tg}(DA) = \frac{y_a - y_d}{x_a - x_d};$$

$$\text{tg}(DB) = \frac{y_b - y_d}{x_b - x_d}.$$

За обчисленими дирекційними кутами одержуємо кути між напрямками  $DA, DC, DB$  і порівнюємо їх з даними кутами  $\alpha$  і  $\beta$ , збіг в межах  $0',1$  покаже правильність розв'язання:

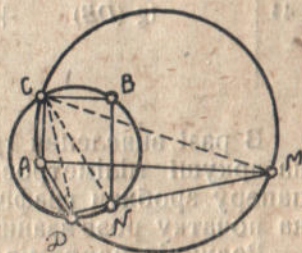


Рис. 37-б

№	А б с ц и с и		№	О р д и н а т и	
1	$A$	28385,26	2	$A$	74163,55
15	$\text{ctg } \alpha (y_c - y_a)$	4841,70	16	$(x_c - x_a) \text{ctg } \alpha$	+1163,80
19	$M$	49226,96	20	$M$	75327,35
			37	$33 + 34$	- 761,86
			38	$D$	74565,49
3	$B$	50963,95	4	$B$	74748,90
17	$(y_c - y_b) \text{ctg } \beta$	+252,93	18	$(x_c - x_b) \text{ctg } \beta$	-1675,95
21	$N$	53216,88	22	$N$	73072,99
5	$C$	49778,80	6	$C$	73155,70
35	$(31 - 32)$	+796,53	7	$\alpha$	50°08'
36	$D$	50775,33	8	$\beta$	144°44'
9	$x_c - x_a$	+139,54	10	$y_c - y_a$	-1007,85
11	$x_c - x_b$	-1185,15	12	$x_c - y_b$	-1593,20
13	$x_b - x_a$	+2578,69	14	$y_b - y_a$	+ 585,35
23	$x_n - x_m$	+3989,92	24	$y_n - y_m$	-2254,36
25	$x_c - x_m$	+ 551,84	26	$y_c - y_m$	-2171,65
27	$y_n - y_m$	-0,55501	28	$(MN)$	330°32'
	$x_n - x_m$	-0,55501	29	$\sin (MN) \cos (MN)$	-0,42828
31	$(y_c - y_m) (29)$	+ 930,07	30	$\sin^2 (MN)$	0,24199
32	$(x_c - x_m) (30)$	+ 133,54	33	$(x_c - x_m) (29)$	- 236,34
	П е р е в і р к а		34	$(y_c - y_m) (30)$	- 525,52
39	$(x_a - x_d)$	-2190,07	40	$y_a - y_d$	- 401,94
41	$(x_b - x_d)$	+ 388,62	42	$y_b - y_d$	+ 183,41
43	$\text{tg } (DA)$	+0,18353	45	$(DA)$	190°24'
				$\alpha$	50°08'
44	$\text{tg } (DB)$	+0,47159	46	$(DC) = (MN) - 90^\circ$	240°32'
				$\beta$	141°43'9"
			47	$(DB)$	25°15'9"

В разі виявлення грубої похибки в розв'язанні задачі можна на аркуші міліметрового або взагалі полінованого у клітку паперу зробити графічну перевірку за принципом, викладеним на початку розв'язання задачі.

**Редукція напрямів.** В попередніх випадках розв'язання задачі Потенота передбачалося, що кути  $\alpha$  і  $\beta$  віднесені на площину проекції Гауса-Крюгера, тобто у спостережені напрями з певної точки на вихідні (дані) триангуляційні пункти внесено поправки на кривизну. Якщо віддалі визначуваної точки від вихідних не перевищує 3 км і вимірювання кутів зроблено 30-секундним теодолітом, то поправки на кривизну не вводяться, взагалі ж треба

$$\text{керуватися формулою } \delta_{12} = \frac{(x_2 - x_1) y_m \rho''}{2R_m^2},$$

де:  $x_1, y_1$  — координати першої точки (визначуваної),  
 $x_2, y_2$  — координати другої точки (вихідної),

$$y_m = \frac{y_2 + y_1}{2}; \rho'' = 206265'',$$

$R$  — середній радіус кривизни,  $\lg \frac{R}{2} = 5,01340$ ,  $\lg \frac{1}{R_m^2} = 6,3809$  — 20.

В разі потреби внесення поправки на кривизну, треба, до остаточного розв'язання задачі Потенота, грубо визначити наближені координати шуканої точки, по яких розрахувати поправки. Обчислення за наведеною формулою може бути зроблено на логарифмічній лінійці або δ одержують безпосередньо за таблицею топографа Максимова (вміщена у книзі Урмаєва, — *Руководство по обработке триангуляций*).

Знак поправки  $\delta''$ , визначений при обчисленні, легко контролюється за рисунком, що зображає геодезичні лінії на площині у проєкції Гауса-Крюгера. Геодезична лінія (крива) проводиться в напрямі, протилежному напрямку перпендикуляра до хорди, що йде до середнього меридіана зони. Уявно провівши через кожну вершину лінію паралельну осьовому меридіану і звучи дугу від північного кінця уявної паралельної лінії за ходом годинникової стрілки до геодезичної лінії — азимутальною стрілкою<sup>1</sup>, можна встановити таке правило (правило чаші або правило дощу): „Якщо азимутальна стрілка впирається в увігнутість, то поправка до напрямку матиме знак + (плюс), а якщо в опуклість, то знак поправки — (мінус)“ (рис. 37-в).

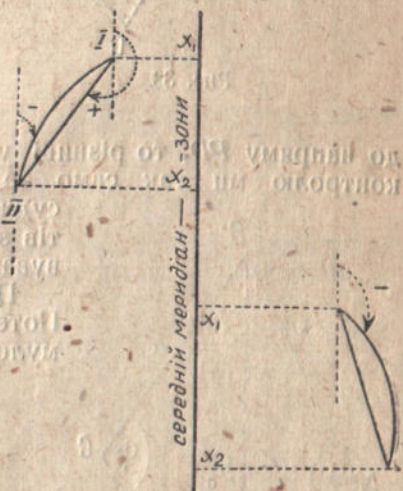


Рис. 37-в

**Контроль при розв'язуванні задачі Потенота.** При включенні у спостереження четвертого надмірного пункту для контролю виміряють і третій кут  $\gamma$ , а самий контроль здійснюють подвійно:

1. Маючи координати пункту  $P$  з розв'язання за трьома вихідними пунктами  $ABC$  і координати четвертого даного пункту, визначаємо за ними дирекційний кут напрямку  $PD$ . Цей же дирекційний кут одержуємо за вимірним кутом і відомим з розв'язання задачі напрямком, наприклад  $PC$ . Порівняння цих кутів і дасть можливість судити про точність визначення пункту  $P$ .

2. Маючи з розв'язання задачі за трьома вихідними пунктами  $A, B$  і  $C$  сторону  $PB$  і визначивши з триангуляції за даними координатами пунктів сторону  $BD$ , розв'язуємо трикутник  $PBD$  по

<sup>1</sup> Бородулин, — Простейший способ проверки знаков поправок к направлениям при переходе от сферодических углов к плоским углам, „Геодезист“, № 7, 1935 р.

сторони  $BD$  і двох кутах, вимірюваному  $\gamma$  і обчисленому  $\angle PBD$  (рис. 38). Порівняння загальної сторони  $PB$  з розв'язанням за трьома вихідними пунктами  $ABC$  і цього надмірного дає розходження сторони, а значить і судження про точність визначуваного пункту  $P$ .

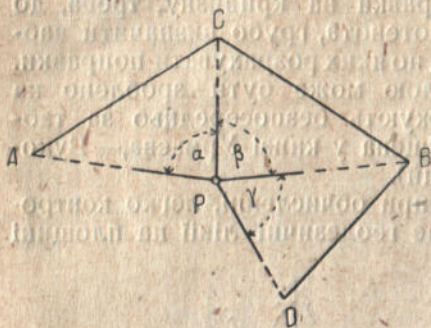


Рис. 38

до напрямку  $PD$ , то різниці у довжині сторони  $PB$  по другому контролю ми так само не виявимо. Тому для справжнього судження про точність визначення пунктів зворотною засічкою треба застосовувати обидва контролю разом.

Похибка визначення точки по задачі Потенота може бути обчислена за формулою:

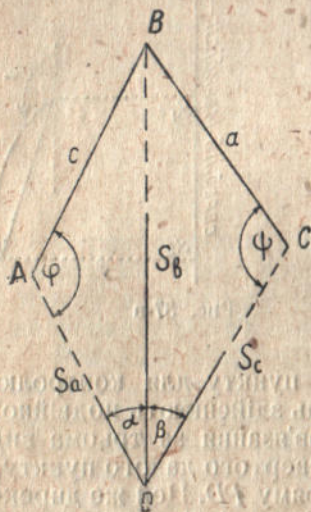


Рис. 39

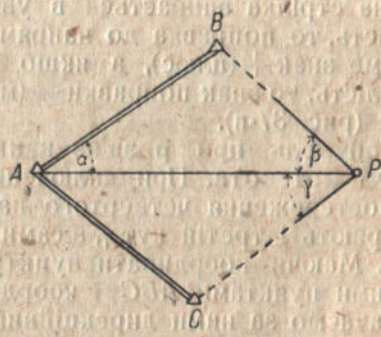


Рис. 40

$$M_d^2 = \frac{\delta^2 \sin^2 1''}{\sin^2(\varphi + \psi)} \left[ \left( \frac{S_a S_b}{c} \right)^2 + \left( \frac{S_b S_c}{a} \right)^2 \right]$$

де:  $M_d$  — середньоквадратична похибка визначення точки по задачі Потенота.

$\delta$  — похибка вимірювання кутів  $\alpha$  і  $\beta$ .

Решта позначень формули видно з рисунку 39.



Можливий випадок, коли визначувана по задачі Потенота прив'язна точка знаходиться на колі, що проходить через три вихідних триангуляційних пункти і значить розв'язання задачі Потенота неможливе. Тоді, або змінюють розміщення прив'язної точки, або застосовують комбіновану засічку. Різні випадки комбінованої засічки наведено на рисунках 40, 41 і 42.

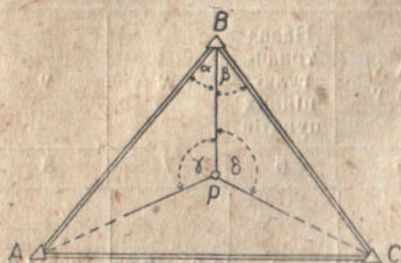


Рис. 41



Рис. 42

Розв'язання комбінованої засічки цілком аналогічно розв'язанню прямої засічки з трьох пунктів<sup>1</sup>.

### Вставка точок (формули Бутлера)

У тих випадках, коли кількість видимих пунктів недостатня для прив'язування до тригонометричної сітки за способом Потенота, то застосовується спосіб вставки точок теодолітного ходу у триангуляційну сітку згідно з рисунком 43.

Обчислення координат точки P може бути зроблено безпосередньо по координатах тригонометричних пунктів за формулами Бутлера:

$$x_p = x_a + \Delta x_{ap}$$

$$\Delta x_{ap} = \frac{(x_a - x_b) \cos 3 - (y_a - y_b) \sin 3}{\frac{\sin 1}{\sin 2}}$$

$$\Delta y_{ap} = \frac{y_p - y_a + \Delta y_{ap}}{(x_a - x_b) \sin 3 + (y_a - y_b) \cos 3} \frac{\sin 1}{\sin 2}$$

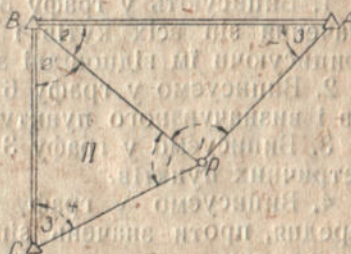


Рис. 43

<sup>1</sup> Приклади розв'язання комбінованої засічки можна знайти в „Наставленні по производству геодезических работ Отдела военно-топографической службы Генерального штаба РККА“, Вып. 8.

Користуючись цими формулами треба мати на увазі, що кут  $\beta$  вводиться в обчислення з знаком  $-$ , а кут  $\beta'$  з знаком  $+$ , тобто якщо умовимося кути при твердій стороні трикутника відлічувати від твердої сторони до визначуваної, то кутові, одержаному по ходу годинникової стрілки приписується знак  $+$ , а кутові, одержаному проти ходу годинникової стрілки знак  $-$ .

Порядок обчислення координат точки  $P$  такий:

№№ трикутника	№№ кутів	Зрівняні кути		Натуральні значення $\sin$ і $\cos$ кутів	$\Delta x$ $\Delta y$	Назва триангуляційних пунктів	$x$	$y$
		$\alpha$	$\beta$					
1	2	3		4	5	6	7	8
I	1	144	34	0,579755	-1 305,21	P	+82 417,63	-28711,20
	2	22	50	0,388052				
	3	12	36	0,218143				
		180	00	0,975917	+46 388,42	A	+88 339,40	+1779,90
				$\frac{\sin 1}{\sin 2} = 1,494062$		B'	+89 644,61	-44608,52
II	1'	90	01	1,000000	-24 213,21	C	+65 431,40	-36 427,00
	2'	46	53	0,729963				
	3'	43	06	0,683 774				
		180	00	0,730 162				
				$\frac{\sin 1}{\sin 2} = 1,369925$	+8 181,52	P	+16 986,71	+7714,87
							+82 418,11	-28712,13

1. Вписують у графу 3 зрівняні кути і в графу 4 натуральні значення  $\sin$  всіх кутів і  $\cos$  останнього кута у трикутнику, приписуючи їм відповідні знаки.

2. Вписуємо у графу 6 назву даних тригонометричних пунктів і визначуваного пункту.

3. Вписуємо у графу 7 і графу 8 координати даних тригонометричних пунктів.

4. Вписуємо у графу 5 різницю координат, крайня мінус середня, проти значень  $\sin$  і  $\cos$  передаючих кутів у кожному трикутнику.

5. Обчислюємо частку  $\frac{\sin 1}{\sin 2}$ .

6. Робимо за формулами Бутлера всі обчислення на арифмометрі, не записуючи проміжних результатів. Одержані приращення записуємо до граф 7 і 8.

### Метод різниць координат

Координати якоїсь точки  $P$ , одержані в результаті прямих засічок (наприклад трьох) підлягають зрівнянню. Це зрівняння зручно можна зробити за методом різниць координат.

Для цього треба:

1. Одну з пар координат прийняти за нульову.
2. Знайти різниці координат нульової точки з двома парами координат решти точок.
3. Обчислити ймовірніше значення знайдених різниць по вагах, вважаючи їх пропорційними квадратам синусів — кутів засічок.
4. До ймовірнішого значення різниці координат додати координати пари, прийнятої за нульову.

Наприклад, одержано три значення координат для точки  $P$ :

257,20	418,80
257,65	418,30
256,95	418,00

Кути, утворені засічками відповідно:

$$19^{\circ}55'2; \quad 31^{\circ}01'1; \quad 50^{\circ}56'3$$

Приймаючи значення координат, одержаних у третьому випадку, і утворюючи різниці координат між нульовими і двома іншими парами, одержимо:

$$\begin{aligned} \delta x &= +0,29; & \delta x &= -0,70; & \delta y &= 0,30; \\ \delta y &= +0,80; & \delta x &= 0,00; & \delta y &= 0,00. \end{aligned}$$

Дальші обчислення проводяться, приймаючи квадрати синусів кутів за вагу, і по таблиці знаходимо:

$$\begin{aligned} \text{для } 19^{\circ}55'2 &= 0,12 \\ \text{'' } 31^{\circ}01'1 &= 0,26 \\ \text{'' } 50^{\circ}56'3 &= 0,78 \\ \hline \text{Сума вагів } \Sigma P &= 1,16 \end{aligned}$$

Потім, користуючись формулою середньоарифметичної по вазі, одержимо:

$$\delta x = \frac{\delta x_1 P_1 + \delta x_2 P_2 + \delta x_3 P_3}{\Sigma P} = \frac{0,25 \cdot 0,12 + 0,70 \cdot 0,26 + 0,00 \cdot 0,78}{1,16} = +\frac{0,212}{1,16} = +0,19$$

$$\delta y = \frac{\delta y_1 P_1 + \delta y_2 P_2 + \delta y_3 P_3}{\Sigma P} = \frac{0,80 \cdot 0,12 + 0,30 \cdot 0,26 + 0,00 \cdot 0,78}{1,16} = +\frac{0,174}{1,16} = +0,15$$

Ймовірніше значення координат пункту  $P$  буде:

$$\begin{aligned} x &= x_0 + \delta x = +256,95 + 0,19 = 257,14 \\ y &= y_0 + \delta y = +418,00 + 0,15 = 418,15 \end{aligned}$$

## Точний спосіб зрівнювання пункту, визначеного прямою засічкою<sup>1</sup>

Зрівнювання пунктів IV класу визначених прямими засічками проводиться так. Виписуються вихідні дані і виміряні кути двох трикутників.

<sup>1</sup> Временная инструкция по вычислительным работам Упр. Воен. Топ. НКО, 1934 г.

Шляхом порівняння суми кутів 2 і 3 з зрівняним кутом, визначається нев'язка, яка розбивається на рівні частини на кути 2 і 3. Ці поправки записуються до графі "1 поправка".

Потім, виправляючи ними виміряні кути, одержують попередньо зрівняні кути.

Користуючись цими кутами, складають базову умову.

Для того, щоб при розв'язанні цього одного рівняння не порушити зрівняної суми кутів (2+3), базове рівняння перетворюється за методом Крюгера, для чого береться півсума коефіцієнтів при кутах 2 і 3 і віднімається з кожного з цих коефіцієнтів або, що те саме, береться прямо пів різниці коефіцієнтів.

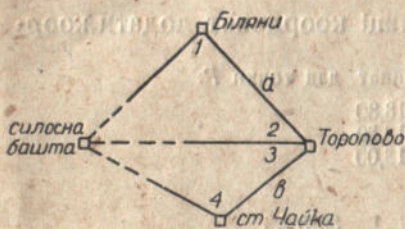


Рис. 44

Зрівняння пункту IV класу (рис. 44) (пряма засічка)

Змір.	2 + 3	45°38'51"	a	3,76783	b	3,76563
зрівнян.	2 + 3	54		+ 1 9,63175	+ 0,4	4 9,45253
				3 + 4 9,73129	+ 0,3	1 + 2 9,91276
						+ 0,2
	$v_1 = -3$			3,13087		3,13092
					$v_2 = -5$	

	B	B'	X
1	+ 0,2	+ 0,2	+ 3
2	- 0,2	- 0,25	- 4
3	+ 0,3	+ 0,25	+ 4
4	- 0,4	- 0,4	- 6
$v$	- 5	- 5	

$$K = + \frac{5}{0,325} = + 15,39$$

Назва вершин	Виміряні кути			1 поправка	Попередньо зрівняні кути			2 поправка	Остаточ-но зрівняні кути			lg сторін (уметрах)	lg sin-ів
Силосна башта	-	-	-	-	-	-	-	-	125	6	52	3,76783	3,85508 9,91275
1 Біляни, с.	25	21	36	-	25	21	36	+ 3	25	21	39	3,48684	9,63176
2 Топорово, с	29	31	31	+ 2	29	31	33	- 4	29	31	29	3,54775	9,69467
									180	00	00		
Силосна башта	-	-	-	-	-	-	-	-	147	24	35	3,76563	4,03434 9,73129
3 Топорово, с	16	7	20	+ 1	16	7	21	+ 4	16	7	25	3,47793	9,44359
4 Ст. Чайка, п	16	28	6	-	16	28	6	- 6	16	28	00	3,48683	9,45249
									180	00	00		

У даному прикладі півсума коефіцієнтів буде:

$$\frac{-0,2 + 0,3}{2} = + 0,05.$$

Коефіцієнт (2) перетвореного рівняння буде  $-0,2 - 0,05 = -0,25$ .  
Коефіцієнт (3) буде  $+0,3 - 0,05 = +0,25$ .

Одержані величини будуть коефіцієнтами при (2) і (3) перетвореного базового рівняння. Вони завжди дорівнюють по величині і супротивні по знаку, що служить контролем перетворення.

Коефіцієнти інших членів і вільний член лишаються без змін.

Розв'язавши тепер це одне рівняння, одержують другі поправки, ввівши які у попередньо зрівняні кути і розв'язавши трикутники, одержують повне погодження в загальній стороні в межах точності обчислень.

Такий метод зрівнювання, не поступаючись у простоті всіляким так званим спрощеним рівнянням, дає поправки кутів, що задовольняють умові мінімуму суми їх квадратів.

Зрівнювання точки визначеної прямої засічкою з кількох триангуляційних пунктів (більше ніж з двох) може бути зроблено графічним методом<sup>1</sup>.

## Задача Ганзена

В тому разі, коли з пункту теодолітного ходу, що підлягає прив'язуванню до триангуляційної сітки, видно тільки два пункти триангуляції, то для визначення координат шуканої точки теодолітного ходу застосовують два способи.

1. Визначають у шуканій точці з спостережень Сонця астрономічний азимут одного з напрямів на видимий триангуляційний пункт, від астрономічного азимута переходять до дирекційного кута, потім вимірюють на шуканій точці кут між напрямками на видимі триангуляційні пункти і таким чином визначають значення цих трьох кутів у трикутнику, складеному шуканим пунктом і двома видимими триангуляційними пунктами. Цих кутових даних, а також напрямів і віддалей між видимими триангуляційними пунктами досить для розв'язання зазначеного вище трикутника і, значить, визначення координат прив'язуваної точки теодолітного ходу.

2. Не вдаються до астрономічних спостережень, а для визначення координат шуканої точки вибирають допоміжну точку, з якої видно шукана і дані триангуляційні пункти. Таке визначення становить задачу Ганзена (Ван-Свіндена). Розміщення видимих триангуляційних пунктів і прив'язуваних точок теодолітного ходу дано на рисунку 45.

Вимірюються кути  $\alpha$ ,  $\alpha_1$ ,  $\beta$ ,  $\beta_1$  що прилегли до сторін теодолітного ходу. Цих вимірних чотирьох кутів і координат точок  $A$  і  $B$  досить для визначення координат точок теодолітного ходу  $M$  і  $N$ .

<sup>1</sup> Берлович, — Маркшейдерская триангуляция, 1934 р. стор. 70. та інші автори, особливо детально Кель, — Высшая геодезия и геодезические работы ч. II.

<sup>2</sup> Треба згадати, що такий спосіб визначення координат прив'язуваної точки теодолітного ходу може бути застосований замість розв'язання задачі Поноте при прив'язуванні знімальних теодолітних ходів.

Найкраще розміщення вихідних і визначених точок для одержання найточнішого результату буде тоді, коли лінія  $MN$  майже паралельна лінії  $AB$  і симетрично розміщена відносно точок  $A$  і  $B$ , або коли  $MN$  майже перпендикулярна до лінії  $AB$ , при



Рис. 45

чому вони взаємно поділяють одна одну, прирівно, на дві рівних частини (рис. 46).

Треба мати на увазі, що вимірні кути  $\alpha$ ,  $\alpha_1$ ,  $\beta$ ,  $\beta_1$ , а також різниці їх кути  $\gamma$  і  $\delta$  не повинні бути близькі до 0 або  $180^\circ$ , а це буде тоді, коли віддаль між точками  $M$  і  $N$  буде відповідна до віддалі між  $A$  і  $B$  і тоді, коли точки  $M$  і  $N$  досить далеко знаходяться від точок  $A$  і  $B$ .

Якщо ж гострих кутів уникнути не можна, то їх треба виміряти з більшою точністю.

Застосовуючи для прив'язування задачу Ганзена, треба мати на увазі два випадки:

1) прив'язується одна з сторін теодолітного ходу і 2) прив'язується зв'язуюча діагональ теодолітного ходу. У другому разі потрібне додаткове вимірювання кутів, що знаходяться між прив'язаною діагоналлю і прилеглими до неї сторонами теодолітного ходу, щоб одержати їх дирекційні кути.

Найчастіше застосовуваний спосіб розв'язання задачі Ганзена за формою Т—27 наводиться нижче<sup>1</sup>.



Рис. 46

1.  $\text{tg}(AB) = \frac{y_b - y_a}{x_b - x_a}$ ,  $S = \frac{y_b - y_a}{\sin(AB)} = \frac{x_b - x_a}{\cos(AB)}$ ;
2.  $\alpha_1 = (QP) - (QA)$ ,  $\alpha_2 = (QP) - (QB)$ ;  
 $\beta_1 = (PA) - (PQ)$ ,  $\beta_2 = (PB) - (PQ)$ ;
3.  $\gamma_1 = 180^\circ - (\alpha_1 + \beta_1)$  і  $\gamma_2 = 180^\circ - (\alpha_2 + \beta_2)$ ;
4.  $\text{tg } Q = \frac{\sin \psi}{\sin \varphi} = \frac{\sin \alpha_1}{\sin \gamma_1} \cdot \frac{\sin \alpha_2}{\sin \gamma_2} = m : n$ ;
5.  $\frac{1}{2}(\varphi + \psi) = 90^\circ - \frac{1}{2}(\beta_2 - \beta_1)$ ;
6.  $\text{tg } \frac{1}{2}(\varphi - \psi) = \text{tg } \frac{1}{2}(\varphi + \psi) \text{ ctg}(45^\circ + Q)$ ;

<sup>1</sup> Филоненко и Беликов, — Таблицы шестизначных натуральных величин тригонометрических функций для счетных машин.

$$7. q_1 = \sin(\psi - \gamma_2) \frac{S}{\sin(\alpha_1 - \alpha_2)}, \quad P_1 = \sin \psi \frac{S}{\sin(\beta_2 - \beta_1)},$$

$$q_2 = \sin(\varphi + \gamma_1) \frac{S}{\sin(\alpha_1 - \alpha_2)}, \quad P_2 = \sin \varphi \frac{S}{\sin(\beta_2 - \beta_1)},$$

$$c = P_1 \frac{\sin \gamma_1}{\sin \alpha_1} = \frac{P_1}{m} = P_2 \frac{\sin \gamma_2}{\sin \alpha_1} = \frac{P_2}{n};$$

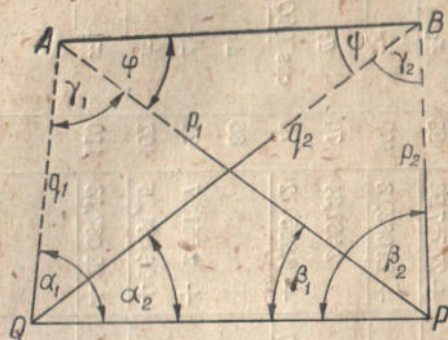


Рис. 47

$$8. (AP) = (AB) + \varphi, \quad (BP) = (AB) - \psi + 180^\circ,$$

$$(BQ) = (AB) - (\psi - \gamma_2) + 180^\circ \quad (AQ) = (AB) + \varphi + \gamma_1$$

1	$-y_b$	+ 15 189,44	43	$\psi$	133 29 17,3	21	(AB)	340° 19' 1",4
2	$-y_a$	+ 15 628,24	44	$\psi - \gamma_2$	75 7 39,8	46	(BP)	26 49 44,1
9	$y_b - y_a$	- 438,80	45	$\varphi + \gamma_1$	53 19 7,6	47	(AP)	5 10 56,5
3	$x_b$	+ 27 757,93	18	$\alpha_1 - \alpha_2$	51 33 12,6	48	(BQ)	85 11 21,6
4	$-x_a$	+ 26 531,76	19	$-y_b - y_a$	- 438,80	49	(AQ)	33 38 9,0
10	$x_b - x_a$	+ 1 226,67	20	$x_b - x_a$	+ 1 226,67	53	$q_1$	1 607,72
5	$\beta_2$	55° 20' 25",0	22	$\text{tg}(AB)$	- 0,37716	50	$\sin(\psi - \gamma_2)$	+ 0,966498
6	$-\beta_1$	33 41 37,5	23	$\sin(AB)$	- 0,336915	25	$S$	1 302,79
11	$\beta_2 - \beta_1$	21 38 47,5	24	$\cos(AB)$	+ 0,941571	51	$\csc(\alpha_1 - \alpha_2)$	+ 1,276833
12	$\frac{1}{2}(\beta_2 - \beta_1)$	10 49 23,8	27	$S$	1,302,79	52	$\sin(\varphi + \gamma_1)$	+ 0,801972
7	$\alpha_1$	117 51 10,0	28	$\sin \alpha_1$	+ 0,884151	54	$q_2$	1,334,04
8	$\alpha_2$	66 17 57,5	31	$\sin \gamma_1$	+ 0,476445	58	$P_1$	2 562,34
13	$\alpha_2 + \beta_2$	121 38 22,5	29	$m$	+ 1,855725	55	$\sin \psi$	+ 0,725516
14	$\alpha_1 + \beta_1$	151 32 47,5	30	$\sin \alpha_2$	+ 0,915658	26	$S$	1 302,79
15	$\gamma_1 = 180^\circ - (\alpha_1 + \beta_1)$	28 27 12,5	33	$\sin \gamma_2$	+ 0,851365	56	$\csc(\beta_2 - \beta_1)$	+ 2,710909
16	$\gamma_2 = 180^\circ - (\alpha_2 + \beta_2)$	58 21 37,5	35	$n$	+ 1,075518	57	$\sin \varphi$	+ 0,420486
17	$\frac{1}{2}(\varphi + \psi) - 90^\circ$		36	$\text{tg } Q$	+ 1,725424	60	$P_2$	1 485,05
41	$\frac{1}{2}(\varphi - \psi)$	54 18 41,1	40	$Q$	59° 54' 17",3	59	$P_1$	2 562,34
42	$\varphi$	24° 51' 55",1	37	$45^\circ + Q$	104 54 17,3	32	$m$	+ 1,855725
			38	$\text{tg} \frac{1}{2}(\varphi - \psi)$	5,230 637	62	$c$	1 380,78
			39	$\text{ctg}(45^\circ - Q)$	- 0,266 169	61	$P_2$	1 485,05
			40	$\text{tg} \frac{1}{2}(\varphi - \psi)$	- 1,392 233	34	$n$	+ 1,075518

63	$P_2$	1 485,05	65	$q_2$	1 334,04	64	$P_2$	1 485,05	66	$q_2$	1 334,04
71	$\sin (BP)$	+ 0,451328	73	$\sin (BQ)$	+ 0,996478	72	$\cos (BP)$	+ 0,892358	74	$\cos (BQ)$	+ 0,088863
79	$\Delta y$		80	$\Delta y$		81	$\Delta x$	$\Delta x$	82	$\Delta x$	
87	$\Delta y$	+ 670,24	88	$\Delta y$	+ 1 329,34	89	$\Delta x$	+ 1 325,20	90	$\Delta x$	+ 111,88
95	$y_b$	+ 15 189,44	96	$y_b$	+ 15 189,44	97	$x_b$	+ 27 757,93	98	$x_b$	+ 27 757,93
103	$y_p$	+ 15 859,68	105	$y_a$	+ 16 518,78	107	$x_p$	+ 29 083,13	109	$x_q$	+ 27 869,81
67	$P_1$	2 562,34	69	$q_1$	1 607,72	68	$P_1$	2 562,34	70	$q_1$	1 607,72
75	$\sin (AP)$	+ 0,090326	77	$\sin (AQ)$	+ 0,5539,12	76	$\cos (AP)$	+ 0,995912	78	$\cos (AQ)$	+ 0,832575
83	$\Delta y$		84	$\Delta y$		85	$\Delta x$	$\Delta x$	86	$\Delta x$	
91	$\Delta y$	- 231,45	92	$\Delta y$	890,51	93	$\Delta x$	+ 2 551,87	94	$\Delta x$	+ 1 338,55
99	$y_a$	+ 15 628,24	100	$y_a$	+ 15 628,24	101	$x_a$	+ 26 531,26	102	$x_a$	+ 26 531,26
104	$y_p$	+ 15 859,69	106	$y_q$	+ 16 518,78	108	$x_p$	+ 29 083,13	110	$x_q$	+ 27 869,81

$$x_p = + 29 083,13$$

$$y_p = + 15 859,68$$

$$x_q = + 27 869,81$$

$$y_q = + 16 518,78$$



**Спосіб Сбснн.** Крім наведеного вище способу розв'язання задачі Ганзена існує ще ряд способів, з яких найпрактичнішими будуть способи Сбснн і Фіали, видозмінені проф. Чеботарьовим<sup>1</sup>.

При застосуванні способу Сбснн користуються такими робочими формулами (рис. 48):

$$\operatorname{tg}(AB) = \frac{y_2 - y_1}{x_2 - x_1},$$

де координати точки  $B$  —  $y_2$ , і  $x_2$ , а координати точки  $A$  —  $y_1$  і  $x_1$ .

$$I = \operatorname{ctg} \alpha - \operatorname{ctg} \gamma,$$

$$II = \operatorname{ctg} \beta - \operatorname{ctg} \delta,$$

$$\text{де: } \gamma = 180 - \alpha_1 \text{ і } \delta = 180 - \beta_1;$$

$$\operatorname{tg} Q = \frac{I - II}{\operatorname{ctg} \alpha \cdot \operatorname{ctg} \delta - \operatorname{ctg} \beta \cdot \operatorname{ctg} \gamma};$$

$$(NM) = (AB) - Q;$$

$$\varphi_1 = Q - \alpha, \varphi_2 = Q - \gamma;$$

$$\varphi_1 = Q - \beta, \varphi_2 = Q - \delta;$$

$$x_m - x_1 = \frac{(x_2 - x_1) \operatorname{ctg} \varphi_1 + (y_2 - y_1)}{\operatorname{ctg} \varphi_1 - \operatorname{ctg} \varphi_1};$$

$$y_n - y_1 = \frac{(y_2 - y_1) \operatorname{ctg} \varphi_1 - (x_2 - x_1)}{\operatorname{ctg} \varphi_1 - \operatorname{ctg} \varphi_1};$$

$$x_m - x_1 = \frac{(x_2 - x_1) \operatorname{ctg} \varphi_2 + (y_2 - y_1)}{\operatorname{ctg} \varphi_2 - \operatorname{ctg} \varphi_2};$$

$$x_n = x_1 + (x_n - x_1), \quad y_n = y_1 + (y_n - y_1);$$

$$x_m = x_1 + (x_m - x_1), \quad y_m = y_1 + (y_m - y_1);$$

$$\text{Контроль: } \operatorname{tg}(NM) = \frac{y_m - y_n}{x_m - x_n}.$$

<sup>1</sup> „Геодезист“, 1935 р., № 9.

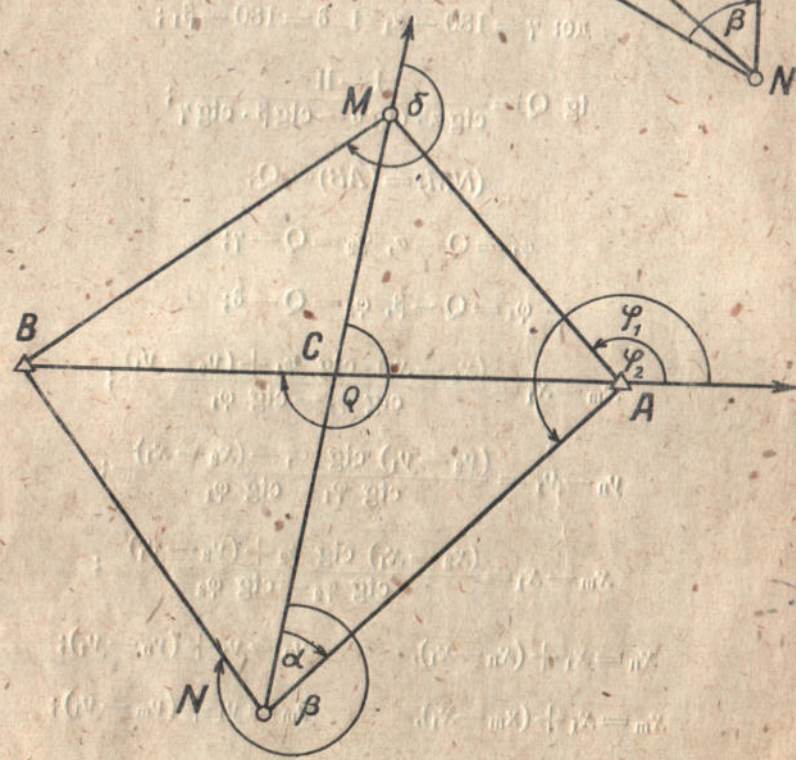
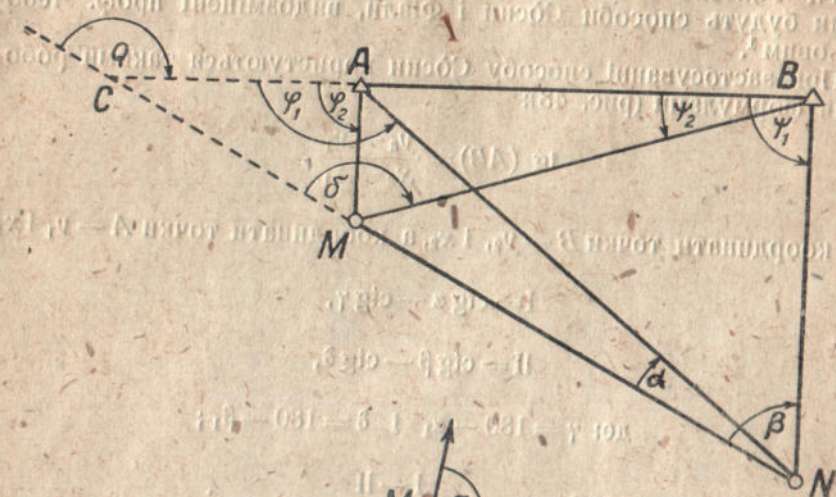


Рис. 48

Приклад розв'язання задачі Ганзена за способом Соснін<sup>1</sup>

$\alpha$	48°13'12",5	$\delta$	243°50'21",9	$x_2$	-1836,327	$y_2$	+22549,209
$\gamma$	142°40'57",1	$\beta$	319°27'58,7	$x_1$	-5068,090	$y_1$	+2,951,186
$\text{ctg } \alpha$	+0,877899	$\text{ctg } \delta$	+0,491207	$x_2 - x_1$	+4231,753	$y_2 - y_1$	-401,277
$-\text{ctg } \gamma$	-1,311858	$\text{ctg } \beta$	-1,169456	$\text{ctg } \alpha \text{ ctg } \delta$	+0,431230	$\text{tg } (AB)$	-0,091815
$I$	+2,189757	$-\text{II}$	+1,660663	$\text{ctg } \beta \text{ ctg } \gamma$	+1,534160	Румб (AB)	35°25'00",8
$I + (-\text{II})$	3,850420	$\text{ctg } Q$	-3,491083	Знаменник	-1,102930	Азим. (AB)	351°3'59",2
$\varphi = Q - \alpha$	237°15'50",1	$\text{ctg } \varphi_1$	+0,642878	Таб. кута	74°00'57,4	$-Q$	283°59'02",6
$\varphi = Q - \beta$	326°31'03",9	$-\text{ctg } \varphi_1$	-1,511852	$\varphi_2 = Q - \gamma$	143°18'05",5	(NM)	68°35'56",6
$(x_2 - x_1) \text{ ctg } \varphi_1$	+2 720,501	$\text{ctg } \varphi_1 - \text{ctg } \varphi_2$	+2,154730	$\varphi_2 = Q - \delta$	42°08'40",7	$\text{ctg } \varphi_2$	-1,341678
$I + (y_2 - y_1)$	-401,277	$(y_2 - y_1) \text{ ctg } \varphi_1$	-257,972	$(x_2 - x_1) \text{ ctg } \varphi_2$	-5677,650	$\text{ctg } \varphi_2$	+533,385
Чисельн.	+2 319,224	$-(x_2 - x_1)$	+4231,753	$+ (y_2 - y_1)$	-401,277	$-(x_2 - x_1)$	+4231,753
$x_n - x_1$	+1 076,346	Чисельн.	-4489,725	Чисельн.	-6078,927	Чисельн.	-3693,388
$+x_1$	-6 068,080	$y_n - y_1$	-2083,660	$y_m - x_1$	+2484,574	$y_m - y_1$	+1509,550
$x_n$	-4 991,734	$+y_1$	+27951,186	$+x_1$	-6068,080	$+y_1$	+22951,186
		$y_n$	+20867,526	$x_m$	-3583,506	$y_m$	+24460,736
		контроль		$x_m - x_n$	+1408,228	$y_m - y_n$	+3593,210
						$\text{tg } (NM)$	+2,551583
						(NM)	68°35'56",6

**Спосіб Фіали.** При застосуванні способу Фіали робочі формули будуть такі:

$$y_1' = \frac{1}{\operatorname{ctg} \alpha - \operatorname{ctg} \gamma}, \quad y_2' = \frac{1}{\operatorname{ctg} \beta - \operatorname{ctg} \delta}, \quad x_2' = \frac{\operatorname{ctg} \beta}{\operatorname{ctg} \beta - \operatorname{ctg} \delta},$$

$$x_1' = \frac{\operatorname{ctg} \alpha}{\operatorname{ctg} \alpha - \operatorname{ctg} \beta}.$$

Проміжний контроль

$$x_1' = y_1' \operatorname{ctg} \alpha,$$

$$x_2' = y_2' \operatorname{ctg} \beta;$$

$$S_{ab}^2 = (x_2' - x_1')^2 + (y_2' - y_1')^2;$$

$$\Delta x_{nm} = x_m - x_n = q \cos \omega = \frac{1}{S_{ab}^2} \left\{ \overbrace{(y_2 y_1) (y_2' - y_1') + (x_2 - x_1) (x_2' - x_1')}^{\text{I}} \right\},$$

$$\Delta y_{nm} = y_m - y_n = q \sin \omega = \frac{1}{S_{ab}^2} \left\{ \underbrace{(y_2 - y_1) (x_2' - x_1') - (x_2 - x_1) y_2' - y_1'}_{\text{II}} \right\};$$

$$\operatorname{tg} \omega = \frac{y_m - y_n}{x_m - x_n};$$

$$x_n = x_1 - q \cos \omega x_1' + q \sin \omega y_1',$$

$$y_n = y_1 - q \sin \omega x_1' - q \cos \omega y_1';$$

$$x_m = x_n + q \cos \omega,$$

$$y_m = y_n + q \sin \omega.$$

Контроль:

$$x_1 = x_m + (q \cos \omega \operatorname{ctg} \gamma - q \sin \omega), \quad y_1 = y_m + F_x y_1',$$

$$y_1 = y_m + (q \sin \omega \operatorname{ctg} \gamma + q \cos \omega), \quad y_1 = y_m + F_y y_1'.$$

В останніх двох формулах прийняті позначення:

$$F_x = q \cos \omega \operatorname{ctg} \gamma - q \sin \omega;$$

$$F_y = q \sin \omega \operatorname{ctg} \gamma - q \cos \omega;$$

Приклад розв'язання задачі Ганзена за способом Фіали

$\alpha$	48°43'12",5	+ 0,877899	$\beta$	319°21'58",7	tg $\beta$	- 1,169456
$\gamma$	142°40'57",1	- 1,311858	$\delta$	243°51'21",9	- ctg $\delta$	+ 0,491207
$y_2'$	- 0,602169	+ 2,189757	К о н т р о л ь:		ctg $\beta - \text{ctg } \delta$	- 1,660663
$y_1'$	+ 0,456672	+ 0,704210	$x_2' = y_2' \text{ctg } \beta$	+ 0,704210	$S^{ab}$	1,213134
$y_2' - y_1'$	- 1,058841	- 0,400912	$x_1' = y_1' \text{ctg } \alpha$	+ 0,400912	$(y_2' - y_1')(x_2' - x_1')$	- 121,7065
$(y_2' - y_1')^2$	1,121144	+ 0,303298	$(y_2' - y_1')(y_2' - y_1')$	+ 424,8895	$(x_2' - x_1')(y_2' - y_1')$	+ 4480,7536
$y_2$	+ 22549,909	- 0,091990	$(x_2' - x_1')(x_2' - x_1')$	+ 1283,4822	II	+ 4359,0471
$y_1$	+ 22951,186	- 1836,327	I	+ 1708,3707	$q \sin \omega$	+ 3593,211
$y_2 - y_1$	- 401,277	- 6068,080	$q \cos \omega$	+ 1408,229	tg $\omega$	+ 2551,781
$-q \sin \omega x_1'$	- 1440,561	+ 4231,153	К о н т р о л ь:		$\omega$	68°35'56",6
$-q \cos \omega y_1'$	- 643,099	- 564,576	$q \sin \omega \text{ctg } \gamma$	- 4713,783	$q \cos \omega \text{ctg } \gamma$	- 1847,396
$y_1$	+ 22951,186	+ 1640,919	$q \cos \omega$	+ 1408,229	$q \sin \omega$	+ 3593,211
$+ y_2$	+ 20867,526	- 6068,080	$F_y$	- 3305,554	$F_x$	- 5440,607
$q \sin \omega$	+ 3593,211	- 4991,737	$F_y \cdot y_1'$	- 1509,554	$F_x \cdot y_1'$	- 2484,573
$y_m$	+ 24460,737	+ 1408,229	+ $y_m$	+ 24460,737	+ $x_m$	- 3583,508
			$y_1$	+ 22951,183	$x_1$	- 6068,081

Розв'язання задачі Ганзена може бути виконано і за методом вставлення ряду трикутників між двома пунктами (Берлович,— Маркшейдерская триангуляция, стор. 180—159, 1934 р.).

Узагальнена задача Ганзена. При прив'язуванні до триангуляційної сітки можливий зазначений на рисунку 49 випадок розміщення триангуляційних пунктів і пунктів теодолітних ходів.

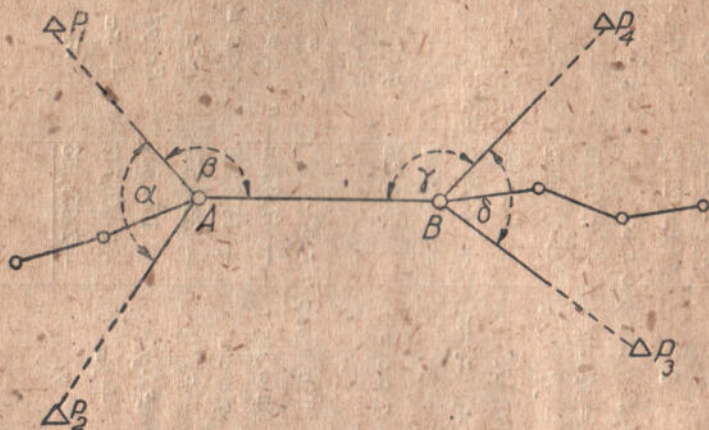


Рис. 49

Розв'язати цю узагальнену задачу Ганзена можна з допомогою арифмометра за такими формулами<sup>1</sup>:

$$(x_2 - x_1) \sin \beta + (y_2 - y_1) \cos \beta = a;$$

$$(x_2 - x_1) \cos \beta - (y_2 - y_1) \sin \beta = b;$$

$$-(x_4 - x_3) \sin (\gamma + \delta) + (y_4 - y_3) \cos (\gamma + \delta) = c;$$

$$(x_4 - x_3) \cos (\gamma + \delta) + (y_4 - y_3) \sin (\gamma + \delta) = d;$$

$$\frac{y_b - y_a}{x_b - x_a} = \operatorname{tg} t;$$

$$\operatorname{tg} t = \frac{a \sin (\alpha + \beta) \sin \delta + c \sin \alpha \sin \gamma + (y_4 - y_3) \sin \alpha \sin \delta}{b \sin (\alpha + \beta) \sin \delta + d \sin \alpha \sin \gamma + (x_4 - x_3) \sin \alpha \sin \delta} = N;$$

$$x_a - x_2 = \frac{(y_2 - y_1) - (x_2 - x_1) \operatorname{tg} (t - \beta)}{\operatorname{tg} (t - \beta) - \operatorname{tg} [t - (\alpha + \beta)]} = \frac{A_1}{K_1};$$

$$y_a - y_2 = (x_a - x_2) \operatorname{tg} [t - (\alpha + \beta)];$$

$$x_b - x_4 = \frac{(y_4 - y_3) - (x_4 - x_3) \operatorname{tg} [t + (\gamma + \delta)]}{\operatorname{tg} [t + (\gamma + \delta)] - \operatorname{tg} (t + \gamma)} = \frac{A_2}{K_2};$$

$$y_b - y_4 = (x_b - x_4) \operatorname{tg} (t + \gamma).$$

<sup>1</sup> А. Кабенин, — Одновременная обратная засечка двух точек, „Геодестист“, № 3—4, 1934 р.

$P_3$	$P_1$	$P_4$	$P_2$
(назва)	(назва)	(назва)	(назва)
$x$	$y$		
1 $P_2$	+ 16740,20	25 $(x_2 - x_1) \sin \beta$	29 $-(x_4 - x_3) \sin(\gamma + \delta)$
2 $P_1$	+ 11906,70	28 $(y_2 - y_1) \cos \beta$	32 $(y_4 - y_3) \cos(\gamma + \delta)$
3 $P_1$	- 370,25	33 $a$	35 $c$
4 $P_3$	+ 6674,41	27 $(x_3 - x_1) \cos \beta$	31 $(x_4 - x_3) \cos(\gamma + \delta)$
11 $P_3 - P_1$	+ 4833,50	26 $(y_3 - y_1) \sin \beta$	30 $(y_4 - y_3) \sin(\gamma + \delta)$
12 $P_4 - P_3$	+ 7994,66	34 $a \sin(\alpha + \beta) \sin \delta$	36 $b \sin(\alpha + \beta) \sin \delta$
13 $P_4 - P_2$	- 18060,45	37 $c \sin \alpha \sin \gamma$	38 $d \sin \alpha \sin \gamma$
5	$\alpha$	41 $(y_4 - y_3) \sin \alpha \sin \delta$	42 $(x_4 - x_3) \sin \alpha \sin \delta$
6	$\beta$	43 $Z$	44 $N$
9	$\alpha + \beta$	45 $\operatorname{tg} t = \frac{Z}{N}$	46 $t = (\gamma + \delta)$
7	$\gamma$	47 $t - \beta$	50 $t + \gamma$
8	$\delta$	48 $t - (\alpha + \beta)$	53 $\operatorname{tg} [t + (\gamma + \delta)]$
10	$\gamma + \delta$	51 $\operatorname{tg} (t - \beta)$	54 $\operatorname{tg} (t + \gamma)$
14	$\sin \beta$	52 $\operatorname{tg} [t - (\alpha + \beta)]$	56 $K_3$
15	$\cos \beta$	55 $K_1$	58 $y_4 - y_3$
16	$\sin(\gamma + \delta)$	57 $y_3 - y_1$	60 $-(x_4 - x_3) \operatorname{tg} [t + (\gamma + \delta)]$
17	$\cos(\gamma + \delta)$	59 $-(x_3 - x_1) \operatorname{tg} (t - \beta)$	62 $A_2$
18	$\sin(\alpha + \beta)$	61 $A_1$	64 $\frac{A_2}{K_3} = (x_b - x_a)$
19	$\sin \delta$	63 $A_1 = x_a - x_3$	66 $x_4$
20	$\sin \alpha$	64 $K_1$	68 $x_b$
21	$\sin \gamma$	65 $x_3$	70 $(x_b - x_a) \operatorname{tg} (t + \gamma)$
22	$\sin(\alpha + \beta) \sin \delta$	66 $x_a$	72 $y_4$
23	$\sin \alpha \sin \gamma$	67 $x_4$	74 $y_b$
24	$\sin \alpha \sin \delta$	69 $(x_a - x_b) \operatorname{tg} [t - (\alpha + \beta)]$	77 $\operatorname{tg} t = \frac{y_b - y_a}{x_b - x_a}$
		71 $y_2$	
		73 $y_a$	
		75 $y_b - y_a$	
		76 $x_b - x_a$	

Розв'язання цієї задачі грохи полегшено В. Ганьшиним через введення допоміжного кута „Геодезист“ № 5, 1955 р.

$$x_a = (x_a - x_2) + x_2; \quad y_a = (y_a - y_2) + y_2;$$

$$x_b = (x_b - x_4) + x_4; \quad y_b = (y_b - y_4) + y_4.$$

На стор. 83 наведено приклад розв'язання узагальненої задачі Ганзена за поданими формулами.

## Техніка обчислень

Як видно з попереднього викладу, безпосереднє прив'язування до триангуляційної сітки потребує звичайно значних обчислювальних робіт. Полегшення цих обчислювальних робіт досягається вибором відповідного способу розв'язання і попередньо складеними бланками-схемами (формулярами) обчислень. Схема обчислень і встановлений порядок обчислень повинні вести роботу до простих алгебричних або арифметичних дій і вибору потрібних величин. Для одноманітних задач, що часто зустрічаються, корисно мати готові надруковані бланки-схеми, які дуже зручні з організаційного боку, бо полегшують контроль і зведення результатів.

Загальних правил для складання схем дати не можна, оскільки вони залежать від тих формул, за якими проводяться обчислення, проте, в наслідок того, що дії складання і віднімання найчастіше зустрічаються, зручніше розміщувати обчислювальні схеми у вигляді вертикальних стовпців, але це треба зробити не на шкоду ясності, легкості користування і логічної послідовності обчислювальних операцій.

Починаючи обчислювання, треба завчасно визначити потрібну точність результату і відповідно до цього вибрати таблицю з потрібним числом знаків, бо користування таблицями з зайвим числом знаків вимагає даремної витрати часу. Так, при логарифмічних обчисленнях треба вживати таблиці з тим же числом знаків, з якими дано і самі числа. Наприклад, якщо числа дано з чотирма значущими цифрами<sup>1</sup>, то треба застосовувати і чотиризначні таблиці логарифмів.

Складні обчислення з великою кількістю дій, для збереження потрібної акуратності, проводяться з одним зайвим знаком.

При знаходженні кутів за логарифмами тригонометричних функцій, також треба зробити вибір таблиць залежно від похибки кутових вимірів:

Похибки кутових вимірів		Таблиці логарифмів
від 1'	до 0,3	4-значні таблиці
1"1	2"	5-значні таблиці
0,5	0,2	6-значні таблиці
0,05	0,02	7-значні таблиці
0,005	0,002	8-значні таблиці

<sup>1</sup> Значущими цифрами в даному числі звуться всі цифри, починаючи з лівої, при чому остання права може бути помилкова.



Треба також мати на увазі, що вводити в обчислення логарифми таких тригонометричних функцій, які за даної величини кута змінюються дуже повільно, а знаходити кути треба за логарифмами таких тригонометричних функцій, які змінюються дуже швидко. Тобто вводити в обчислення треба логарифми  $\sin$ -ів кутів близьких до  $90^\circ$  і  $\cos$ -ів близьких до  $0^\circ$  або  $180^\circ$ . Крім того, кут буде з меншою похибкою, якщо його відшукувати за  $lg \operatorname{tg}$ -ів і  $lg \operatorname{ctg}$ -ів, ніж за  $lg \sin$ -ів і  $lg \cos$ -ів, тому при виборі формул треба вважати за кращі такі, де кут визначається за тангенсом і котангенсом.

Особливу увагу треба віддати контролю обчислень, при чому друге контрольне обчислення рекомендується робити не за тими ж формулами, а за зовсім відмінними, щоб обчислення проходили через зовсім інші числа.

Треба при відшукуванні логарифмів кутів більше  $90^\circ$  керуватися таким правилом: а) при відшукуванні логарифму  $\operatorname{tg}$  або  $\sin$  кута більшого за  $90^\circ$ , віднімається з кута  $90^\circ$  або  $270^\circ$  (приводиться до першої чверті) і береться з таблиць відповідно  $lg \operatorname{ctg}$  або  $lg \cos$ , тобто логарифм додаткової функції; б) якщо ж кут лежить між  $180^\circ$  і  $270^\circ$ , то віднімається  $180^\circ$  і береться логарифм прямої функції.

## РОЗДІЛ IV

# ЗРІВНЯННЯ ТЕОДОЛІТНИХ ХОДІВ

## Основні положення

Завдання зрівняння теодолітних ходів полягає в такому погодженні виміряних даних, при якому будуть суворо додержані геометричні умови теодолітних полігонів (наприклад, у зімкнутих полігонах сума внутрішніх виміряних кутів повинна відповідати теоретичній сумі, сума прирощень по осі  $X$  і по осі  $Y$  повинна дорівнювати 0) і внесені поправки у виміряні дані, щоб додержати геометричні умови, повинні по знаку і величині відповідати ймовірній помилковості виправлюваного елемента. Суворе розв'язання цієї задачі досягається способом найменших квадратів, застосуванням якого вносимі в теодолітні ходи зрушення невеликі по своїх розмірах і не перевищують наперед обумовленої точності. Проте, зрівняльні обчислення за способом найменших квадратів потребують складних і значних по обсягу обчислювальних операцій. Тому зрівнювання теодолітних ходів звичайної точності (не полігонометричних робіт) провадиться спрощеними способами, що забезпечують не поліпшення виміряних даних, а тільки приведення їх у відповідність з геометричними умовами, яким вони повинні задовольняти і, крім того, які забезпечують мінімальну деформацію теодолітних ходів у наслідок похибок вимірів та вихідних даних (триангуляційних або полігонометричних пунктів).

Пропоновані нижче способи зрівняльних обчислень дають для системи теодолітних ходів:

а) одну цілком визначену систему поправок, яка примірно забезпечує в межах точності вимірювальних робіт ймовірніше значення виміряних величин;

б) просту схему обчислювальних дій по можливості застосовувану до різних окремих випадків, що зустрічаються на практиці, яка потребує порівняно невелику кількість часу.

Зазначене вище спрощення зрівняльних обчислень теодолітних ходів порівняно з способом найменших квадратів досягається, головним чином, за рахунок попереднього зрівняння кутів, а потім зрівняння прирощень, обчислених по виправлених кутах.

## Зрівняння теодолітних ходів між двома триангуляційними пунктами

Зрівняння теодолітного ходу, прокладеного між двома триангуляційними пунктами, провадиться так:

1. Підраховується кутова нев'язка в теодолітному ході за формулою

$$F_{\beta} = T_n - T_1 + 180^\circ n - \sum_1^n \beta,$$

де:  $F_{\beta}$  — кутова нев'язка,

$T_n - T_1$  — різниця дирекційних кутів початкового і кінцевого стану (сторони) теодолітного ходу,

$n$  — число кутів,

$\sum_1^n \beta$  — сума вправо за ходом лежачих кутів теодолітного ходу.

2. Якщо кутова нев'язка припустима, то розподіляють її з супротивним знаком на рівні частини на всі виміряні кути<sup>1</sup>.

3. Обчислюються дирекційні кути всіх сторін теодолітного ходу.

4. Вводиться поправка за переведення вимірних віддалів на проекцію Гауса-Крюгера.

5. Обчислюються прирощення координат по таблицях натуральних значень тригонометричних функцій, таблицях Гауса, логарифмах або інших таблицях. Нев'язка у прирощеннях координат розраховується за формулою:

$$F_y = [\Delta y] - (y_n - y_1); \quad F_x = [\Delta x] - (x_n - x_1),$$

де:  $x_1, y_1, x_n, y_n$  — відповідно координати початкової і кінцевої точок теодолітного ходу (триангуляційні пункти).

Потім обчислюється нев'язка в периметрі:  $F = \pm \sqrt{F_y^2 + F_x^2}$ .

6. Якщо нев'язка у периметрі припустима, то розподіляють нев'язки у прирощеннях координат пропорціонально довжинам ліній теодолітного ходу<sup>2</sup>.

7. По зазначених прирощеннях координат обчислюють координати всіх пунктів теодолітного ходу.

<sup>1</sup> Припустима кутова нев'язка для теодолітних ходів по межах земель колгоспів визначається за формулою  $\pm 1,5 \sqrt{n}$ , а для теодолітних ходів, прокладуваних як геодезичне обґрунтування знімальних робіт масштабу 1:10 000  $\pm M \sqrt{n}$ , де:  $n$  — кількість кутів ходу, а  $M = \pm 0,5$  або  $\pm 0,7$  залежно від довжини ходу (різна точність вимірювання кутів у ходах до 8 і більше кілометрів).

<sup>2</sup> Припустима нев'язка в периметрі для теодолітних ходів по межах земель колгоспів не повинна перевищувати 1:1 500, а для теодолітних ходів, які робляться як геодезичне обґрунтування масштабу 1:10 000, перевищувати для ходів до 8 км 1:2 500 — 1:1 500, залежно від умов вимірів, а понад 8 км — 1:5 000 (інструкцією встановлюється різна точність вимірювання кутів і довжин ліній).

Приклад обчислення теодолітного ходу, прокладеного між двома триангуляційними пунктами: Россохти і Ілліціно (рис. 50).

Треба мати на увазі, що в разі витягнутого теодолітного ходу нев'язку в периметрі  $F$  можна розкласти на нев'язку подовжню (лінійну)  $t$  і поперечну (кутову)  $u$ , які є наслідком

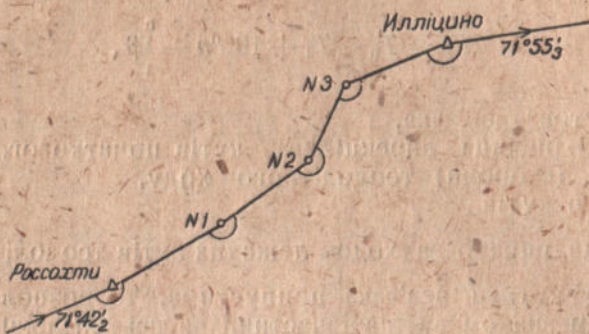


Рис. 50

похибок у довжинах ліній і кутах (якщо, звичайно, вважати вихідні дані — дирекційні кути і координати — точними).

$$t = \frac{F_x [\Delta x] + F_y [\Delta y]}{L},$$

$$u = \frac{F_y [\Delta x] - F_x [\Delta y]}{L},$$

де:  $L = \pm \sqrt{[\Delta x]^2 + [\Delta y]^2} = \sqrt{(x_b - x_a)^2 + (y_b - y_a)^2}.$

Зазначена особливість витягнутих ходів застосована проф. Чеботарьовим для створення точного способу зрівняння витягнутих теодолітних ходів (спільне зрівняння кутів і довжин ліній за способом найменших квадратів) простого, з погляду обчислювальних операцій („Геодезист“, № 2—3, 1932 р., а також Юркевич, — Паралактична полігонометрія).

В тому разі, коли треба зрівняти кути в розімкнутому ході при даних справжніх азимутах кінцевих станів (еторін), то у формулу нев'язки треба ввести поправку за зближення меридіанів —  $\gamma$ , тобто

$$F\beta = \alpha_n - \alpha_1 + n 180^\circ - \sum_1^n \beta \pm \gamma,$$

$\gamma$  додається з знаком +, якщо кінець ходу лежить до заходу від осьового меридіана, і з знаком —, якщо кінець ходу лежить на схід від осьового меридіана.

Цей випадок зрівняння теодолітного ходу може бути при проведенні прив'язування типу згаданого раніше в другому розділі.

№	Виміряні кути	Пов'язані кути	Дирекційні кути	Вимірювання довжин ліній S в м	Ут з ринсунку (в км)	Редукція $S \frac{\gamma}{2 R^2}$ (в м)	$\alpha$ (в м)	$lg \cos \theta$ $lg d$ $lg \sin \theta$	$lg d \cos \theta$ $lg d \sin \theta$	Обчислені		Пов'язані	
										$\Delta x$	$\Delta y$	$\Delta x$	$\Delta y$
P	179°55,4	179°55,6	71°42,2	639,82	129,6	0,13	639,95	9,40516 2,80684 9,97765	2,30130 2,78379	+200,12	+607,84	+200,18	+607,72
1	1-5 21,5	185 21,7	66°24'9	628,30	130,2	0,13	628,43	9,60218 2,70826	2,40044 2,76038	+251,44	+575,94	+251,50	+575,82
2	238 39,4	238 39,6	7°45'3	564,90	130,6	0,11	565,01	9,99601 2,75206 9,13013	2,74807 1,88219	+559,85	+76,24	+559,90	+76,13
3	143 51,4	143 51,6	43°33'7	302,88	130,7	0,06	302,94	9,85770 2,48136 9,84094	2,33906 1,32230	+218,30	+210,04	+218,33	+209,97
4	151 58,2	151 58,4	71°55'3	2135,90		0,43	2136,33			+1 229,71	+1 480,06	+1 229,91	+1 479,64

$$F_x = -0,20 \quad F_y = +0,42$$

$$F = \sqrt{(0,2)^2 + (0,42)^2} = 0,45$$

$$\frac{0,45}{2136,33} \approx \frac{1}{4750}$$

$$F\beta = -1'$$

Допустимо

$$1\sqrt{5} \approx 2'$$

Треба мати на увазі, що до зрівняння кутів у теодолітних ходах, безпосередньо прив'язаних до триангуляційної сітки, треба попередньо пов'язати прив'язані кути. Випадок прив'язування до двох і до одного напрямку в вимірюваннях додаткового до  $360^\circ$  кута дано на рисунку 51. В першому разі до кута  $\beta_1$ , що безпосередньо надходить до обчислення, додають поправку за формулою:  $\beta - \frac{F}{2}$ , де  $F = \beta_2 - \beta_1 - \alpha$ , а  $\alpha$  — даний кут між двома

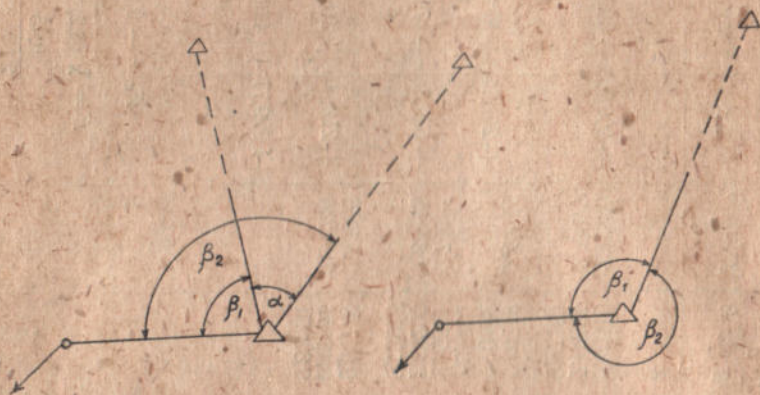


Рис. 51

тригонометричними пунктами. У другому разі також  $\beta_1 - \frac{F}{2}$ , де  $F = \beta_1 + \beta_2 - 360^\circ$ .

### Виявлення грубих похибок вимірів

Якщо у процесі зрівняння буде встановлена неприпустима нев'язка, то можна в деяких випадках встановити той кут або ту сторону, де зроблена груба похибка.

Так, грубу похибку лінійних вимірів треба шукати в лініях паралельних нев'язці в периметрі, що мають з нев'язкою однаковий або примірно однаковий дирекційний кут. Для цього попередньо за формулою

$$\operatorname{tg} \alpha = \frac{\sum \Delta y}{\sum \Delta x}$$

встановлюється дирекційний кут нев'язки в периметрі.

Грубу похибку в куті можна знайти, якщо обчислити приріст координат не зважаючи на грубу нев'язку в кутах. Потім за одною з формул:

$$y = \frac{\sum \Delta x \cos(\alpha - \frac{1}{2} u)}{2 \sin \alpha \sin \frac{1}{2} u}; \quad x = \frac{\sum \Delta y \sin(\alpha - \frac{1}{2} u)}{2 \sin \alpha \sin \frac{1}{2} u}$$

визначити ординату або абсцису, на якій лежить вершина кута, що має грубу похибку. В останніх формулах  $\mu$  — похибка виявлена порівнянням суми вимірених кутів з сумою теоретичною.

## Спосіб Егерта

При пов'язуванні розімкненого теодолітного ходу можна застосувати такий наближений прийом, запропонований проф. Егертом.

1. Беручи за вихідний дирекційний кут сторони тригонометричної сітки і початок координат одного триангуляційного пункту, робимо обчислення координат другого (кінцевого) триангуляційного пункту.

2. Обчислюємо нев'язку в координатах другого (кінцевого) триангуляційного пункту  $F_x$  і  $F_y$ , порівнюємо її з припустимою і розгортаємо її на всі координати точок теодолітного ходу за формулами:

$$d_{x1} = \frac{S_1}{[S]} F_x; \quad d_{y1} = \frac{S_1}{[S]} F_y; \quad d_{x2} = \frac{S_2}{[S]} F_x; \quad d_{y2} = \frac{S_2}{[S]} F_y,$$

де:  $d_{x1}, d_{x2}, \dots, d_{y1}, d_{y2}, \dots$  поправки в координати точок теодолітних ходів;  $S_1, S_2, \dots$  довжини окремих сторін (станів) теодолітного ходу;  $[S]$  — периметр теодолітного ходу.

Наведений спосіб зручний для другорядних теодолітних ходів (ситуаційних), по яких зрівняні дані по довжинах ліній і дирекційних кутах для наступних робіт непотрібні, потрібні тільки координати (для накладання і обчислення площ).

## Спосіб вузлових точок (одна вузлова точка)

Точка перетину двох або кількох теодолітних ходів зветься вузловою точкою. Для надійнішого визначення положення вузлової точки намагаються передусім одержати її від пункту тригонометричної сітки (звичайно методом оберненої засічки), а при неможливості цього, застосовують спосіб обчислення координат вузлової точки.

Припустимо, що в точці  $K$  перетинаються два теодолітних ходи  $AB$  і  $CD$  (рис. 52). Користуючись вузловою точкою  $K$ , можна ці два ходи розчленувати на чотири:  $AK, BK, CK$  і  $DK$  і обчислити дирекційний кут лінії  $KN$  і координати точки  $K$  чотири рази. В кожному з цих обчислень дирекційного

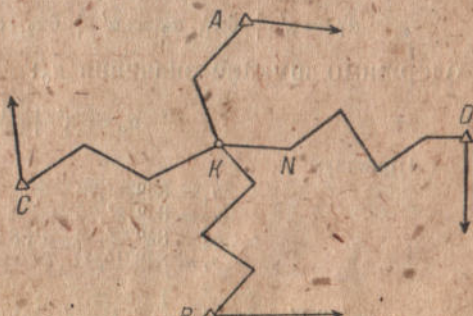


Рис. 52

кута  $KN$  будемо включати різне число кутів: за ходом  $AK$  — 3 кути, за ходом  $BK$  — 5 кутів, за ходом  $CK$  — 4 кути, за ходом  $DK$  — 6 кутів і, значить, одержані окремі значення дирекційного  $KN$  матимуть різну вагу, бо чим більше число вимірних кутів бере участь в обчисленні, тим більше число неминучих випадкових похибок увійде в одержане значення дирекційного кута. Припустимо, що кут вимірний з середньою квадратичною похибкою  $\pm E$ . Тоді обчислений за першим ходом ( $AK$ ) дирекційний кут лінії  $KN$ , позначений через  $\alpha$ , матиме середню квадратичну похибку:

$$M_1 = \pm \sqrt{E^2 + E^2 + E^2} = \pm E \sqrt{3} \text{ або вагу } P_1 = \frac{1}{E^2 \cdot 3}$$

Продовжуючи аналогічне міркування для решти ходів, одержимо

$$P_2 = \frac{1}{E^2 \cdot 5}, \quad P_3 = \frac{1}{E^2 \cdot 4}, \quad P_4 = \frac{1}{E^2 \cdot 6}$$

Приймаючи  $\frac{1}{E^2} = 1$  знайдемо вагу обчислених дирекційних кутів у вигляді:

$$P_1 = \frac{1}{3}, \quad P_2 = \frac{1}{5}, \quad P_3 = \frac{1}{4}, \quad P_4 = \frac{1}{6}$$

Ймовірніше значення дирекційного кута  $\alpha_0$  лінії  $KN$  визначиться за формулою загальної арифметичної середини (вагова середина):

$$\alpha_0 = \frac{\alpha_1 P_1 + \alpha_2 P_2 + \alpha_3 P_3 + \alpha_4 P_4}{P_1 + P_2 + P_3 + P_4} = \frac{[\alpha P]}{[P]}$$

На практиці обчислення загальної арифметичної середини спрощується попереднім визначенням наближеного значення шуканого дирекційного кута, позначуваного через  $\alpha'$ , тоді, обчислюючи поправки за формулами:

$$\alpha_1 = \alpha' + \delta\alpha_1, \quad \alpha_2 = \alpha' + \delta\alpha_2, \quad \alpha_3 = \alpha' + \delta\alpha_3, \quad \alpha_4 = \alpha' + \delta\alpha_4$$

одержимо шукане значення  $\alpha_0$ :

$$\alpha_0 = \alpha' + \frac{[\delta\alpha \cdot P]}{[P]}$$

Приклад:

$\alpha_1 = 84^\circ 20', 25$	$\delta\alpha_1 = + 0', 25$	
$\alpha_2 = 84^\circ 19', 75$	$\delta\alpha_2 = - 0', 25$	
$\alpha_3 = 84^\circ 20', 50$	$\delta\alpha_3 = + 0', 50$	$\alpha' = 84^\circ 20',$
$\alpha_4 = 84^\circ 21', 00$	$\delta\alpha_4 = + 1', 00$	

$$\begin{aligned} \alpha_0 &= 84^\circ 20' + 0' : 25 \cdot \frac{1}{3} + (-0' : 25) \cdot \frac{1}{5} + 0' : 50 \cdot \frac{1}{4} + 1' : 00 \cdot \frac{1}{5} = \\ &= \frac{1}{3} + \frac{1}{5} + \frac{1}{4} + \frac{1}{5} \end{aligned}$$

$$\alpha_0 = 84^\circ 20' + \frac{0',08 + (-0',05) + 0',12 + 0,20}{100 + 60 + 75 + 60} \cdot 300 = 84^\circ 20' + 0',35 \cdot \frac{300}{295} = 84^\circ 20', 36$$



За дирекційним кутом лінії  $KN$  і дирекційних кутах напрямів з тригонометричних пунктів виправляються кути кожного ходу окремо.

За виправленими (пов'язаними) дирекційними кутами і вимірними довжинами сторін обчислюють приращення координат і, підсумовуючи ці приращення за кожним ходом з координатами вихідного триангуляційного пункту, одержують чотири значення координат точки  $K$ . Ці значення координат матимуть різні ваги, залежно від периметра ходу. Чим довше периметри, тим менша

його вага  $q = \frac{1}{M^2}$ , де  $M$  — середня похибка вимірювання периметра —  $[S]$ . Взагалі для довжини  $S$  (кількість укладань стрічки) середня квадратична похибка вимірювання буде  $m\sqrt{S}$ , де  $m$  — середньоквадратична похибка одного укладання стрічки, звідси  $M = m\sqrt{[S]}$  і тому вага  $q = \frac{K}{M^2} = \frac{K}{m^2[S]}$ , а позначаючи  $\frac{K}{m^2} = 1$

одержимо  $q = \frac{1}{[S]}$ . На підставі цього можна прийняти таку вагу для кожного з чотирьох ходів:

$$q_1 = \frac{1}{[S]_1}, \quad q_2 = \frac{1}{[S]_2}, \quad q_3 = \frac{1}{[S]_3}, \quad q_4 = \frac{1}{[S]_4}.$$

Користуючись цією вагою, знайдемо шукані координати точки  $K$ , як зважене арифметичне середнє:

$$x_0 = \frac{x_1q_1 + x_2q_2 + x_3q_3 + x_4q_4}{q_1 + q_2 + q_3 + q_4} = \frac{[x_1q_1]}{[q]},$$

$$y_0 = \frac{[y_1q_1]}{[q]}.$$

Обчислення цих координат можна трохи спростити, прийнявши на початку якесь наближене значення для них  $x'$  і  $y'$  і обчисливши відповідні поправки до них:

$$x_1 = x' + \delta_{x1}, \quad y_1 = y' + \delta_{y1}, \quad x_2 = x' + \delta_{x2}, \quad y_2 = y' + \delta_{y2}, \quad \text{і т. д.}$$

Тоді координати точки  $K$  будуть:

$$x_0 = x' + \frac{[q\delta_x]}{[q]}, \quad y_0 = y' + \frac{[q\delta_y]}{[q]}$$

Приклад:

$$x_1 = +190,83 \quad y_1 = +168,72 \quad \delta_{x1} = +2,83 \quad \delta_{y1} = +1,72 \quad x'_1 = +188,00$$

$$x_2 = +191,40 \quad y_2 = +168,69 \quad \delta_{x2} = +3,40 \quad \delta_{y2} = +1,69 \quad y'_1 = +167,00$$

$$x_3 = +188,67 \quad y_3 = +167,10 \quad \delta_{x3} = +0,67 \quad \delta_{y3} = +0,10$$

$$q_1 = \frac{100}{187,62} = 0,53, \quad q_2 = \frac{100}{175,39} = 0,57, \quad q_3 = \frac{100}{328,90} = 0,30;$$

$$x_0 = +188,00 + \frac{2,83 \cdot 0,53 + 3,40 \cdot 0,57 + 0,67 \cdot 0,30}{0,53 + 0,57 + 0,30} = +190,60;$$

$$y_0 = +167,00 + \frac{1,72 \cdot 0,53 + 1,59 \cdot 0,57 + 0,10 \cdot 0,30}{0,53 + 0,57 + 0,30} = +168,36.$$

Для оцінки похибки одержання дирекційного кута вузлової лінії або координат вузлової точки, користуються формулою

$$M = \pm \sqrt{\frac{[P\delta^2]}{(n-1)[P]}}$$

де:  $P$  — вага окремих ходів,

$\delta$  — відхилення окремих результатів від арифметичного середнього (ймовірніша похибка),

$n$  — кількість ходів, по яких обчислювалася вузлова точка.

### Спосіб вузлових точок (дві вузлових точки)

Зрівнювання теодолітних ходів при наявності двох вузлових точок робиться способом еквівалентної заміни. Так, припустимо, між чотирма триангуляційними пунктами  $A, B, C$  і  $D$  прокладено теодолітні ходи з утворенням двох вузлових точок  $E$  і  $R$  (рис. 53). Прокладені теодолітні ходи можна розкласти на 5 ходів, які зрівняти самостійно (як

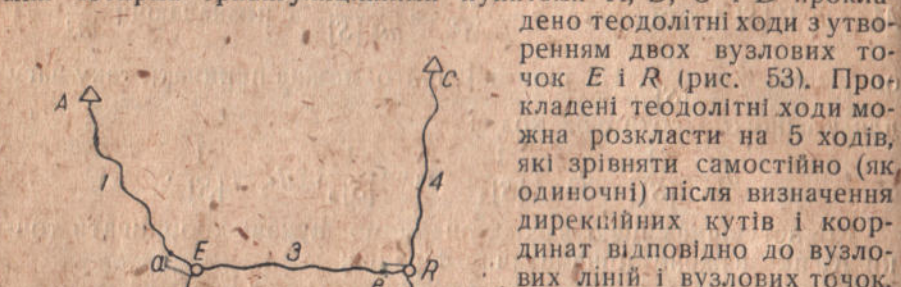


Рис. 53

розкладені двох вузлових точок  $E$  і  $R$  (рис. 53). Прокладені теодолітні ходи можна розкласти на 5 ходів, які зрівняти самостійно (як одиничні) після визначення дирекційних кутів і координат відповідно до вузлових ліній і вузлових точок.

Визначення дирекційних кутів вузлових ліній робиться так:

1. Обчислюється ймовірніше значення дирекційного кута якоїсь лінії, прилеглої до вузлової точки (вузлова лінія), наприклад, прилеглої до вузлової точки  $E$ , тобто  $\alpha_E$

$$\alpha_{aE} = \frac{\alpha_{aE1} \cdot P_1 + \alpha_{aE2} \cdot P_2}{P_1 + P_2}$$

де:  $\alpha_{aE1}$  і  $\alpha_{aE2}$  відповідно значення дирекційного кута  $aE$  обчислені за першим і другим ходам;

$P_1 = \frac{1}{n_1}$  і  $P_2 = \frac{1}{n_2}$  суть ваги, обчислені, як величини обернено пропорціональні кількості кутів  $n$  відповідно в 1 і 2 ході.

2. Обчислюється кількість кутів в ході, еквівалентному ходам 1 і 2:

$$n_{1,2} = \frac{1}{P_1 + P_2}$$

3. Обчислюється ймовірніше значення дирекційного кута якоїсь лінії, прилеглої до другої вузлової точки (вузлова лінія), в даному разі  $eR$ :

$$\alpha_{eR} = \frac{\alpha_{eR1} P_{123} + \alpha_{eR4} P_4 + \alpha_{eR5} P_5}{P_{123} + P_4 + P_5},$$

де:  $\alpha_{eR1}$  — обчислено від дирекційного кута  $\alpha'_{aE}$  за ходом 3,  $\alpha_{eR4}$  і  $\alpha_{eR5}$  відповідно обчислені за ходами 4 і 5,

$$P_{1,23} = \frac{1}{n_{12} + n_3}, \quad P_4 = \frac{1}{n_4}, \quad P_5 = \frac{1}{n_5}$$

$n_3, n_4$  і  $n_5$  відповідно кількість кутів у ходах 3, 4 і 5.

4. Обчислення остаточного значення дирекційного кута лінії  $aE$ :

$$\alpha_{aE} = \alpha'_{aE} - \frac{\alpha_{eR1} - \alpha_{eR}}{n_{12} + n_3} n_{12}.$$

Після визначення дирекційних кутів вузлових ліній обчислюються координати вузлових точок:

1. Обчислюється ймовірніше значення координат вузлової точки  $E$ :  $x'_E = \frac{x_{E1} \cdot P_1 + x_{E2} P_2}{P_1 + P_2}$ ;  $y'_E = \frac{y_{E1} P_1 + y_{E2} P_2}{P_1 + P_2}$

де:  $x_{E1}$  і  $y_{E1}$ ,  $x_{E2}$  і  $y_{E2}$  — відповідно значення координат, обчислені за 1 і 2 ходами,  $P_1 = \frac{1}{l_1}$ ,  $P_2 = \frac{1}{l_2}$  суть ваги ходів, обчислені за периметрами  $l_1$  і  $l_2$  1 і 2 ходів.

2. Обчислення довжини ходу, еквівалентного 1 і 2 ходам:

$$l_{12} = \frac{1}{P_1 + P_2}$$

3. Обчислення ймовірнішого значення координат вузлової точки  $R$ :

$$x_R = \frac{(x'_E + \Sigma \Delta x_3) P_{123} + x_{R4} P_4 + x_{R5} P_5}{P_{123} + P_4 + P_5},$$

$$y_R = \frac{(y'_E + \Sigma \Delta y_3) P_{123} + y_{R4} P_4 + y_{R5} P_5}{P_{123} + P_4 + P_5},$$

де:  $\Sigma \Delta x_3$  і  $\Sigma \Delta y_3$  — суми прирощень координат 3 ходу,  $x_{R4}$ ,  $y_{R4}$ ,  $x_{R5}$  і  $y_{R5}$  — координати точки  $R$  обчислені з 4 і 5 ходів, а

$$P_{123} = \frac{1}{l_{12} + l_3}, \quad P_4 = \frac{1}{l_4}, \quad P_5 = \frac{1}{l_5}.$$

4. Обчислення остаточного значення координат точки  $E$ :

$$x_E = x'_E - \frac{(x'_E + \Sigma \Delta x_3) - x_R}{l_{12} + l_3} l_{12},$$

$$y_E = y'_E - \frac{(y'_E + \Sigma \Delta y_3) - y_R}{l_{12} + l_3} l_{12}.$$

Ходи 1, 2, 3, 4 і 5 надалі зрівнюються як розімкнуті між твердими значеннями дирекційних кутів і координат.

Цей прийом еквівалентної заміни може бути застосований і при більшій кількості вузлових точок, проте він вимагає більше часу, ніж наведений нижче спосіб Урмаєва.

Закінчуючи виклад способу вузлових точок, треба відмітити, що коли вузлові точки будуть розміщені так, що, з'єднуючі їх ходи утворюють замкнуту фігуру, то треба попередньо зрівняти кути і прирощення саме в цій замкнутій фігурі.

### Спосіб Урмаєва

У тому разі, коли ми маємо систему теодолітних ходів, прив'язану до триангуляційної сітки з утворенням значної кількості вузлових точок, то для проведення спільного зрівняння цієї системи теодолітних ходів найраціональнішим буде метод послідовних наближень (запропонований Урмаєвим для зрівняння висот у триангуляційній сітці<sup>1</sup>).

Щоб ясніше уявити суть способу, розглянемо конкретний приклад. Потрібно зрівняти 4 полігони, прив'язані у 3 місцях до пунктів триангуляції (рис. 54). Перед тим, як почати пов'язування, складаємо схематичний рисунок сітки теодолітних ходів з прив'язуванням до триангуляційної сітки. Позначаємо римськими цифрами вузлові точки і арабськими — суміжні точки з вузловими. Для полегшення обчислень виписуємо на схемі кути при вузлових точках і суміжних з ними точках, а також прив'язані кути на триангуляційних пунктах. Потім рядом з відповідною секцією теодолітного ходу виписуємо у чисельнику суму кутів по секції (без вузлових і суміжних з ними кутів), і у знаменнику кількість кутів, що утворили цю суму. Підраховуємо суму виміряних кутів по кожному полігону і порівнюємо її з теоретичною сумою кутів, а звідси обчислюємо нев'язки в полігонах. Потім, за даними схематичного рисунку, обчислюємо нев'язки в дирекційних кутах по теодолітних ходах між триангуляційними пунктами. Цей контроль виконують обов'язково, тому що по полігонах можуть бути одержані припустимі нев'язки при наявності грубих похибок.

Якщо недопустимих нев'язок зазначеним вище способом не виявлено, то починають зрівнювати дирекційні кути всіх вузлових ліній (I—1, II—2 і т. д.). Дирекційний кут кожної вузлової лінії може бути обчислений не менше, як з 3 суміжних вузлових ліній. Для пов'язання дирекційних кутів складаємо відомість 1. У першу графу відомості (вузлова лінія) виписується назва вузлової лінії, при чому в першу чергу треба виписати ті вузлові лінії, дирекційний кут яких обчислюється безпосередньо з прив'язних ходів. До другої графи схеми виписується назва

<sup>1</sup> Урмаєв, — Руководство по обработке триангуляции.

вихідних вузлових ліній, від яких може бути обчислений шуканий дирекційний кут вузлової лінії, записаної у першій графі. Потім заповнюється третя графа (сума кутів), в якій записується проти кожної вихідної вузлової лінії, підрахована з схематичного

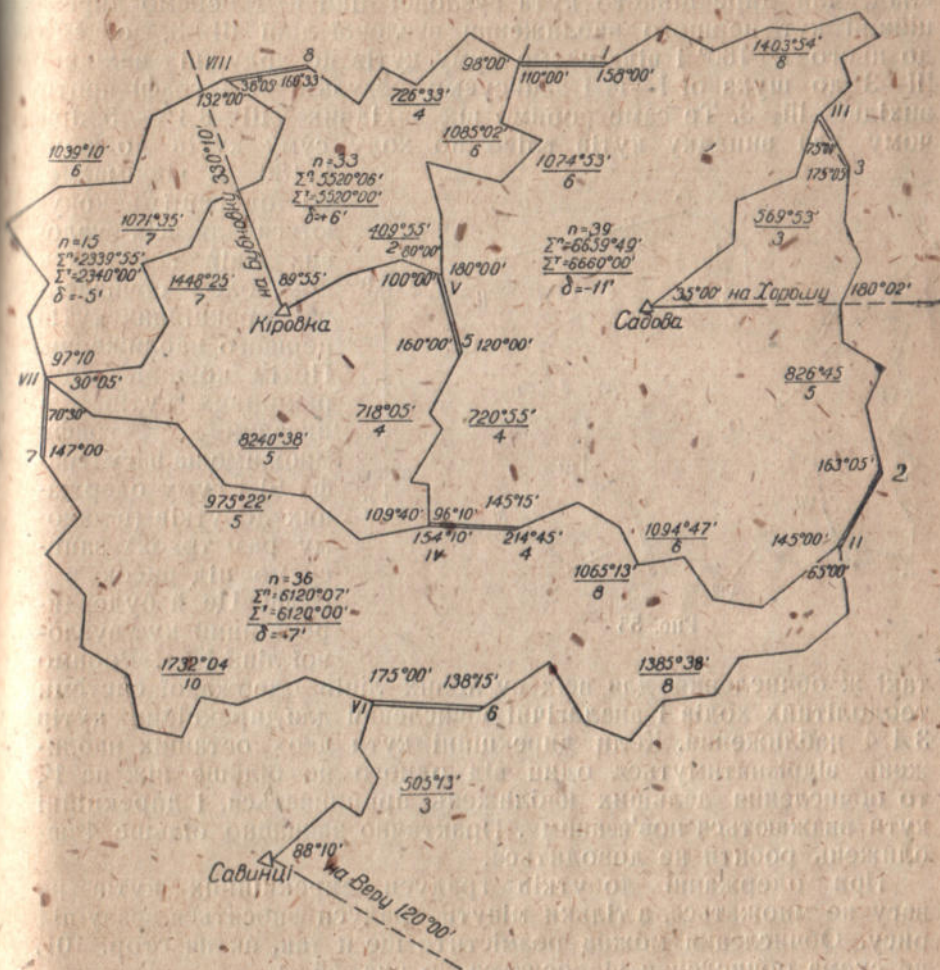


Рис. 54

рисунку сума всіх кутів, що зв'язують вихідну й шукану вузлові лінії. У 4 графі записується вага кожного теодолітного ходу між вихідною і шуканою вузловою лінією, обчислювана шляхом ділення одиниці на число кутів ходу.

Підраховуємо суму ваг всіх ходів, з якими обчислюється шуканий дирекційний кут вузлової лінії, і в 6 графі приводимо цю суму до одиниці через ділення ваги окремих ходів на

обчислену суму ваги. Потім, обчислюємо дирекційні кути першого наближення (7 графа), на початку всіх вузлових ліній, суміжних з триангуляційними пунктами, і потім всіх інших вузлових ліній. Дирекційні кути другого наближення обчислюються так: наприклад, для дирекційного кута вузлової лінії I—1 беремо дирекційний кут першого наближення вузлової лінії III—3, додаємо до нього  $n \cdot 180^\circ$  і віднімаємо суму кутів по ходу (від вихідної III—3 до шуканої I—1) і записуємо результат у 7 графі проти вихідної III—3. Те саме робимо від вихідних VIII—8 і V—5, причому для випадку кутів вліво по ходу суму кутів додаємо і  $180^\circ$  віднімаємо.

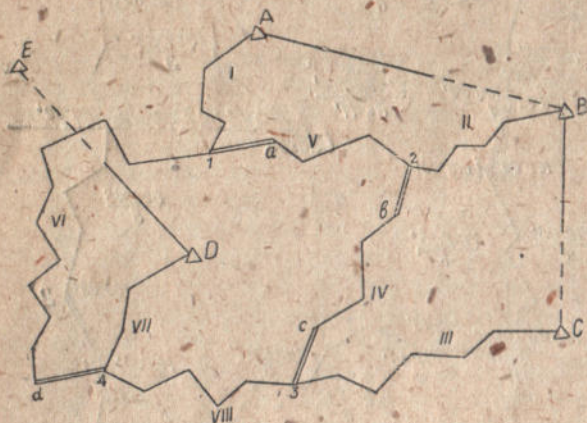


Рис. 55

Ці операції виконуються для всіх вузлових ліній і служать контролем обчислення дирекційних кутів першого наближення. Потім кожний з дирекційних кутів, записаний до 7 графі множимо на вагу (графі 5) і суму одержаних добутків (в даному разі трьох) записуємо під рисою в 7 графі. Це й буде дирекційний кут вузлової лінії I—1. Робимо

такі ж обчислення для всіх вузлових ліній одержаної системи теодолітних ходів і аналогічні обчислення для дирекційних кутів 3 і 4 наближення. Коли дирекційні кути двох останніх наближень відрізнятимуться один від одного не більше ніж на  $1'$ , то обчислення дальших наближень припиняється, і дирекційні кути вважаються пов'язаними. Практично звичайно більше 4 наближень робити не доводиться.

При одержанні добутків градуси дирекційних кутів на вагу не множаться, а тільки мінути, градуси зносяться зразу під рису. Обчислення можна розмістити ще й так, як на стор. 101, де схема обчислення відноситься до рис. 55.

Обчислені зазначеними способами дирекційні кути випишуємо у відомість координат, складену за окремими ходами полігонів, від вузлової точки до вузлової точки і потім пов'язуємо кути в цих окремих розімкнутих ходах. Для цього обчислюємо нев'язку в кутах по ходу між твердими дирекційними кутами й розкидаємо її звичайним способом (рівномірно на всі кути). Обчислюємо дирекційні кути всіх ліній ходу і приріст координат. Для пов'язання прирощення складаємо схематичний рисунок (рис. 56), на якому випишуємо суму прирощень за окремими ходами

І за полігонами, з зазначенням периметра окремих ходів. Також обчислюємо нев'язки за ходами (між триангуляційними пунктами І за полігонами).

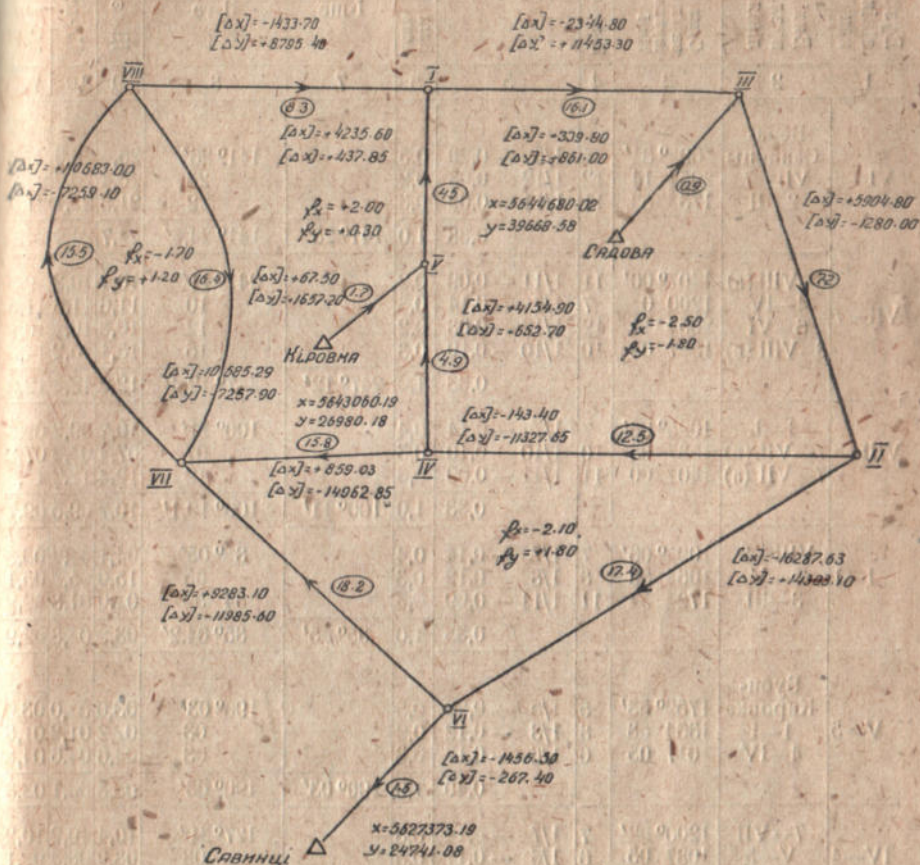


Рис. 56

В тому разі, якщо нев'язки припустимі, то починають обчислення координат вузлових точок. Обчислення проводять у відомості 2. Ця відомість відрізняється від попередньої тільки тим, що у 3 графі замість суми кутів виписується сума приростів по  $x$ -ам і по  $y$ -ам. За вагу для зрівняння координат береться одиниця ділення на кількість кілометрів відповідного ходу (від вузлової точки до вузлової). Наведена вага обчислюється так, як і при зрівнянні кутів.

Так само обчислюється і перше наближення послідовно один раз для кожної вузлової точки з якоїнебудь суміжної точки.

Відомість зрівняння дирекційних кутів вузлових ліній<sup>1</sup>

Вузлова лінія (шукана)	Вихідна вузлова лінія	Сума кутів від вихідної до шуканої лінії	Кількість кутів	Вага		Вага привеса	Наближення				
							I-ше	II-ге	III-ге	IV-ге	V-ге
1	2	3	4	5	5	7	8	9	10	11	
VI-6	Вера-Савинцы	698° 34'	5	1/5	-0,20	0,5		141° 26'	26,0	26,0	26,0
	VII-7	2054 14	12	1/12	-0,08	0,2		26	26,4	26,2	26,2
	2-II	1733 53	11	1/11	-0,09	0,3		22	21,3	22,1	21,9
					0,38	1,0	141° 25'	141° 24,8'	24,7	24,9	24,8
VII-7	8-VIII (а)	1407° 00'	11	1/11	-0,09	0,2		247° 11'	10,1	10,2	9,5
	4-IV	1200 02	7	1/7	-0,14	0,3		10	11,6	11,6	11,8
	6-VI	2054 14	12	1/12	-0,08	0,2		12	10,8	10,7	10,9
	8-VIII (в)	1587 05	10	1/10	-0,10	0,3		16	15,1	15,2	14,5
					0,33	1,0	247° 12'	247° 12,4'	12,2	12,2	12,0
VIII-8	1-I	1095° 06'	7	1/7	-0,14	0,4		100° 11'	10,2	09,2	09,8
	7-VII (в)	1587 05	10	1/10	-0,10	0,3		07	07,4	07,2	07,2
	7-VII (а)	1407 00	11	1/11	-0,09	0,3		12	12,4	12,2	12,2
					0,33	1,0	100° 11'	100° 10,1'	10,2	09,5	09,7
I-1	VIII-8	1095° 06'	7	1/7	-0,14	0,4		85° 05'	04,1	04,2	03,5
	5-V	1064 58	8	1/8	-0,12	0,3		05	15,0	05,3	05,1
	3-III	1724 54	11	1/11	-0,09	0,3		84 59	02,0	01,8	01,9
					0,35	1,0	85° 05'	85° 04,2'	03,2	03,8	02,9
V-5	Бубн-Кировка	1759° 53'	5	1/5	-0,20	0,5		190° 03'	03,0	03,0	03,0
	1-I	1364 58	8	1/8	-0,12	0,2		03	02,2	01,2	01,8
	4-IV	1017 05	6	1/6	-0,17	0,3		03	04,6	04,6	04,8
					0,40	1,0	190° 03'	190° 03'	03,3	03,1	03,3
IV-4	7-VII	1200° 02'	7	1/7	-0,14	0,3		127° 10'	10,4	10,2	10,2
	V-5	1087 05	6	1/6	-0,17	0,5		08	08,0	08,3	08,1
	II-2	1388 02	8	1/8	-0,12	0,2		13	12,3	13,1	12,8
					0,43	1,0	127° 08'	127° 09,6'	09,6	09,8	09,7
III-3	1-I	1724° 54'	11	1/11	-0,09	0,2		160° 11'	10,2	09,2	09,8
	Хорошо-Садовая	680 03	5	1/5	-0,20	0,5		05	05,0	05,0	05,0
	II-2	1164 50	7	1/7	-0,14	0,3		05	04,3	05,1	4,90
					0,43	1,0	160° 05'	160° 06,2'	05,8	05,9	05,9
II-2	IV-4	1388° 02'	8	1/8	-0,12	0,3		75° 10'	11,6	11,6	11,8
	VI-6	1733 59	11	1/11	-0,09	0,2		19	17,8	17,7	17,9
	III-3	1164 50	7	1/7	-0,14	0,5		15	16,2	15,4	15,9
					0,35	1,0	75° 15'	75° 14,3'	15,1	14,9	15,0

<sup>1</sup> Обчислено інженерами С. Н. Марченком і Костюченком.



Шукана вузлова лінія	Вихідний дирекцій- ний кут	№ ходів	Сума кутів	I наближення $\alpha$	Число кутів	Вага $P$	$\rho$	Наближе- ний ди- рекцій- ний кут $\alpha_0$	$\alpha - \alpha_0$ наближення			По- прав- ки
									II	III	IV	
1a	AB	I	1116° 34,0	81° 58,8	5	0,20	0,4	—	3,8	3,8	3,8	+1,9
	4d	VI	1811 47,5	55,5	11	0,09	0,2	81° 55,0	0,8	0,6	0,7	-1,2
	b <sub>2</sub>	V	1017 16,2	55,3	5	0,20	0,4	—	0,6	0,5	0,7	-1,3
2b	BC	II	1245 26,0	81 57,0	—	0,49	1,0	—	56,9	56,8	56,9	—
	3c	IV	722 40,5	199 11,5	6	0,17	0,3	—	1,5	1,5	1,5	-0,3
	1d	V	782 43,8	10,0	4	0,25	0,4	199 10,0	0,7	1,2	1,1	-0,6
3c	CB	III	1062 47,0	15,0	5	0,20	0,3	—	3,2	3,1	3,0	+1,3
	2b	IV	717 19,5	199 11,8	—	0,62	1,0	—	11,7	11,9	11,8	—
	d <sub>1</sub>	VIII	1151 51,2	21 50,5	7	0,14	0,3	—	0,5	0,5	0,5	-1,2
4d	DE	VII	557 29,0	52,0	4	0,25	0,4	21 50,0	2,3	2,2	2,4	+0,6
	1d	VI	2148 12,5	51,8	6	0,17	0,3	—	2,1	1,9	2,0	+0,3
	c3	VIII	1008 08,8	21 51,2	—	0,56	1,0	—	51,7	51,6	51,7	—
			557 29,0	273 43,0	4	0,25	0,5	—	1,0	1,0	1,0	-0,4
			2148 12,5	46,3	11	0,09	0,2	273 42,0	2,5	2,4	2,3	+1,2
			1008 08,8	41,7	6	0,17	0,3	—	0,4	0,9	0,8	-0,3
				273 43,3	—	0,51	1,0	—	43,1	43,2	43,2	—

Приклад обчислено інж. Яровим.

Шукана вузлова точка	Вихідна вузлова точка	Вага P	Вага P'	Сума прирошень [Δx]	Наблiження				Сума приростiв [Δy]	Наблiження										
					I	II	III	IV		I	II	III	IV							
III	Δ Сад. I	1,11	0,85	+ 393,80	45019,23	19,82	19,82	19,82	19,82	—	—	—	—	—	—	—	—	—	—	—
		0,06	0,04	- 3344,80	—	18,49	18,09	18,09	18,09	—	—	—	—	—	—	—	—	—	—	—
V	Δ Кир. IV	1,31	1,00	+ 67,50	45019,23	19,75	19,75	19,70	19,70	—	—	—	—	—	—	—	—	—	—	—
		0,59	0,58	- 4235,60	43127,69	27,69	27,69	27,29	27,29	—	—	—	—	—	—	—	—	—	—	—
VI	Δ Сав. II	0,20	0,20	+ 4154,20	—	27,12	27,12	27,12	27,12	—	—	—	—	—	—	—	—	—	—	—
		1,01	1,00	—	43127,69	27,57	27,57	27,55	27,55	—	—	—	—	—	—	—	—	—	—	—
II	VII	0,63	0,85	+ 1454,50	—	9,69	9,69	9,69	9,69	—	—	—	—	—	—	—	—	—	—	—
		0,06	0,08	10293,43	28839,69	7,99	7,99	8,05	8,05	—	—	—	—	—	—	—	—	—	—	—
I	VIII	0,05	0,07	- 9203,10	—	9,03	9,03	9,79	9,88	—	—	—	—	—	—	—	—	—	—	—
		0,74	1,00	—	28839,69	39,50	39,50	9,51	9,50	—	—	—	—	—	—	—	—	—	—	—
IV	II	0,14	0,50	- 5904,80	39115,02	115,02	115,02	14,96	14,90	—	—	—	—	—	—	—	—	—	—	—
		0,16	0,29	+ 143,40	—	15,22	15,22	15,95	15,88	—	—	—	—	—	—	—	—	—	—	—
VIII	I	0,06	0,21	10287,48	—	17,32	17,32	17,13	17,13	—	—	—	—	—	—	—	—	—	—	—
		0,26	1,00	—	39115,02	15,68	15,68	15,71	15,65	—	—	—	—	—	—	—	—	—	—	—
IV	IV	0,22	0,55	+ 4235,60	—	63,29	63,29	63,17	63,18	—	—	—	—	—	—	—	—	—	—	—
		0,06	0,15	+ 2344,80	47363,29	64,62	64,62	64,56	64,50	—	—	—	—	—	—	—	—	—	—	—
VIII	IV	0,12	0,30	- 1435,70	—	61,29	61,29	61,8	61,23	—	—	—	—	—	—	—	—	—	—	—
		0,40	1,00	—	39972,22	62,89	62,89	62,8	62,77	—	—	—	—	—	—	—	—	—	—	—
VIII	IV	0,08	0,21	- 143,40	—	72,22	72,22	72,98	72,31	—	—	—	—	—	—	—	—	—	—	—
		0,20	0,58	- 4154,90	—	72,29	72,29	71,67	72,65	—	—	—	—	—	—	—	—	—	—	—
VIII	IV	0,06	0,18	+ 959,03	—	72,22	72,22	71,92	72,01	—	—	—	—	—	—	—	—	—	—	—
		0,34	1,00	—	38113,19	72,55	72,55	72,44	72,44	—	—	—	—	—	—	—	—	—	—	—
VIII	IV	0,06	0,26	- 859,03	—	113,19	113,19	13,52	13,41	—	—	—	—	—	—	—	—	—	—	—
		0,05	0,22	+ 9283,10	—	112,89	112,89	12,60	12,61	—	—	—	—	—	—	—	—	—	—	—
VIII	IV	0,06	0,26	10625,23	—	113,76	113,76	12,0	11,70	—	—	—	—	—	—	—	—	—	—	—
		0,06	0,26	10683,53	—	113,46	113,46	13,75	13,40	—	—	—	—	—	—	—	—	—	—	—
VIII	IV	0,23	1,00	—	38113,19	112,89	112,89	12,98	12,78	—	—	—	—	—	—	—	—	—	—	—
		0,12	0,50	+ 1433,70	48796,99	96,99	96,99	96,59	96,59	—	—	—	—	—	—	—	—	—	—	—
VIII	IV	0,06	0,25	10685,23	—	98,42	98,42	98,21	98,21	—	—	—	—	—	—	—	—	—	—	—
		0,06	0,25	10683,53	—	96,72	96,72	96,42	96,51	—	—	—	—	—	—	—	—	—	—	—
		0,24	1,00	—	48796,99	97,28	97,28	96,93	96,96	—	—	—	—	—	—	—	—	—	—	—

Друге наближення одержується як сума добутків приведеної ваги на одержану величину координати по ходу. Обчислення наближень прилягається тоді, коли два послідовних наближення не відрізняються більше ніж на 0,1 м.

Обчислені координати виписуються в координатну відомість і ходи пов'язуються між цими твердими координатами. Треба мати на увазі, що спосіб послідовних наближень може бути застосований і в разі системи полігонів не прив'язаної до триангуляційної сітки, для цього беруть за тверді попередньо азимут якоїсь сторони і координати якоїсь точки. У наведеному нижче прикладі дано обчислення тільки  $x$ -ових координат, аналогічно провадиться обчислення і  $y$ -ових<sup>1</sup>.

Теоретично спосіб Урмаєва полягає в розв'язанні послідовним наближенням нормальних рівнянь, в які входять як невідомі ймовірніші значення дирекційних кутів вузлових ліній або координат вузлових точок<sup>2</sup>.

### Спосіб полігонів проф. Попова

Проф. Попов для зрівняння сітки полігонів запропонував такий прийом<sup>3</sup>, званий способом полігонів.

Візьмемо сітку довільного вигляду (рис. 57). Хай усі кути її виміряні з однаковою точністю. Кутові нев'язки у I, II, III і т. д. полігонах будуть відповідно:  $u_1, u_2, u_3$  і т. д. Число сторін між вузловими точками буде позначатися літерою  $n$ .

Число кутів треба вважати рівним числу сторін. Кути в полігонах вимірюються звичайним способом прийомів. Кожний кут одержується як різниця двох рівноточних незалежних напрямів. За таких обставин поправки кутів треба шукати під умовою, щоб була мінімальна сума квадратів поправок напрямів.

Поправка кута, що дорівнює різниці поправок двох напрямів, дорівнює подвійній поправці одного напрямів або однаково поправці, що припадає на пару напрямів. Число ж таких пар напрямів у тій чи іншій ланці сітки дорівнює, очевидно, числу прямолінійних відрізків (сторін) у цій ланці.

Коли б кожний з наявних зімкнутих полігонів: I, II, III і т. д. був незалежний від інших, то на кожний кут його припала б одна і та сама поправка. Позначивши її для першого полігону через  $x$ , ми, одержали б на всі його кути, число яких дорівнює  $n_1 + n_2 + n_3$  сумарну поправку:  $x_1(n_1 + n_2 + n_3)$ .

<sup>1</sup> Обчислення зроблено інженерами Марченком і Костюченком на логарифмічній лінійці в одну руку.

<sup>2</sup> Кому бажано детально ознайомитися з теоретичним обґрунтуванням способу Урмаєва, треба звернутися до „Руководства по обработке триангуляций“ Урмаєва, 1932 р. Фактично спосіб розв'язання рівнянь послідовним наближенням належить Аверу, який застосував його при зрівнюванні заповнючої сітки II класу за методом Крюгера, як полегшення розв'язання рівнянь першої групи, проте теоретичне обґрунтування цього способу зроблено Урмаєвим М. А. (бюлетень Управління військових топографів РСЧА, № 3-4 за 1933 рік).

<sup>3</sup> Викладено відповідно до посібника проф. В. В. Попова, — Увязка полигонов.

Так само, для  $\Pi$ ,  $\text{III}$  і т. д. полігонів мали б відповідно

$$x_2(n_{1,2} + n_2 + n_{23}),$$

$$x_3(n_{13} + n_{23} + n_3 + n_{34} + n_{35}) \text{ і т. д.}$$

Кожну з цих сумарних поправок ми прирівняли б до нев'язки відповідного полігону, взятої з оберненим знаком, і з одержаних рівнянь знайшли б усі невідомі  $x$ .

Проте, умова суміжності полігонів трохи змінює справу. Візьмемо, наприклад, полігон  $\text{I}$ . Його кути по лінії  $BD$  доповнюються до  $360^\circ$  кутами  $\text{II}$  полігону.

Виправлення кожного з кутів  $\text{II}$  полігону (що розмішується по цій лінії) на величину  $+x_2$  змінить нев'язку полігону  $\text{I}$  на величину  $-x_2$ , а тому що по лінії  $BD$  ми вважаємо  $n_{12}$  кутів (зокрема, на рис. 57  $n_{12} = 3$ ), то взагалі, виправлення кожного з кутів  $\text{II}$  полігону невідомою нам покищо поправкою  $x_2$  змінить нев'язку полігону  $\text{I}$  на величину  $-n_{12} x_2$  і вона вже буде після цього дорівнювати:  $y_1 - n_{12} x_2$ .

Крім того, по лінії  $AD$  полігон межує з  $\text{III}$  полігоном, внаслідок чого при знищенні нев'язки цього останнього, нев'язка  $\text{I}$  полігону зміниться ще на  $-n_{13} x_3$  і буде загалом дорівнювати:  $y_1 - n_{12} x_2 - n_{13} x_3$ .

Таким чином, умову знищення нев'язки  $\text{I}$  полігону доведеться, очевидно, написати у вигляді рівняння:

$$(n_1 + n_{12} + n_{13})x_1 - n_{12}x_2 - n_{13}x_3 + y_1 = 0.$$

Міркуючи так щодо  $\text{II}$ ,  $\text{III}$  і всіх інших полігонів сітки, можемо написати таке рівняння і для них, після чого одержимо, очевидно, певну систему  $r$  лінійних рівнянь з  $r$  невідомими, де  $r$  число окремих полігонів. Стосовно до рис. 57 система ця матиме вигляд:

$$-(n_1 + n_{12} + n_{13})x_1 - n_{12}x_2 - n_{13}x_3 + y_1 = 0;$$

$$-n_{12}x_1 + (n_{12} + n_2 + n_{23})x_2 - n_{23}x_3 + y_2 = 0;$$

$$-n_{13}x_1 - n_{23}x_2 + (n_{13} + n_{23} + n_3 + n_{34} + n_{35})x_3 - n_{34}x_4 - n_{35}x_5 + y_3 = 0 \text{ і т. д.,}$$

або підставивши замість усіх їх числові значення матимемо:

$$10x_1 - 3x_2 - 2x_3 + y_1 = 0;$$

$$-3x_1 + 8x_2 - 3x_3 + y_2 = 0;$$

$$-2x_1 - 3x_2 + 15x_3 - 3x_4 - 2x_5 + y_3 = 0 \text{ і т. д.}$$

Розв'язавши цю систему, одержимо поправки, що припадають на один кут.

Для ліній  $AB$ ,  $BC$ ,  $CD$  і т. д. (рис. 57), що розміщуються по периферії сітки, фактичні поправки, що припадають на один кут, будуть очевидно, дорівнювати відповідним  $x$ .

Для ланок  $BD$ ,  $AD$ ,  $CD$  і т. д., що лежать в середині сітки, які належать водночас двом суміжним полігонам, поправки,

згідно з умовами, прийнятими при складанні рівнянь, дорівнюватимуть різницям двох відповідних  $x$ . Так, по лінії  $BD$ , що лежить між II і I полігонами, праві по її ходу кути, тобто внутрішні кути I полігону, повинні дістати поправки:  $x_1 - x_2$ , кути праві по ходу  $x_2 - x_1$ .

Поправки кутів при вузлових точках треба одержувати інакше. Так, наприклад, для кута  $\alpha$  при точці  $A$  (рис. 57) поправка буде:  $x_1 - \frac{1}{2} x_3$ .

Пов'язування прирощень у сітці нічим істотним не буде відрізнятися від пов'язання кутів. У цьому разі, символами  $n$  доведеться, очевидно, позначати не числа сторін, а периметри ломаних ліній між кожними двома суміжними вузловими точками, тобто периметри окремих ланок сітки.

Поправка кожного приросту буде помноженням того або іншого  $x$  або різниці двох  $x$  на довжину відповідної лінії, визначену у прийнятих одиницях.

Рівняння для пов'язання прирощень по осі абсцис будуть відрізнятися від відповідних рівнянь для пов'язання прирощень по вісі ординат тільки вільними членами; коефіцієнти ж при невідомих, що залежать тільки від периметрів, будуть однакові.

Приклад. Потрібно зрівняти кути сітки, поданої на рис. 58.

Зважаючи на рисунок рівняння нев'язок будуть:

$$\begin{aligned} 9x_1 - 2x_2 + 1,5 &= 0 \\ -2x_1 + 22x_2 - 4x_3 - 3x_5 - 1,9 &= 0 \\ -9x_2 + 18x_3 - 4x_4 - 3,5 &= 0 \\ -4x_3 + 12x_4 - 3x_5 - 0,6 &= 0 \\ -3x_2 - 3x_4 + 18x_5 - 0,7 &= 0 \end{aligned}$$

1. На рисунку 58 помічаємо, що полігон I межує тільки з полігоном II; тому властиве йому невідоме  $x_1$  входить тільки у два перші рівняння.

Намічаємо в наслідок цього до виключення спочатку  $x_1$ . Беремо безпосередньо з рисунку й пишемо на початку схеми (стор. 108) коефіцієнти і вільні члени першого і другого рівнянь.

2. Ділимо всі члени першого рівняння на 9, а другого — на 2, з таким розрахунком, щоб зробити коефіцієнт при  $x_1$  в одному з них рівним +1, а в другому — 1. Перетворені таким шляхом рівняння пишемо під відповідними початковими рівняннями.

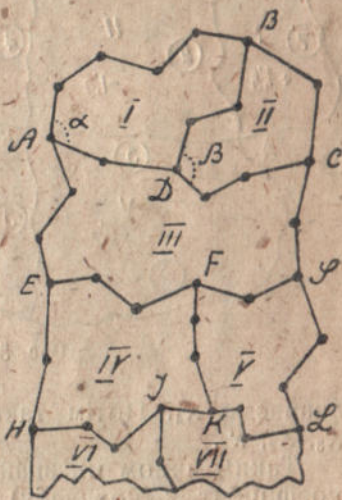


Рис. 57

3. Додаємо перше перетворене рівняння до другого і пишемо результат на початку другого ступеня схеми. Рівняння, яке одержуємо, не буде мати  $x_1$ .

4. Для виключення невідомого  $x_2$  приписуємо до наявного рівняння ще рівняння III і V полігонів, що межують з полігоном II. Таким чином другий ступінь схеми має три рівняння.

5. Ділимо перше з них на 10,8, друге на 4 і третє на 3. Склавши потім перше рівняння з другим, а потім перше з третім, одержимо два рівняння, які вже не матимуть  $x_2$ . Пишемо їх на початку третього ступеня схеми.

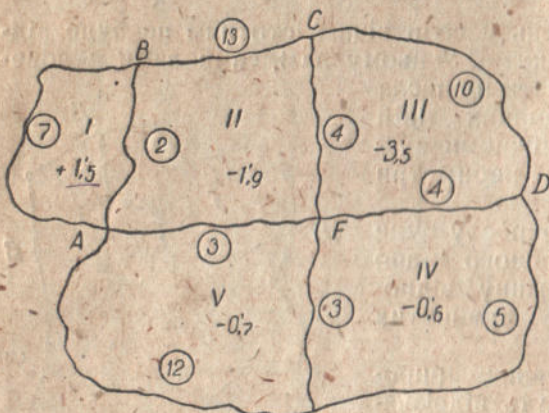


Рис. 58

6. Приписуємо рівняння IV полігону. Виключаємо  $x_3$ .

7. Виключаємо  $x_4$ .

8. У п'ятій ступені схеми одержано одно рівняння з невідомим  $x_5$ . Визначаємо це невідоме.

9. Підставленням  $x_5$  в одно з приведених до одиниці рівнянь четвертого ступеня визначаємо  $x_4$ . Потім таким же способом одержимо послідовно:  $x_3, x_2, x_1$ .

Таким чином ми знайшли для кожного полігону поправний коефіцієнт  $x$  (корелату). Фактичні сумарні поправки наведено нижче у таблиці.

Таблиця поправок

Частини сітки	Число кутів (сторін)	Поправка (в мінутах)	
		На 1 кут	На всі кути
AB	7	-0,14	-1
BA	2	-0,27	-0,5
BC	13	+0,13	+1,8
CF	4	-0,13	-0,5
FA	3	+0,04	+0,1
CD	10	+0,26	+2,6
DF	4	+0,10	+0,4
DE	5	+0,16	+0,8
EF	3	+0,07	+0,2
EA	12	+0,09	+1

Для контролю звіряємо суму поправок кожного полігону з нев'язкою. Можливі, від округлень, найбільші повторні нев'язки розкидаємо звичайним спрощеним способом.

Викладений метод пов'язання може бути застосований і до сітки теодолітних ходів, що має тверді дані (прив'язаний до триангуляції).

Візьмемо для прикладу сітку, зображену на рисунку 59. Треба пов'язати в ній прирощення координат. Нев'язки по одній з осей координат будуть  $y_1, y_2, y_3$  і  $y_4$ , а відповідні поправні коефіцієнти:  $x_1, x_2, x_3$  і  $x_4$ .

Є дві точки  $A$  і  $C$  з наперед даними координатами. В такому разі, при пов'язанні приростів, доведеться, крім умов змикання полігонів I, II, III і IV, взяти ще додаткову умову, щоб в незімкнутому ході  $ABC$ , позначеному на рисунку номером V, також зникла його нев'язка  $y_5$  або, однаково, щоб сума виправлених прирощень по цьому ходу дорівнювала різниці координат точок  $C$  і  $A$ .

Загальний периметр кожного з п'яти полігонів позначимо через  $N$  з показником, що відповідає номеру полігона. Тоді, зважаючи на рисунок 59, умова знищення всіх нев'язок сітки буде написана у вигляді системи рівнянь:

$$\begin{aligned} N_1 x_1 - n_{12} x_2 - n_{13} x_3 - n_{14} x_4 + y_1 &= 0 \\ -n_{12} x_1 + N_2 x_2 - n_{23} x_3 + y_2 &= 0 \\ -n_{13} x_1 - n_{23} x_2 + N_3 x_3 - n_{34} x_4 + n_{35} x_5 + y_3 &= 0 \\ -n_{14} x_1 - n_{34} x_3 + N_4 x_4 + n_{45} x_5 + y_4 &= 0 \\ n_{35} x_3 - n_{45} x_4 + N_5 x_5 + y_5 &= 0 \end{aligned}$$

Фактичні поправки на одиницю периметра будуть в даному разі, по лінії  $AB$ :  $x_3 + x_5$ , а по лінії  $BC$ :  $x_4 + x_5$ . В разі ж вибору напрямку V полігону від точки  $C$  до точки  $A$ , ці поправки дорівнювали б по лінії  $AB$ :  $x_3 - x_5$ , а по лінії  $BC$ :  $x_4 - x_5$ .

Замість незімкнутого ходу  $ABC$ , можна при складанні рівнянь взяти будь-який інший хід між точками  $A$  і  $C$ , наприклад,  $CDEA$ ,  $AEFGC$  і т. д.

Для одержання простіших рівнянь, очевидно, вигідніше взяти той варіант незімкнутого ходу, який стикається з найменшим числом зімкнутих полігонів. Наявність кожної нової твердої точки дасть нову незалежну умову. Взагалі, якщо в сітці є  $m$  зімкнутих полігонів і  $K$  твердих точок, то загальне число незалежних рівнянь нев'язок буде  $m + K - 1$ .

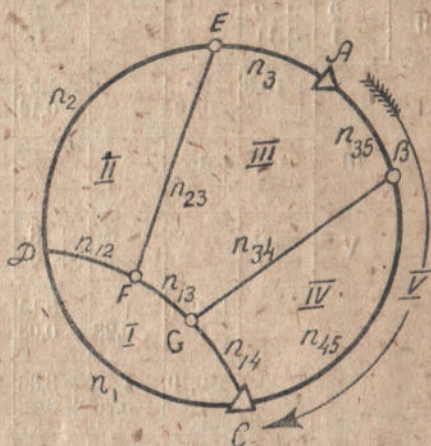


Рис. 59

### Схема розв'язування рівнянь

	x <sub>1</sub>	x <sub>2</sub>	x <sub>3</sub>	x <sub>4</sub>	x <sub>5</sub>	p
I	+ 9 + 1	- 2 - 0,22				+ 1,5 + 0,17
II	- 2 - 1	+ 22 + 11	- 4 - 2		- 3 - 1,5	- 1,9 - 0,95
	+ 10,8 + 1	- 2 - 0,19			- 1,5 - 0,14	- 0,78 - 0,07
III	- 4 - 1	+ 18 + 4,5	- 4 - 1			- 3,5 - 0,88
V	- 3 - 1			- 3 - 1	+ 18 + 6	- 0,7 - 0,23
	+ 4,31 + 1	- 1 - 0,23		- 1,4 - 0,03		- 0,95 - 0,22
	- 0,19 - 1	- 1 - 5,26		+ 5,86 + 3,8		- 0,30 - 1,58
IV	- 4 - 1	+ 12 + 3	- 3 - 0,75			- 0,6 - 0,15
	- 5,49 - 1			+ 30,8 + 5,61		- 1,80 - 0,33
	+ 2,77 + 1			- 0,78 - 0,28		- 0,37 - 0,13
				+ 5,33 + 1		- 0,46 - 0,09

$$x_1 = 0,22x_2 - 0,17 = -0,14;$$

$$x_2 = 0,19x_3 + 0,14x_5 + 0,07 = +0,13;$$

$$x_3 = 0,23x_4 + 0,03x_5 + 0,22 = +0,26;$$

$$x_4 = 0,28 \times 5 + 0,13 = +0,16$$

$$x_5 = +0,09.$$

При пов'язанні сітки, що має тверді точки, вигідніше здебільшого застосовувати метод вузлів.

### Спосіб вузлів проф. Попова

Потрібно зрівняти за методом вузлів прирощення координат у сітці, зображеній схематично на рисунку 60.

Суми прирощень одної з координат по окремих частинах сітки і відповідні периметри наведені в таблиці 1.

Приписавши одиничну вагу лінії в 1000 м, знайдемо вагу суми прирощень для кожної ланки сітки. Так, наприклад, для ланки А—1, периметр якої дорівнює 4,6 сотні м (таблиця 1),

$$\text{матимемо } P_{a_1} = \frac{10}{4,6} = 2,2 \text{ для ланки I—II; } P_{12} = \frac{10}{4,7} = 2,1 \text{ і т. д.}$$



Обчислені таким способом ваги написані на схематичному рисунку 60 у кружечках посередині кожної ланки.

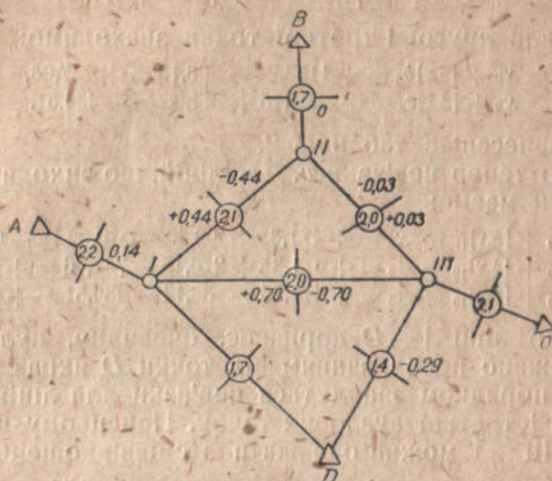


Рис. 60

Таблиця 1

Частина сітки	Пер метри в сотнях метрів	$[\Delta x]$ в метрах
A—I	4,6	— 98,53
I—II	4,7	+ 276,15
II—B	5,8	+ 406,18
II—III	4,9	— 312,58
III—C	4,8	— 44,36
I—III	5,1	— 36,14
D—I	6,0	+ 471,35
D—III	7,2	+ 434,80

Таблиця 2

Точки	Наближені абсциси	Поправки	Остаточні абсциси
A	—	—	+ 570,02
B	—	—	+ 1153,24
C	—	—	+ 390,15
D	—	—	0
I	+ 471,35	— 0,13	+ 471,22
II	+ 747,06	+ 0,21	+ 747,27
III	+ 434,51	+ 0,25	+ 434,76

Далі, взявши з таблиці 2 абсцису точки  $D$ , обчислюємо наближене значення абсциси першої точки:

$$A_1 = x_a + [\Delta x]d_1 = 0 + 471,35 = +471,35.$$

Так само для другої і третьої точки знаходимо:

$$A_2 = x_b + [\Delta x]b_2 = +1153,24 - 406,18 = +747,06,$$

$$A_3 = x_c + [\Delta x]c_3 = +390,15 + 44,36 = +434,51.$$

Ці числа занесені в таблицю 2.

Визначаємо тепер нев'язки  $v$ . Для ліній, що виходять з першої вузлової точки маємо:

$$v_{1a} = A_1 + [\Delta x]_{1a} - x_a = +471,35 + 98,53 - 570,02 = -0,14,$$

$$v_{12} = A_1 + [\Delta x]_{12} - A_2 = +471,35 + 276,15 - 747,06 = +0,44,$$

$$v_{13} = A_1 + [\Delta x]_{13} - A_3 = +471,35 - 36,14 - 434,51 = +0,70.$$

Нев'язка по лінії I—D дорівнює, очевидно, нулю, бо значення  $A$  одержано передаванням від точки  $D$  якраз по цій лінії.

Таким же порядком знайдуться нев'язки для ліній, що виходять з другої і третьої вузлових точок. При цьому нев'язки для ліній II—1 і III—1 можна одержати з співвідношень:

$$v_{21} = -v_{12} = -0,44, \quad v_{31} = -v_{13} = -0,70.$$

Всі числові значення занесені на схематичний рисунок 60. На лінії I—II, наприклад, ближче до точки першої, значиться:  $v_{12} = +0,44$ , а ближче до другої точки (за поперечною рисою):  $v_{21} = -0,44$ .

Потім знаходимо для кожної вузлової точки вагу  $P$  і нев'язку  $v$ :

$$P_1 = 2,2 + 2,1 + 2 + 1,7 = 8;$$

$$P_2 = 1,7 + 2 + 2,1 = 5,8;$$

$$P_3 = 2 + 2 + 1,4 + 2,1 = 7,5;$$

$$v_1 = +0,44 \times 2,1 + 0,70 \times 2 - 0,14 \times 2,2 = +2,02;$$

$$v_2 = +0,03 \times 2 - 0,44 \times 2,1 = -0,58;$$

$$v_3 = +0,03 \times 2 - 0,70 \times 2 - 0,29 \times 1,4 = -1,75.$$

Числа ці занесені для зручності користування ними надалі в окрему таблицю 3.

Таблиця 3

Вузлові точки	$P$	$v$ (всантиметрах)
I	8,0	+202
II	5,8	-98
III	7,5	-175

В разі більш-менш складної сітки корисно для складання нев'язок  $v$ , заготовувати спочатку добутки  $pv$  по всіх ходах і записати їх на схематичному рисунку. Числа  $v$  будуть після цього одержуватися складанням добутків  $pv$  розміщених на рисунку навколо відповідної точки.

Позначимо поправки до наближених значень абсцис  $A_1$ ,  $A_2$  і  $A_3$  відповідно через  $x_1$ ,  $x_2$ ,  $x_3$ . Рівняння для нашого прикладу матимуть такий вигляд:

$$\begin{aligned} 8x_1 - 2,1x_2 - 2x_3 + 202 &= 0; \\ -2,1x_1 + 5,8x_2 - 2x_3 - 98 &= 0; \\ -2x_1 - 2x_2 + 7,5x_3 - 175 &= 0. \end{aligned}$$

Тут нев'язки  $v$  визначені в сантиметрах. В тих же одиницях будуть і поправки  $x$ .

Рівняння ці легко складаються безпосередньо за рисунком 60, якщо на ньому числа  $P$  і  $v$  написати при відповідних вузлових точках.

#### Розв'язання системи рівнянь

$x_1$	$x_2$	$x_3$	$v$	
+8 +1	-2,1 -0,6	-2 -0,25	+202 +25,2	$x_1 = 0,26x_2 + 0,25x_3 - 25,2 = -13,5;$
-2,1 -1,	+5,8 +2,76	-2 -0,95	-98 -46,7	
-2 -1	-2 -1	+7,5 +3,75	-175 -87,5	
- -	+2,50 +1	-1,20 -0,48	-21,5 -8,6	$x_2 = 0,48x_3 + 8,6 = +20,7;$
- -	-1,26 -1,	+3,50 +2,78	-62,3 -59,4	
- -	- -	+2,30 +1	-58 -25,2	$x_3 = +25,2.$

Остаточні округлені до сантиметра поправки, а також вправлені абсциси вузлових точок показані в таблиці 2.

Для сітки, що має  $m$  зімкнутих полігонів і  $K$  твердих точок, при пов'язуванні її за методом полігонів, число незалежних рівнянь буде:

$$r = m + k - 1.$$

При пов'язуванні ж за методом вузлів число рівнянь  $r_1$  дорівнює числу вузлових нетвердих точок. При відсутності в сітці твердих даних, вони беруться для одної якоїсь точки, краще для вузлової — довільно.

Якщо виявиться, що для даної сітки  $r < r_1$ , то пов'язувати її треба за методом полігонів. У протилежному разі вигідніше застосувати метод вузлів. Якщо  $r = r_1$ , то перевагу треба віддати методу полігонів, бо при ньому дані для складання рівнянь, а зокрема нев'язки, одержуються значно легше і простіше, ніж за методом вузлів.

Наведеними способами рівняльних обчислень теодолітних ходів не вичерпується питання зрівняння теодолітних ходів, прив'язаних до триангуляційної сітки. Різними авторами наводяться ще інші способи рівняльних обчислень, що становлять або модифікацію описаних вище, або оригінальні, при чому питання рівняльних обчислень так розроблене, що намічені способи вже базуються не тільки на способі найменших квадратів, але й на законах будівельної механіки (спосіб Висоцького і ін.) і навіть на вченні про силу електричного струму (закони Кірхгофа)<sup>1</sup>. Проте, наявність високої теоретичної розробленості способів рівняльних обчислень, все таки лишає широке поле діяльності для раціоналізації практичних прийомів обчислення теодолітних робіт.

### Додаткові зауваження

Викладені в даній брошурі способи прив'язування теодолітних ходів до триангуляційної сітки і методи зрівняння теодолітних ходів розраховані на застосування їх при проведенні геодезичних робіт по закріпленню земель за колгоспами в безстрокове



Рис. 61

(вічне) користування, тобто на теодолітні ходи, в яких вимірювання довжин ліній виконується двічі звичайною 20 метровою стрічкою, і вимірювання кутів однохвилинним теодолітом повним прийомом або повним прийомом з двома повтореннями в півприйомах. Тому, і при проектуванні теодолітних ходів (розділ 1) і при зрівнянні теодолітних ходів (розділ 4) треба мати на увазі, що гранична довжина теодолітного ходу між двома триангуляційними пунктами не повинна бути більше 7 км і гранична довжина між триангуляційними пунктами і вузловими точками, не більше 5 км. При чому зазначені граничні довжини теодолітних ходів розраховані на нормальну довжину стану (лінії) на 400—500 м, тому в разі ходів з меншими довжинами станів (ліній), обов'язкове прокладання замикаючого напрямку (зв'язуючої діагоналі), згідно з рисунком 61, і попередньо до зрівняння провадиться обчислення довжини замикаючого напрямку (AB), шляхом проектування на нього ломаного ходу з коротких ліній, прокладеного між точками, з'єднаними цим замикаючим напрямком<sup>2</sup>.

Зрівняння теодолітного ходу в останньому разі провадиться проходячи через замикаючий напрям, приймаючи довжину його,

<sup>1</sup> Доповіді радянської делегації VII конференції Балтійської геодезичної комісії, вип. III.

<sup>2</sup> Приклад обчислення довжини замикаючої ланки див. в інструкції по топозніманню масштаба 1:10000 1936 р. (додаток 44).

як безпосередньо виміряну величину і тільки після одержання координат пунктів, розміщених на кінцях замикаючого напрямку, провадиться між ними зрівняння частин ходу, заміненних раніше замикаючим напрямком.

Деяку своєрідність можуть мати рівняльні обчислення теодолітних ходів, прокладених самостійно, без прив'язування до триангуляційної сітки (способом послідовних наближень Попова або Урмаєва, еквівалентної заміни, полігонів, порівнянням нев'язок або ін.) і в наступному прив'язаних до триангуляційної сітки, при чому способи цих своєрідних рівняльних обчислень можуть бути різні, залежно від характеру наступного використання теодолітних ходів (при закріпленні земель за колгоспами в безстрокове (вічне) користування, складанні районних карт, при геодезичному обґрунтуванні топографічного мензульного знімання різних масштабів і ін.).

### Точність теодолітного ходу

Для визначення припустимої довжини теодолітного ходу, виходячи з похибки вимірювання кутів і довжин ліній, похибки опорних даних і умов місцевості, що впливають на форму, кількість точок повороту і довжину сторін теодолітного ходу, запропоновано кілька формул передобчислення допустимої нев'язки в периметрі (Красовського, Михайлова, Веселовського, Шилова, Ходоровича, Чеботарьова, Успенського і ін.).

Так, за формулою проф. Чеботарьова, відносна точність розімкнутого теодолітного ходу буде:

$$\left(\frac{M}{L}\right)^2 = \lambda^2 + \frac{m^2}{L} + \frac{m_{\beta}^2}{\rho^2} \cdot \frac{n+3}{12}$$

де:  $M$  — середньоквадратична похибка у периметрі теодолітного ходу;

$L$  — довжина теодолітного ходу;

$\lambda$  і  $m$  — коефіцієнти систематичного і випадкового впливу при вимірюванні довжин ліній;

$m_{\beta}$  — середньоквадратична похибка вимірювання кутів;

$\rho$  — 206 265",

$n$  — кількість кутів повороту.

Наприклад, при прокладанні в середніх польових умовах теодолітного ходу довжиною на 10 км з 21 стороною, при вимірюванні довжин ліній двічі 20-метровою стрічкою і кутів одноминутним теодолітом повним прийомом з двома повтореннями у півприйомах, одержимо:  $m_{\beta} = \pm 20''$ ,  $m = \pm 0,003$ ,  $\lambda = 0,001$

$$\left(\frac{M}{L}\right)^2 = 0,0001^2 + \frac{0,003^2}{10000} + \frac{20''^2}{206265^2} \cdot \frac{21+3}{12}$$

$\frac{M}{L} = 0,00018 \cong 1:6000$ , що дасть граничну похибку 1:2000.

Треба мати на увазі, що формула може бути застосована тільки для наближених розрахунків, тому, що, вона виведена для рівносторінного, добре витягнутого ходу.

Для наближених розрахунків також може бути застосована і така формула (Чеботарьов, — Полігонометрія, 1930 р.)

$$\frac{M}{L} = \pm \sqrt{\frac{1}{n} \left(\frac{m_e}{l}\right)^2 + \frac{n}{3} m_3^2}$$

де:  $l$  — середня довжина сторони;  $m_e$  — середньоквадратична похибка виміру сторони  $l$ .

Приклад:

$$n = 21, \quad m_3 = \pm 20'', \quad \frac{m_e}{l} = \frac{1}{5000};$$

$$\frac{M}{L} = \pm \sqrt{\frac{1}{21} \left(\frac{1}{5000}\right)^2 + \frac{21}{3} \cdot \frac{0,3^2}{3438^2}} = \frac{1}{5000}$$

ТАБЛИЦЯ 1

довжин дуг меридіанів  $B$ ,  $lg \Delta''$  і величин  $lg \frac{N}{\rho''}$ 

	$\varphi$	$lg \frac{N}{\rho''}$	$d$	$B$	$lg \Delta''$	$d$
45	0	1,490944		4,984439,3	1,489488	
	10	1,490948	4	5,002959,4	1,489500	12
	20	1,490953	5	5,021480,2	1,489513	13
	30	1,490957	4	5,040001,4	1,489526	13
	40	1,490961	4	5,058523,4	1,489538	12
	50	1,490965	4	5,077045,6	1,489551	13
			5			13
46	0	1,490970		5,095568,5	1,489564	
	10	1,490974	4	5,111091,9	1,489576	12
	20	1,490978	4	5,132615,8	1,489589	13
	30	1,490982	4	5,151110,4	1,489602	13
	40	1,490986	4	5,169665,4	1,489614	12
	50	1,490991	5	5,188191,0	1,489627	13
			4			13
47	0	1,490995		5,206717,1	1,489640	
	10	1,490999	4	5,225243,8	1,489652	12
	20	1,491003	4	5,243771,0	1,489665	13
	30	1,491008	5	5,262298,8	1,489678	13
	40	1,491012	4	5,280827,0	1,489690	12
	50	1,491016	4	5,299355,9	1,489703	13
			4			13
48	0	1,491020		5,317885,2	1,489716	
	10	1,491024	4	5,336415,1	1,489728	12
	20	1,491029	5	5,354945,6	1,489741	13
	30	1,491033	4	5,373476,6	1,489754	13
	40	1,491037	4	5,392008,1	1,489766	12
	50	1,491041	4	5,410540,1	1,489779	13
			4			12
49	0	1,491045		5,429072,7	1,489791	
	10	1,491050	5	5,447605,9	1,489804	13
	20	1,491054	4	5,466139,5	1,489816	12
	30	1,491058	4	5,484673,7	1,489829	13
	40	1,491062	4	5,503208,5	1,489841	12
	50	1,491066	4	5,521743,7	1,489854	13
			4			12
50	0	1,491070		5,540279,5	1,489866	
	10	1,491075	5	5,558815,9	1,489879	13
	20	1,491079	4	5,577352,8	1,489892	13
	30	1,491083	4	5,595890,2	1,489904	12
	40	1,491082	4	5,614428,1	1,489916	12
	50	1,491091	4	5,632966,6	1,489928	12
			4			13

	$\varphi$	$lg \frac{N}{e^{\varphi}}$	$d$	$B$	$lg \Delta''$	$d$
51	0	1,491095	5	5,651505,6	1,489941	13
	10	1,491100	4	5,670045,1	1,489954	12
	20	1,491104	4	5,638585,2	1,489966	13
	30	1,491108	4	5,707125,7	1,489979	12
	40	1,491112	4	5,725666,9	1,489991	12
	50	1,491116	4	5,744208,5	1,490003	13
52	0	1,491110	4	5,762750,7	1,490016	12
	10	1,491124	4	5,781293,4	1,490028	12
	20	1,491128	4	5,799836,6	1,490040	12
	30	1,491132	4	5,818380,3	1,490052	13
	40	1,491136	5	5,836924,6	1,490065	12
	50	1,491141	4	5,865469,4	1,490077	12
53	0	1,491145	4	5,874014,7	1,490089	12
	10	1,491149	4	5,892560,6	1,490101	13
	20	1,491153	4	5,911106,9	1,490114	12
	30	1,491157	4	5,929653,8	1,490126	12
	40	1,491161	4	5,948201,2	1,490138	12
	50	1,491165	4	5,966749,1	1,490150	12
54	0	1,491169	4	5,985297,5	1,490162	12
	10	1,491173	4	6,003846,5	1,490174	12
	20	1,491177	4	6,022395,9	1,490186	12
	30	1,491181	4	6,040945,9	1,490198	12
	40	1,491185	4	6,059496,4	1,490210	12
	50	1,491189	4	6,078047,4	1,490222	12
55	0	1,491193	4	6,096598,9	1,490234	12
	10	1,491197	4	6,115151,0	1,490246	12
	20	1,491201	4	6,133703,5	1,490258	12
	30	1,491205	4	6,152256,5	1,490270	12
	40	1,491209	4	6,170810,1	1,490282	11
	50	1,491213	4	6,189364,1	1,490293	12
56	0	1,491217	4	6,207918,7	1,490305	12
	10	1,491221	4	6,226473,7	1,490317	12
	20	1,491225	3	6,245029,3	1,490329	11
	30	1,491228	4	6,263585,4	1,490340	12
	40	1,491232	4	6,282141,9	1,490352	12
	50	1,491236	4	6,300699,0	1,490364	11
57	0	1,491240	4	6,319256,5	1,490375	12
	10	1,491244	4	6,337814,6	1,490387	11
	20	1,491248	4	6,356370,1	1,490398	12
	30	1,491252	4	6,374932,2	1,490410	12
	40	1,491256	3	6,393491,7	1,490422	11
	50	1,491259	4	6,412051,8	1,490433	11



ТАБЛИЦА 2

поправок  $v$   $(\lambda \cos \varphi)^2$  та  $v$   $(\lambda)^2$  в 6-му знаку логарифма

$\lg \lambda'' \cos \varphi$ або $\lg \lambda''$	$v$ $(\lambda \cos \varphi)^2$ або $v \lambda^2$	$\lg \lambda'' \cos \varphi$ або $\lg \lambda''$	$v$ $(\lambda \cos \varphi)^2$ або $v \lambda^2$	$\lg \lambda'' \cos \varphi$ або $\lg \lambda''$	$v$ $(\lambda \cos \varphi)^2$ або $v \lambda^2$
2,0836	0	3,5268	38	3,6760	76
2,8148	1	3,5324	39	3,6787	77
2,9374	2	3,5378	40	3,6815	78
3,0630	3	3,5431	41	3,6842	79
3,0631	4	3,5483	42	3,6870	80
3,1023	5	3,5533	43	3,6899	81
3,1189	6	3,5583	44	3,6922	82
3,1700	7	3,5631	45	3,6950	83
3,1171	8	3,5678	46	3,6974	84
3,2111	9	3,5724	47	3,7000	85
3,2437	10	3,5765	48	3,7027	86
3,2631	11	3,5815	49	3,7052	87
3,2834	12	3,5857	50	3,7076	88
3,3001	13	3,5895	51	3,7100	89
3,3151	14	3,5942	52	3,7124	90
3,3300	15	3,5982	53	3,7148	91
3,3435	16	3,6022	54	3,7172	92
3,3562	17	3,6062	55	3,7194	93
3,3682	18	3,6102	56	3,7218	94
3,3797	19	3,6138	57	3,7242	95
3,3890	20	3,6177	58	3,7264	96
3,3995	21	3,6212	59	3,7286	97
3,4097	22	3,6248	60	3,7308	98
3,4192	23	3,6285	61	3,7330	99
3,4282	24	3,6318	62	3,7352	100
3,4369	25	3,6365	63	3,7374	101
3,4453	26	3,6388	64	3,7394	102
3,4534	27	3,6422	65	3,7416	103
3,4611	28	3,6455	66	3,7436	104
3,4686	29	3,6488	67	3,7458	105
3,4759	30	3,6520	68	3,7478	106
3,4829	31	3,6552	69	3,7498	107
3,4900	32	3,6582	70	3,7518	108
3,4966	33	3,6612	71	3,7538	109
3,5030	34	3,6642	72	3,7558	110
3,5092	35	3,6672	73	3,7578	111
3,5152	36	3,6702	74	3,7597	112
3,5211	37	3,6732	75	3,7616	113

$\lg \lambda' \cos \varphi$ a60 $\lg \lambda''$	$v (\lambda \cos \varphi)^2$ a60 $v \lambda^2$	$\lg \lambda'' \cos \varphi$ a60 $\lg \lambda''$	$v (\lambda \cos \varphi)^2$ a60 $v \lambda^2$	$\lg \lambda'' \cos \varphi$ a60 $\lg \lambda''$	$v (\lambda \cos \varphi)^2$ a60 $v \lambda^2$
3,7635	114	3,8461	167	3,9058	220
3,7654	115	3,8474	168	3,9068	221
3,7673	116	3,8487	169	3,9078	222
3,7692	117	3,8500	170	3,9088	223
3,7710	118	3,8512	171	3,9097	224
3,7728	119	3,8524	172	3,9107	225
3,7746	120	8,8537	173	3,9117	226
3,7764	121	3,8550	174	3,9126	227
3,7782	122	3,8562	175	3,9136	228
3,7799	123	3,8574	176	3,9145	229
3,7817	124	3,8587	177	3,9155	230
3,783	125	3,8600	178	3,9164	231
3,7852	126	3,8611	179	3,9173	232
3,7869	127	3,8623	180	3,9182	233
3,7886	128	3,8635	181	3,9192	234
3,7902	129	3,8648	182	3,9192	235
3,7918	130	3,8660	183	3,9201	236
3,7935	131	3,8671	184	3,9210	237
3,7952	132	3,8683	185	3,9219	238
3,7969	133	3,8694	186	3,9228	239
3,7985	134	3,8705	187	3,9237	240
3,8001	135	3,8716	188	3,9247	241
3,8017	136	3,8728	189	3,9256	242
3,8032	137	3,8741	190	3,9265	243
3,8049	138	3,8752	191	3,9274	244
3,8064	139	3,8763	192	3,9282	245
3,8079	140	3,8774	193	3,9291	246
3,8095	141	3,8785	194	3,9300	247
3,8110	142	3,8796	195	3,9308	248
3,8125	143	3,8807	196	3,9317	249
3,8140	144	3,8818	197	3,9327	250
3,8155	145	3,8828	198	3,9336	251
3,8170	146	3,8830	199	3,9344	252
3,8185	147	3,8841	200	3,9352	253
3,8199	148	3,8852	201	3,9361	254
3,8215	149	3,8862	202	3,9369	255
3,8229	150	3,8873	203	3,9378	256
3,8243	151	3,8884	204	3,9386	257
3,8258	152	3,8894	205	3,9395	258
3,8272	153	3,8905	206	3,9404	259
3,8286	154	3,8915	207	3,9412	260
3,8299	155	3,8926	208	3,9420	261
3,8313	156	3,8936	209	3,9428	262
3,8328	157	3,8947	210	3,9437	263
3,8341	158	3,8957	211	3,9445	264
3,8355	159	3,8969	212	3,9453	265
3,8368	160	3,8977	213	3,9461	266
3,8382	161	3,8988	214	3,9469	267
3,8395	162	3,8998	215	3,9478	268
3,8408	163	3,9008	216	3,9486	269
3,8422	164	3,9018	217	3,9494	270
3,8435	165	3,9028	218	3,9502	271
3,8448	166	3,9038	219	3,9509	272
		3,9048		3,9517	

$lg \lambda'' \cos \varphi$ або $lg \lambda''$	$v (\lambda \cos \varphi)^2$ або $v \lambda^2$	$lg \lambda'' \cos \varphi$ або $lg \lambda''$	$v (\lambda \cos \varphi)^2$ або $v \lambda^2$	$lg \lambda'' \cos \varphi$ або $lg \lambda''$	$v (\lambda \cos \varphi)^2$ або $v \lambda^2$
3,9526	273	3,9863	319	4,0155	365
3,9534	274	3,9870	320	4,0161	366
3,9542	275	3,9876	321	4,0167	367
3,9549	276	3,9883	322	4,0173	368
3,9557	277	3,9890	323	4,0179	369
3,9565	278	3,9897	324	4,0185	370
3,9573	279	3,9904	325	4,0190	371
3,9580	280	3,9906	326	4,0196	372
3,9587	281	3,9913	327	4,0196	373
3,9596	282	3,9920	328	4,0202	374
3,9604	283	3,9927	329	4,0208	375
3,9611	284	3,9934	330	4,0214	376
3,9619	285	3,9941	331	4,0220	377
3,9626	286	3,9941	332	4,0226	378
3,9634	287	3,9948	333	4,0231	379
3,9642	288	3,9955	334	4,0236	380
3,9649	289	3,9962	335	4,0242	381
3,9657	290	3,9969	336	4,0247	382
3,9664	291	3,9975	337	4,0252	383
3,9672	292	3,9981	338	4,0258	384
3,9679	293	3,9987	339	4,0263	385
3,9686	294	3,9993	340	4,0269	386
3,9694	295	3,9999	341	4,0275	387
3,9701	296	4,0005	342	4,0280	388
3,9708	297	4,0012	343	4,0286	389
3,9715	298	4,0019	344	4,0292	390
3,9723	299	4,0025	345	4,0297	391
3,9730	300	4,0032	346	4,0303	392
3,9737	301	4,0039	347	4,0308	393
3,9744	302	4,0046	348	4,0314	394
3,9752	303	4,0052	349	4,0320	395
3,9759	304	4,0058	350	4,0326	396
3,9766	305	4,0064	351	4,0332	397
3,9773	306	4,0070	352	4,0337	398
3,9780	307	4,0076	353	4,0343	399
3,9787	308	4,0083	354	4,0348	400
3,9794	309	4,0089	355	4,0354	401
3,9801	310	4,0095	356	4,0359	402
3,9808	311	4,0101	357	4,0365	403
3,9815	312	4,0107	358	4,0370	404
3,9822	313	4,0113	359	4,0376	405
3,9829	314	4,0119	360	4,0381	406
3,9836	315	4,0125	361	4,0387	407
3,9843	316	4,0131	362	4,0392	408
3,9850	317	4,0137	363	4,0397	409
3,9856	318	4,0143	364	4,0402	410
		4,0149		4,0407	

### ВИКОРИСТАНА ЛІТЕРАТУРА

- Граур,—Практическая геодезия, 1934 г.  
Под ред. Красовского,— Курс геодезии, вып. III, 1934 г.  
Чеботарев,— Полигонометрия, 1930 г.  
Кель,— Высшая геодезия и геодезические работы, ч. I и II, 1933 г.  
Наставление по производству геодезических работ УВТ, вып. VI, 1933 г.  
Филоненко,— Практическое руководство для производства триангуляций, 1927 г.  
Цветков,— Практическая астрономия, 1935 г.  
Максимов,— Гидрография, 1935 г.  
Журнал „Геодезист“, 1930, 31, 32, 33, 34, 35 гг.  
Журнал „Маркшейдерские известия“, 1926, 27, 28 гг.  
„Артиллерийский журнал“, 1935 г.  
Чеботарев,— Уравнительные вычисления при полигонометрических работах, 1934 г.  
Урмаев,— Руководство по обработке триангуляций, 1932 г.  
Попов,— Узвязка полигонов, 1930 г.

## ЗМІСТ

Стор.

Від науково-дослідного відділу землевпорядження УНДІГІМ . . . . .	3
---	---

### Розділ I

#### Підготовчі роботи по прив'язуванню до триангуляційної сітки

Вивчення триангуляційної сітки . . . . .	6
Точність триангуляційної сітки . . . . .	8
Координати пунктів триангуляційної сітки . . . . .	10
Обчислення координат Гауса-Крюгера . . . . .	15
Використання старих триангуляційних сіток . . . . .	17
Схема, каталог, кроки і список трикутників . . . . .	18
Відшукування триангуляційних пунктів . . . . .	20
Спосіб Марека . . . . .	20
Спосіб проф. В. В. Попова . . . . .	23
Спосіб інверсійного трикутника . . . . .	24
Спосіб П. Кулаковського . . . . .	25
Складання проекту прив'язування теодолітних ходів до триангуляційної сітки . . . . .	26

### Розділ II

#### Безпосереднє прив'язування

Безпосередній спосіб прив'язування . . . . .	31
Прив'язування до складної віхи . . . . .	32
Азимутні пункти . . . . .	33
Визначення справжнього азимута . . . . .	34
Зближення меридіанів . . . . .	45
Знесення координат . . . . .	46
Допоміжні побудовання . . . . .	48
Прив'язування системи замкнутих полігонів . . . . .	49
Спосіб повторень . . . . .	50
Точність вимірювання кутів . . . . .	50
Редукування довжин ліній . . . . .	52

### Розділ III

#### Посереднє прив'язування

Задача Потенота . . . . .	54
Спосіб Ансермета . . . . .	55
Спосіб Максимова . . . . .	57
Спосіб Купчинова . . . . .	58
Спосіб М. Васильченка . . . . .	60
Спосіб розв'язання задачі Потенота по таблицях логарифмів . . . . .	61
Спосіб Pellion'a . . . . .	62
Спосіб Estignard'a . . . . .	63
Спосіб проф. Nell'я . . . . .	64
Спосіб Чумакова . . . . .	64

	Стор.
Редукція напрямів . . . . .	66
Контроль при розв'язуванні задачі Потенота . . . . .	67
Вставка точок (формули Бутлера) . . . . .	69
Метод різниць координат . . . . .	70
Точний спосіб зрівнювання пункту, визначеного прямою засічкою . . . . .	71
Задача Ганзена . . . . .	73
Спосіб Сбсни . . . . .	77
Спосіб Фіали . . . . .	80
Узагальнена задача Ганзена . . . . .	82
Техніка обчислень . . . . .	84

## Розділ IV

### Зрівняння теодолітних ходів

Основні положення . . . . .	86
Зрівняння теодолітних ходів між двома триангуляційними пунктами . . . . .	87
Виявлення грубих похибок вимірів . . . . .	90
Спосіб Егерта . . . . .	91
Спосіб вузлових точок (одна вузлова точка) . . . . .	91
Спосіб вузлових точок (дві вузлових точки) . . . . .	94
Спосіб Урмаєва . . . . .	96
Спосіб полігонів проф. Попова . . . . .	103
Спосіб вузлів проф. Попова . . . . .	108
Додаткові зауваження . . . . .	112
Точність теодолітного ходу . . . . .	113
Використана література . . . . .	120